

การวิเคราะห์กลุ่มสายอากาศเส้นตรงระยะห่างคงรูปและแอมเพลจูดไม่คงรูป<sup>1</sup>  
ANALYSIS OF LINEAR ARRAY ANTENNAS WITH UNIFORM SPACING  
AND NONUNIFORM AMPLITUDE

นายพรชัย พุกอุด รหัส 46380239

ห้องสมุดคณะวิศวกรรมศาสตร์
วันที่รับ..... 2 ธ.ค.ย. 2553
เลขทะเบียน... 14941913
ลงเรียกหนังสือ..... M/S.
มหาวิทยาลัยแม่ฟ้าฯ 23/๗

2550

ปริญญานิพนธ์นี้เป็นส่วนหนึ่งของการศึกษาหลักสูตรปริญญาวิศวกรรมศาสตรบัณฑิต  
สาขาวิชาวิศวกรรมไฟฟ้า ภาควิชาวิศวกรรมไฟฟ้าและคอมพิวเตอร์  
คณะวิศวกรรมศาสตร์ มหาวิทยาลัยแม่ฟ้าฯ  
ปีการศึกษา 2550



## ใบรับรองโครงการนวัตกรรม

หัวข้อโครงการ	การวิเคราะห์ก认真สาขากาศเส้นตรงระฆังคงรูปและแอนพลิจูดไม่คงรูป	
ผู้ดำเนินโครงการ	นายพรชัย พุกยุต รหัส 46380239	
อาจารย์ที่ปรึกษา	ดร.ชัยรัตน์ พินทอง	
สาขาวิชา	วิศวกรรมไฟฟ้า	
ภาควิชา	วิศวกรรมไฟฟ้าและคอมพิวเตอร์	
ปีการศึกษา	2550	

คณะกรรมการศึกษาตามหลักสูตร วิศวกรรมศาสตรบัณฑิต สาขาวิชาวิศวกรรมไฟฟ้า  
อนุญาตให้โครงการฉบับนี้เป็นส่วนหนึ่งของ  
การศึกษาตามหลักสูตร วิศวกรรมศาสตรบัณฑิต สาขาวิชาวิศวกรรมไฟฟ้า  
คณะกรรมการการสอน โครงการนวัตกรรม

.....*พันเอก พันกุล*.....ประธานกรรมการ  
(ดร.ชัยรัตน์ พินทอง)

.....*พันเอก พันกุล*.....กรรมการ  
(ผู้ช่วยศาสตราจารย์ ดร.สุรเชษฐ์ กานต์ประชา)

.....*พันเอก พันกุล*.....กรรมการ  
(ดร.อัครพันธ์ วงศ์กังແຂ)

หัวข้อโครงการ	การวิเคราะห์กลุ่มสายอากาศเส้นตรงระบบห่างคงรูปและแอนพลิชูดไม่คงรูป
ผู้ดำเนินโครงการ	นายพรชัย พุกอุด รหัส 46380239
อาจารย์ที่ปรึกษา	ดร.ชัยรัตน์ พินทอง
สาขาวิชา	วิศวกรรมไฟฟ้า
ภาควิชา	วิศวกรรมไฟฟ้าและคอมพิวเตอร์
ปีการศึกษา	2550

### บทคัดย่อ

โครงการนี้เป็นการศึกษาและวิเคราะห์คุณลักษณะของกลุ่มสายอากาศเส้นตรงระบบห่างคงรูปและแอนพลิชูดไม่คงรูปในทางคณิตศาสตร์ ซึ่งเน้นวิเคราะห์ที่กลุ่มสายอากาศในโนเมียลและกลุ่มสายอากาศคลอล์ฟ-เชบีเชฟ โดยการวิเคราะห์กลุ่มสายอากาศในโนเมียลจะเปลี่ยนแปลงระบบห่างระหว่างอีลีเมนต์ รวมถึงเปลี่ยนจำนวนอีลีเมนต์ที่นำมานำมาจัดเรียงกัน สำหรับกรณีกลุ่มสายอากาศคลอล์ฟ-เชบีเชฟ จะเปลี่ยนแปลงระบบห่างระหว่างอีลีเมนต์และกำหนดกระดับพูข้าง ผลลัพธ์ที่ได้คือ กลุ่มสายอากาศในโนเมียล จะดำเนินคดพูหลักพูเดิบและไม่มีพูข้างเมื่อระบบห่างระหว่างอีลีเมนต์เท่ากับหรือน้อยกว่าครึ่งความยาวคลื่น กลุ่มสายอากาศทั้งสองชนิดนี้มีสภาพเจาะจงที่คิดทางสูงสุดที่ระบบห่างระหว่างอีลีเมนต์เท่ากับสามส่วนสี่ของความยาวคลื่น เมื่อเปรียบเทียบกับกลุ่มสายอากาศทั้งสองชนิดกับกลุ่มสายอากาศคงรูป พบร่วงกลุ่มสายอากาศคลอล์ฟ-เชบีเชฟโดยส่วนใหญ่แล้วมีคุณลักษณะอยู่ระหว่างกลุ่มสายอากาศคงรูปและกลุ่มสายอากาศในโนเมียล โครงการนี้ได้พัฒนาโปรแกรม MATLAB พร้อมด้วยการเชื่อมต่อกับผู้ใช้ภายนอกสำหรับกลุ่มสายอากาศสองชนิดนี้ ซึ่งสามารถลดระยะเวลาในการคำนวณและทำให้การวิเคราะห์กลุ่มสายอากาศสะดวกยิ่งขึ้น

<b>Project Title</b>	Analysis of Linear Array Antennas with Uniform Spacing and Nonuniform Amplitude
<b>Name</b>	Mr.Pornchai Pookeud ID. 46380239
<b>Project Advisor</b>	Chairat Pinthong , Ph.D
<b>Major</b>	Electrical Engineering
<b>Department</b>	Electrical and Computer Engineering
<b>Academic Year</b>	2007

---

## ABSTRACT

This project is the study and analysis of the characteristics of linear array antennas with uniform spacing and nonuniform amplitude, emphasizing on binomial and Dolph-Tschebyscheff array antennas. In binomial arrays, spacing between elements and a number of elements in array are varied. For the case of the Dolph-Tschebyscheff, a spacing between element is varied at given side lobe level. The result shows that binomial array produces one main beam without side lobe when spacing between elements is equal or less than one-half wavelength. Both cases yield maximum directivity at the spacing of three-fourth wavelength. When comparing both antennas with uniform array, it is found that Dolph-Tschebyscheff is mostly a compromise between uniform and binomial arrays. MATLAB program together with graphic user interface is developed for both antennas, hence reducing computation time and making the analysis of array antennas more convenient.

## กิตติกรรมประกาศ

โครงงานวิศวกรรมไฟฟ้าฉบับนี้สามารถสำเร็จลุล่วงไปด้วยดี ผู้ดำเนินโครงการขอขอบพระคุณบุคคลที่มีส่วนช่วยเหลือให้คำปรึกษาแนะนำและให้ความอนุเคราะห์ในการดำเนินโครงการตลอดมาจนสำเร็จดังนี้ พ่อและแม่ที่อบรมสั่งสอนเลี้ยงดูจนเติบใหญ่และสนับสนุนจนสำเร็จการศึกษา ดร.ชัยรัตน์ พินทอง อาจารย์ที่ปรึกษาโครงงานที่ให้คำปรึกษาแนะนำราวนทั้งให้ความช่วยเหลือตลอดมาจนโครงการสำเร็จ ผู้ช่วยศาสตราจารย์ ดร.สุรเชษฐ์ กานต์ประชา และ ดร.อัครพันธ์ วงศ์กังแท คณะกรรมการสอบโครงงานที่ให้คำแนะนำและเสียสละเวลาในการคุณสอบโครงงานนี้ สำนักหอสมุดและศูนย์บริการเทคโนโลยีสารสนเทศและการสื่อสาร (CITCOM) มหาวิทยาลัยนเรศวร ที่ได้ให้ความอนุเคราะห์ในการสืบค้นเนื้อหาและข้อมูลต่างๆรวมถึงการสืบค้นข้อมูลทางอินเทอร์เน็ตประกอบการทำโครงงาน

สุดท้ายขอขอบคุณเพื่อนๆทุกคนและบุคคลอื่นๆที่ไม่ได้กล่าวถึง ที่ได้ให้คำปรึกษาและให้ความอนุเคราะห์ในการดำเนินโครงการจนสำเร็จ

นายพรชัย พุกอุต  
ผู้จัดทำโครงงาน

# สารบัญ

หน้า

บทคัดย่อภาษาไทย.....	ก
บทคัดย่อภาษาอังกฤษ.....	ข
กิตติกรรมประกาศ .....	ค
สารบัญ.....	จ
สารบัญตรางา .....	ฉ
สารบัญรูป.....	ช

## บทที่ 1 บทนำ

1.1 ที่มาและความสำคัญของโครงการ.....	1
1.2 วัตถุประสงค์ของโครงการ.....	1
1.3 ขอบข่ายของโครงการ.....	1
1.4 ขั้นตอนการดำเนินงาน.....	2
1.5 ประโยชน์ที่คาดว่าจะได้รับ.....	2
1.6 งบประมาณ.....	2

## บทที่ 2 ทฤษฎีพื้นฐานของกลุ่มสายอาชญากรรม

2.1 กลุ่มสายอาชญาสองอิสเมนต์.....	3
2.2 กลุ่มสายอาชญาเส้นตรงที่มีจำนวน $N$ อิสเมนต์ระบบห่วงคงรูป และแอนพลิจูด ไม่คงรูป.....	5
2.3 กลุ่มสายอาชญาในโนเมียล.....	8
2.4 กลุ่มสายอาชญา คอล์ฟ-เชบีเชฟ .....	10

## บทที่ 3 ผลการวิเคราะห์กลุ่มสายอาชญากรรม

3.1 ผลการวิเคราะห์กลุ่มสายอาชญาในโนเมียล.....	15
3.2 ผลการวิเคราะห์กลุ่มสายอาชญาคอล์ฟ-เชบีเชฟ.....	24

# สารบัญ(ต่อ)

หน้า

## บทที่ 4 สรุปผลการวิเคราะห์และข้อเสนอแนะ

4.1 สรุปผลการวิเคราะห์ก្នុងสายอาກาศ.....	37
4.2 ข้อเสนอแนะ.....	37

## เอกสารอ้างอิง.....38

### ภาคผนวก

ภาคผนวก ก การอินทิเกรตเชิงตัวเลข โดยใช้ក្នុងสื่อเหลี่ยมคง hü.....	39
ภาคผนวก ข ความก้าวสำหรับนักวิจัย.....	40
ภาคผนวก ค สภาพเจาะจงทิศทางสูงสุด.....	43
ภาคผนวก ง โปรแกรมวิเคราะห์ก្នុងสายอาກาศ .....	48
ภาคผนวก จ การเรียนรู้กับผู้ใช้งานภาพพิก.....	61
ประวัติผู้เขียนโครงการ.....	64

## สารบัญตาราง

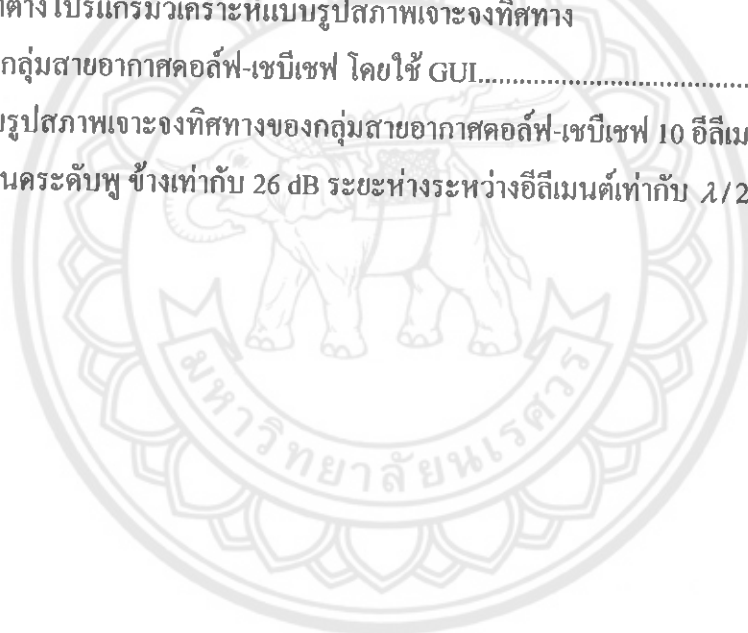
ตารางที่	หน้า
3.1 ความกว้างลำคลื่นครึ่งกำลังของกลุ่มสายอากาศในไมโครเมตร 10 อีกีเมนต์ โดยมีระยะห่างระหว่างอีกีเมนต์เท่ากับ $d$ .....	17
3.2 ความกว้างลำคลื่นครึ่งกำลังของกลุ่มสายอากาศในไมโครเมตร 10 อีกีเมนต์ โดยมีระยะห่างระหว่างอีกีเมนต์เท่ากับ $\lambda/2$ .....	18
3.3 สภาพเฉพาะจังทิศทางสูงสุดของกลุ่มสายอากาศในไมโครเมตร 10 อีกีเมนต์.....	19
3.4 สภาพเฉพาะจังทิศทางสูงสุดของกลุ่มสายอากาศในไมโครเมตร 10 อีกีเมนต์ โดยมีระยะห่างระหว่างอีกีเมนต์เท่ากับ $\lambda/2$ .....	20
3.5 ความกว้างลำคลื่นครึ่งกำลังและสภาพเฉพาะจังทิศทางสูงสุด ของกลุ่มสายอากาศในไมโครเมตร.....	22
3.6 ความกว้างลำคลื่นครึ่งกำลังของกลุ่มสายอากาศคลอส์ฟ- เชบีเชฟ 10 อีกีเมนต์.....	26
3.7 ความกว้างลำคลื่นครึ่งกำลังของกลุ่มสายอากาศ คลอส์ฟ- เชบีเชฟ 10 อีกีเมนต์ โดยมีระยะห่างระหว่างอีกีเมนต์เท่ากับ $\lambda/2$ .....	27
3.8 สภาพเฉพาะจังทิศทางสูงสุดของกลุ่มสายอากาศคลอส์ฟ- เชบีเชฟ.....	28
3.9 สภาพเฉพาะจังทิศทางสูงสุดของกลุ่มสายอากาศ คลอส์ฟ- เชบีเชฟ 10 อีกีเมนต์ โดยมีระยะห่างระหว่างอีกีเมนต์เท่ากับ $\lambda/2$ .....	29
3.10 ความกว้างลำคลื่นครึ่งกำลังและสภาพเฉพาะจังทิศทางสูงสุด ของกลุ่มสายอากาศคลอส์ฟ- เชบีเชฟ เมื่อกำหนดรั้งคันพูข้างเท่ากับ 26 dB.....	31
3.11 สมมประสิทธิ์การสะท้อนของกลุ่มสายอากาศคลอส์ฟ- เชบีเชฟ 10 อีกีเมนต์ ในรูปนอร์มอลไลซ์ที่ได้จากการพิจารณาแนวพลิจูดที่อยู่ตรงกลางอีกีเมนต์ เมื่อรั้งคันพูข้างเท่ากับ 20 , 21.05 , 30 และ 40 dB.....	32
3.12 เปรียบเทียบคุณลักษณะของกลุ่มสายอากาศในไมโครเมตร กลุ่มสายอากาศคลอส์ฟ- เชบีเชฟ และกลุ่มสายอากาศคงรูป 10 อีกีเมนต์ ระยะห่างระหว่างอีกีเมนต์เท่ากับ $\lambda/2$ .....	36

## สารบัญ

ข้อที่	หน้า
2.1 สายอากาศขั้วคู่จัดเรียงกันเป็นกลุ่มสายอากาศ 4 อิลีเมนต์.....	3
2.2 การจัดเรียงตัวของกลุ่มสายอากาศ 2 อิลีเมนต์ ที่ทอดตัวตามแนวแกน z.....	4
2.3 กลุ่มสายอากาศ ไอโซทรอปิกแอมเพลจูดไม่คงรูป ที่มีอิลีเมนต์เป็นจำนวนคู่.....	7
2.4 กลุ่มสายอากาศ ไอโซทรอปิกแอมเพลจูดไม่คงรูป ที่มีอิลีเมนต์เป็นจำนวนคี่.....	8
2.5 โพลิโนเมียลเชิงฟีเชฟสำหรับที่ศูนย์ลงห้า.....	12
2.6 ขั้นตอนการหาสัมประสิทธิ์กระดุนสำหรับกลุ่มสายอากาศคลัสเตอร์-เชิงฟีเชฟ.....	14
3.1 กลุ่มสายอากาศ ไอโซทรอปิกแอมเพลจูดไม่คงรูป ที่มีอิลีเมนต์เป็นจำนวนคู่.....	15
3.2 แบบรูปกำลังของตัวประกอนกลุ่มสายอากาศในโนเมียล 10 อิลีเมนต์ ที่จะห่างระหว่างอิลีเมนต์เท่ากับ $\lambda/4, \lambda/2, 3\lambda/4$ และ $\lambda$ .....	16
3.3 สภาพเฉพาะจังที่คิดทางสำหรับกลุ่มสายอากาศในโนเมียล 10 อิลีเมนต์ ที่มีระยะห่างระหว่างอิลีเมนต์เท่ากับ $\lambda/4, \lambda/2, 3\lambda/4$ และ $\lambda$ .....	19
3.4 สภาพเฉพาะจังที่คิดทางสูงสุดเทียบกับระยะห่างระหว่างอิลีเมนต์ สำหรับกลุ่มสายอากาศในโนเมียล 10 อิลีเมนต์ .....	21
3.5 สภาพเฉพาะจังที่คิดทางสำหรับกลุ่มสายอากาศในโนเมียล ที่มีระยะห่างระหว่าง อิลีเมนต์เท่ากับ $\lambda/2$ และมีจำนวนอิลีเมนต์ เป็น 4, 6, 8 และ 10 อิลีเมนต์.....	24
3.6 แบบรูปกำลังของตัวประกอนกลุ่มสายอากาศสำหรับกลุ่มสายอากาศคลัสเตอร์-เชิงฟีเชฟ 10 อิลีเมนต์ที่มีระยะห่างระหว่างอิลีเมนต์เท่ากับ $\lambda/4, \lambda/2, 3\lambda/4$ และ $\lambda$ .....	25
3.7 สภาพเฉพาะจังที่คิดทางสำหรับกลุ่มสายอากาศ คลัสเตอร์-เชิงฟี 10 อิลีเมนต์ และระยะห่างระหว่างอิลีเมนต์เท่ากับ $\lambda/4, \lambda/2, 3\lambda/4$ และ $\lambda$ .....	28
3.8 สภาพเฉพาะจังที่คิดทางสูงสุดเทียบกับระยะห่างระหว่างอิลีเมนต์สำหรับ กลุ่มสายอากาศคลัสเตอร์-เชิงฟี 10 อิลีเมนต์ .....	30
3.9 การแผ่กระจายแอมเพลจูด ที่จะดับพูข้างต่างกัน สำหรับกลุ่มสายอากาศคลัสเตอร์-เชิงฟี 10 อิลีเมนต์ที่จะห่างระหว่างอิลีเมนต์เท่ากับ $\lambda/4$ .....	33
3.10 สภาพเฉพาะจังที่คิดทางและความกว้างสำหรับกลุ่มสายอากาศคลัสเตอร์-เชิงฟี 10 อิลีเมนต์ที่จะห่างระหว่างอิลีเมนต์เท่ากับ $\lambda/4$ .....	34
3.11 สภาพเฉพาะจังที่คิดทางของกลุ่มสายอากาศในโนเมียล โดยมีระยะห่างระหว่างอิลีเมนต์เท่ากับ $\lambda/2$ .....	35

## สารบัญรูป(ต่อ)

รูปที่	หน้า
ก.1 การแบ่งช่วงของการอินทริเกรตแบบสีเหลี่ยมคงที่.....	39
ข.1 แบบรูปการແຜ່ພລັງຈານຂອງສາຍາກາສໃນຮະບນພຶກຄົກາກ.....	40
ข.2 ຕັ້ງປະກອບສ່ວນກວ້າງດຳເຄື່ອນຂອງກຸ່ມສາຍາກາຄໂຄລົ່ງ-ເຊີນເຊີບ.....	42
ຄ.1 ສາພເຈາະຈົງທີ່ທາງຂອງ ກຸ່ມສາຍາກາຄໂຄລົ່ງ-ເຊີນເຊີບເຖິງກັບຄວາມຍາວສາຍາກາສ.....	45
ຄ.2 ການຈັດເຮືອງສາຍາກາສຂັ້ງຕູ້ເປັນກຸ່ມສາຍາກາສ.....	46
ໜ.1 ໜັ້ນຕ່າງໆທັກຂອງ ໂປຣແກຣມວິເຄຣະທີ່ແບບຮູປສາພເຈາະຈົງທີ່ທາງ ຂອງກຸ່ມສາຍາກາສໃນໂນເມີຍລແກກຸ່ມສາຍາກາຄໂຄລົ່ງ-ເຊີນເຊີບ ໂດຍໃຫ້ GUI.....	61
ໜ.2 ໜັ້ນຕ່າງໆໂປຣແກຣມວິເຄຣະທີ່ແບບຮູປສາພເຈາະຈົງທີ່ທາງ ຂອງກຸ່ມສາຍາກາຄໂຄລົ່ງ-ເຊີນເຊີບ ໂດຍໃຫ້ GUI.....	62
ໜ.3 ແບບຮູປສາພເຈາະຈົງທີ່ທາງຂອງກຸ່ມສາຍາກາຄໂຄລົ່ງ-ເຊີນເຊີບ 10 ອີເລີມນັດ ກຳຫຼັນຮະດັບພູ ຊຳເນົາກັບ 26 dB ຮະຫະຫ່າງຮ່ວງອີເລີມນັດທີ່ເທົ່າກັນ $\lambda/2$ .....	63



## บทที่ 1

### บทนำ

#### 1.1 ที่มาและความสำคัญของโครงการ

ในอดีตจนถึงปัจจุบันการสื่อสาร โทรคมนาคม ได้มีความจำเป็นกับชีวิตมนุษย์เป็นอย่างมาก ทำให้วิวัฒนาการทางด้านการสื่อสาร โทรคมนาคม ได้มีการพัฒนามาเรื่อยๆ และในปัจจุบันเทคโนโลยี ด้านการสื่อสารแบบไร้สายได้รับความนิยมมาก เช่น การสื่อสารในระบบเซลลูลาร์ และการรับส่งสัญญาณดาวเทียมเป็นต้น เนื่องจากความสะดวกรวดเร็วในการติดต่อสื่อสาร ปัจจุบันได้มีการศึกษา และพัฒนาสายอากาศแบบต่างๆอยู่ตลอดเวลาเพื่อพัฒนาให้สายอากาศมีคุณสมบัติในการรับส่งสัญญาที่ดีขึ้นเรื่อยๆ

โครงการนักบัณฑิตนี้จะเป็นการศึกษาเกี่ยวกับ การวิเคราะห์กลุ่มสายอากาศเส้นตรงระยะห่างคงรูป แอนพลิญค์ไม่คงรูป ซึ่งก็คือกลุ่มสายอากาศเส้นตรงที่มีระยะห่างระหว่างอีเลิเมนต์เท่ากันทุกอีเลิเมนต์แต่ แอนพลิญค์ที่ระยะตื้นให้กับสายอากาศแต่ละอีเลิเมนต์มีค่าต่างกัน กลุ่มสายอากาศเป็นการนำสายอากาศ ที่มีคุณสมบัติคืออยู่แล้วมาจัดเรียงกัน ซึ่งการนำสายอากาศมาจัดเรียงกันมีผลดีหลายประการ เช่น สภาพ เจาะจงทิศทางสูงขึ้น ความกว้างลำคลื่นแคบลง และ สามารถสร้างข่าย wang ที่เชื่อมต่อระหว่างให้ความคุณ เปเลี่ยนทิศทางลำคลื่นได้ หรือข้ายตัวแทนของคลื่น(gnl)ได้ โครงการนี้จะได้ศึกษาคุณลักษณะของ สายอากาศ โดยผู้เขียนนำไปกับกลุ่มสายอากาศไม่คงรูปและแอนพลิญค์ไม่คงรูป และสามารถ ประยุกต์กับการใช้งานจริงได้

#### 1.2 วัตถุประสงค์ของโครงการ

- ศึกษาคุณลักษณะของกลุ่มสายอากาศเส้นตรงระยะห่างคงรูปและแอนพลิญค์ไม่คงรูป
- ศึกษาโครงสร้างของกลุ่มสายอากาศเส้นตรงระยะห่างคงรูปและแอนพลิญค์ไม่คงรูป

#### 1.3 ขอบข่ายของโครงการ

- ศึกษาทฤษฎีขั้นพื้นฐานและวิเคราะห์คุณลักษณะของกลุ่มสายอากาศแบบไม่ในเมียล และ กลุ่มสายอากาศคลื่นฟ์-เซบีเชฟ
- ศึกษาและพัฒนาโปรแกรม MATLAB ที่ใช้ในการวิเคราะห์กลุ่มสายอากาศแบบไม่ในเมียล และกลุ่มสายอากาศคลื่นฟ์-เซบีเชฟ
- สรุปคุณสมบัติและคุณลักษณะของกลุ่มสายอากาศไม่ในเมียลและกลุ่มสายอากาศคลื่นฟ์- เชฟบีเชฟ

#### 1.4 ขั้นตอนการดำเนินงาน

กิจกรรม	ปี 2550					
	พ.ค.	มิ.ย.	ก.ค.	ส.ค.	ก.ย.	ต.ค.
1. ศึกษาหลักการพื้นฐานและวิเคราะห์คุณลักษณะของกลุ่มสายอากาศในโนเมียลและกลุ่มสายอากาศคลื่ฟ-เบนซีเฟฟ			↔			
2. ศึกษาและพัฒนาโปรแกรม MATLAB ที่ใช้ในการวิเคราะห์กลุ่มสายอากาศแบบในโนเมียล และ กลุ่มสายอากาศคลื่ฟ-เบนซีเฟฟ			↔			
3. รวบรวมข้อมูลที่ได้จากการวิเคราะห์กลุ่มสายอากาศ				↔		
4. สรุปคุณสมบัติและคุณลักษณะของกลุ่มสายอากาศในโนเมียลและกลุ่มสายอากาศ คลื่ฟ-เบนซีเฟฟ					↔	

#### 1.5 ประโยชน์ที่คาดว่าจะได้รับ

- เข้าใจคุณสมบัติและคุณลักษณะของกลุ่มสายอากาศแบบในโนเมียลและกลุ่มสายอากาศ คลื่ฟ-เบนซีเฟฟ
- สามารถนำความรู้ทางคณิตศาสตร์ มาประยุกต์ใช้กับการวิเคราะห์กลุ่มสายอากาศได้
- สามารถวิเคราะห์กลุ่มสายอากาศเพื่อหาโครงสร้างที่เหมาะสมกับการใช้งาน
- ได้โปรแกรม MATLAB พร้อมการเชื่อมต่อกับผู้ใช้ทางกราฟฟิก สำหรับวิเคราะห์กลุ่มสายอากาศในโนเมียลและกลุ่มสายอากาศคลื่ฟ-เบนซีเฟฟ

#### 1.6 งบประมาณของโครงการ

1. ค่าเอกสารในการค้นคว้าทำโครงการและค่าเข้าเล่นโครงการ 700 บาท

2. ค่าวัสดุคอมพิวเตอร์ 300 บาท

รวม (หนึ่งพันบาทถ้วน)

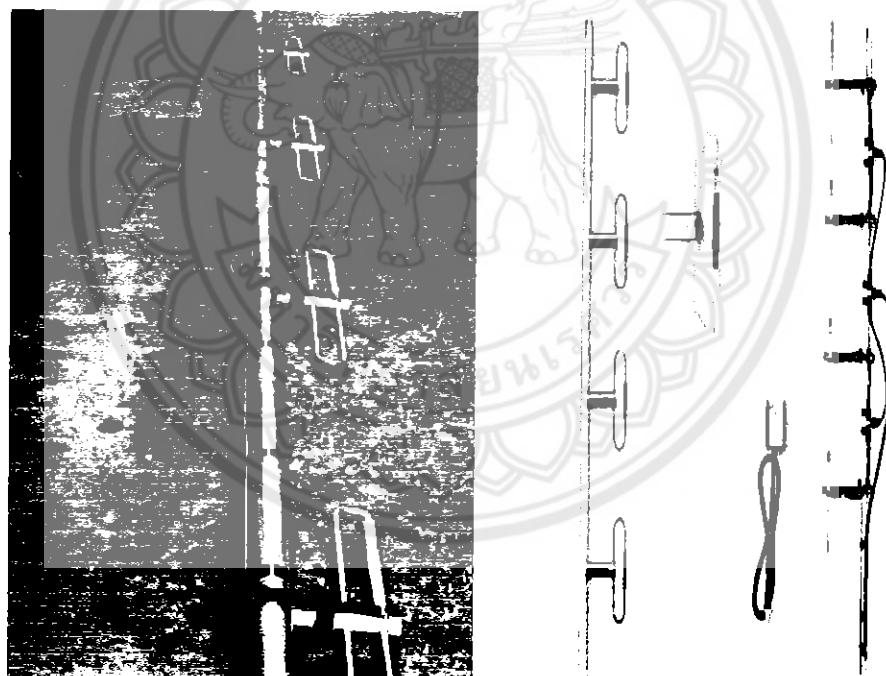
1,000 บาท

หมายเหตุ (ถ้าแนวคิดทุกรายการ)

## บทที่ 2

# ทฤษฎีพื้นฐานของกลุ่มสายอากาศ

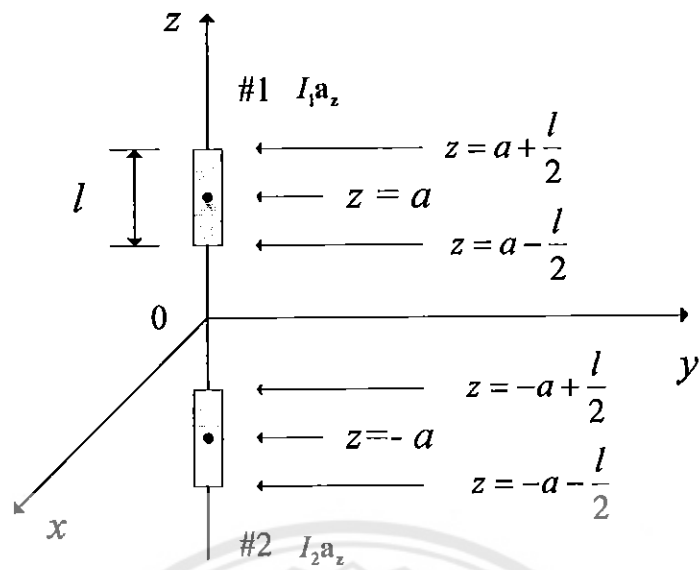
กลุ่มสายอากาศ หมายถึง สายอากาศที่ได้จากการจัดเรียงอีลิเมนต์ของการแผ่กระจายคลื่น (radiating element) ในลักษณะเชิงไฟฟ้า หรือ ลักษณะเชิงเรขาคณิต (geometrical) ขั้งผลให้สานามเสริมกัน (add) ในทิศทางหนึ่งๆ และเกิดการหักด้านกัน (cancel) ในทิศทางที่เหลือ ในรูปที่ 2.1 เป็นการนำสายอากาศขั้วๆแบบพับ (folded dipole) 4 ตัวมาจัดเรียงเป็นกลุ่มสายอากาศ โดยสายอากาศแต่ละตัวจะได้รับการเรียกชื่อว่า อีลิเมนต์ กลุ่มสายอากาศดังรูปข้างล่างนี้จะมีระยะห่างระหว่างอีลิเมนต์เท่ากันและในแต่ละอีลิเมนต์จะถูกต่อเข้ากับสายนำสัญญาณเพื่อป้อนกระแสให้กับสายอากาศ ในส่วนด้านไปจะกล่าวถึงหลักการเบื้องต้นของกลุ่มสายอากาศ จากนั้นจะเป็นการศึกษาและวิเคราะห์กลุ่มสายอากาศ ในโน้มือและกลุ่มสายอากาศดอร์ฟ- เชบีเชฟ ในขั้นตอนต่อไป



รูปที่ 2.1 สายอากาศขั้วๆจัดเรียงกันเป็นกลุ่มสายอากาศ 4 อีลิเมนต์

### 2.1 กลุ่มสายอากาศสองอีลิเมนต์ (Two-Element Array)

พิจารณาสายอากาศสองตัวดังแสดงในรูป 2.2 สายอากาศที่แสดงนี้ เป็นสายอากาศขั้วๆที่มีขนาดเล็กมาก (infinitesimal) และอยู่บน ตำแหน่ง  $z = d/2$  และ  $z = -d/2$  สายอากาศทั้งสองตัวนี้มีความขาวเท่ากับ 1 และทอตัวตามแนวแกน  $z$  สายอากาศตัวที่หนึ่ง (#1) ได้รับการป้อนด้วยกระแสไฟฟ้า  $I_{1a_z}$  สายอากาศตัวที่สอง (#2) ได้รับการป้อนด้วยกระแสไฟฟ้า  $I_{2a_z}$



รูปที่ 2.2 การจัดเรียงตัวของกลุ่มสายอากาศขั้วคู่ 2 อิเลเมนต์ ที่ทดสอบตัวตามแนวแกน z

ค่าสนามไฟฟ้ารวม สามารถหาได้จาก ผลรวมของ สนามไฟฟ้าน่องจากสายอากาศตัวที่หนึ่ง (#1) และ สนามไฟฟ้าน่องจากสายอากาศ ตัวที่สอง (#2) ดังนี้ [1]

$$\mathbf{E} = \mathbf{E}_1 + \mathbf{E}_2 \quad (2.1\text{a})$$

$$\mathbf{E} = \left[ \hat{\mathbf{a}}_\theta j \omega \mu l \frac{e^{-jkr}}{4\pi r} \sin \theta \frac{\sin[(kl/2)\cos\theta]}{(kl/2)\cos\theta} \right] \left\{ I_1 e^{jka \cos\theta} + I_2 e^{-jka \cos\theta} \right\} \quad (2.1\text{b})$$

สนามไฟฟ้าที่ได้จากสายอากาศเพียงตัวเดียววางอยู่ ณ จุดกำเนิด (origin) และป้อนด้วยกระแส 1 A มีค่า เป็น

$$\mathbf{E}(\text{single}) = \hat{\mathbf{a}}_\theta j \omega \mu l \frac{e^{-jkr}}{4\pi r} \sin \theta \frac{\sin[(kl/2)\cos\theta]}{(kl/2)\cos\theta} \quad (2.2)$$

เมื่อพิจารณาสมการที่ (2.1b) จะพบว่า พจน์ในวงเล็บสี่เหลี่ยมก็คือ สนามไฟฟ้าตามสมการ (2.2) ส่วน พจน์ที่อยู่ในวงเล็บปีกกา จะขึ้นกับกระแสที่ป้อนให้กับสายอากาศและตำแหน่งของสายอากาศ พจน์นี้มี ชื่อเรียกว่า “ตัวประกอบกลุ่มสายอากาศ (array factor)” สมการที่ (2.1b) จึงสามารถพิจารณาได้ว่าเกิด จากผลคูณของพจน์สองพจน์ดังต่อไปนี้

$$\mathbf{E}(\text{total}) = [\mathbf{E}(\text{single element at origin with } 1 \text{ A current})] \times [\text{array factor}] \quad (2.3)$$

2.2 กลุ่มสายอากาศเส้นตรงที่มีจำนวน  $N$  อิลีเมนต์ระยะห่างคงรูปและแอนพลิจูดไม่คงรูป  
กลุ่มสายอากาศที่มีระยะห่างคงรูปและแอนพลิจูดไม่คงรูปคือ กลุ่มสายอากาศที่มีการวางแผนห่างของสายอากาศแต่ละอิลีเมนต์ในระยะห่างเท่ากัน และแอนพลิจูดที่กระตุ้นให้กับสายอากาศในแต่ละอิลีเมนต์จะมีค่าต่างกัน

### 2.2.1 ตัวประกอบกลุ่มสายอากาศ (array factor)

พิจารณากลุ่มสายอากาศที่ประกอบด้วยสายอากาศแบบไอโซทรอปิกเป็นจำนวนคู่และมีจำนวนอิลีเมนต์เป็น  $2M$  ( $M$  เป็นจำนวนเต็ม) วางแผนห่าง  $z$  ดังรูปที่ 2.3 สายอากาศไอโซทรอปิกจำนวน  $M$  ได้รับการวางแผนห่างเดียวกันของจุดกำเนิด กลุ่มสายอากาศนี้มีระยะห่างระหว่างอิลีเมนต์เป็น  $d$  ตัวประกอบกลุ่มสายอากาศสำหรับแอนพลิจูดที่ไม่คงรูป (nonuniform) สามารถเขียนได้ดังนี้

$$AF_{2M} = a_1 e^{+j(1/2)kd \cos \theta} + a_2 e^{+j(3/2)kd \cos \theta} + \dots + a_M e^{+j[(2M-1)/2]kd \cos \theta} \\ + a_1 e^{-j(1/2)kd \cos \theta} + a_2 e^{-j(3/2)kd \cos \theta} + \dots + a_M e^{-j[(2M-1)/2]kd \cos \theta} \quad (2.4\alpha)$$

$$(AF)_{2M} = 2 \sum_{n=1}^M a_n \cos \left[ \frac{(2n-1)}{2} kd \cos \theta \right] \quad (2.4\beta)$$

เมื่อเขียนให้อยู่ในรูป นอร์มอลไลซ์จะได้

$$(AF)_{2M} = \sum_{n=1}^M a_n \cos \left[ \frac{(2n-1)}{2} kd \cos \theta \right] \quad (2.5)$$

เมื่อ  $a_n$ 's คือ สัมประสิทธิ์การกระตุ้นในแต่ละอิลีเมนต์ของกลุ่มสายอากาศซึ่งใช้แทนค่าของกระแสที่ป้อนให้กับสายอากาศในแต่ละอิลีเมนต์

ถ้าจำนวนทั้งหมดของอิลีเมนต์ไอโซทรอปิกของกลุ่มสายอากาศเป็นจำนวนคือ  $2M+1$  ( $M$  เป็นจำนวนเต็ม) ดังรูป 2.4 ตัวประกอบกลุ่มสายอากาศเขียนได้ดังนี้

$$(AF)_{2M+1} = 2a_1 + a_2 e^{+jkd \cos \theta} + a_3 e^{+j2kd \cos \theta} + \dots + a_{M+1} e^{+jMkd \cos \theta} \\ + a_2 e^{-jkd \cos \theta} + a_3 e^{-j2kd \cos \theta} + \dots + a_{M+1} e^{-jMkd \cos \theta} \quad (2.6\alpha)$$

$$(AF)_{2M+1} = 2 \sum_{n=1}^{M+1} a_n \cos [(n-1)kd \cos \theta] \quad (2.6\beta)$$

เขียนในรูปอนุร์มอล ได้ซึ่งได้เป็น

$$(AF)_{2M+1} = \sum_{n=1}^{M+1} a_n \cos[(n-1)kd \cos \theta] \quad (2.7)$$

และจะได้แอนพลิวัคกระดับของจุดศูนย์กลางอีกเม้นต์เป็น  $2a_1$  จากสมการ (2.5) และ (2.7) สามารถเขียนได้ดังนี้

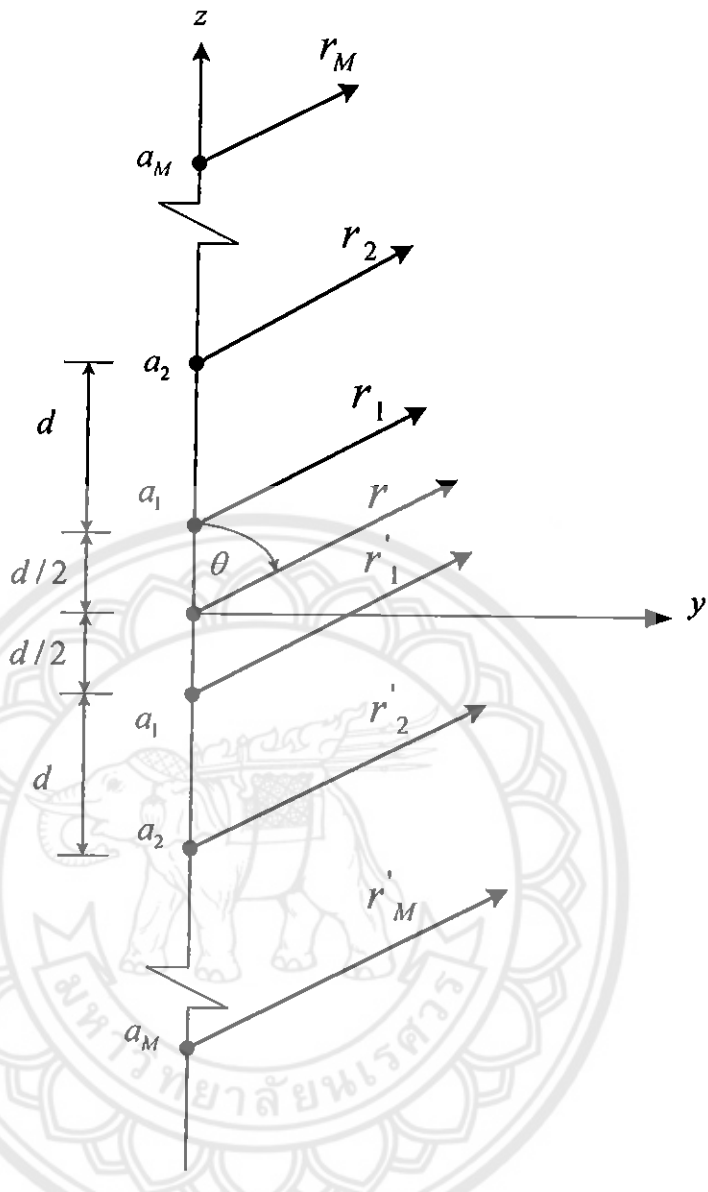
$$(AF)_{2M} (\text{even}) = \sum_{n=1}^M a_n \cos[(2n-1)u] \quad (2.8\alpha)$$

$$(AF)_{2M+1} (\text{odd}) = \sum_{n=1}^{M+1} a_n \cos[2(n-1)u] \quad (2.8\beta)$$

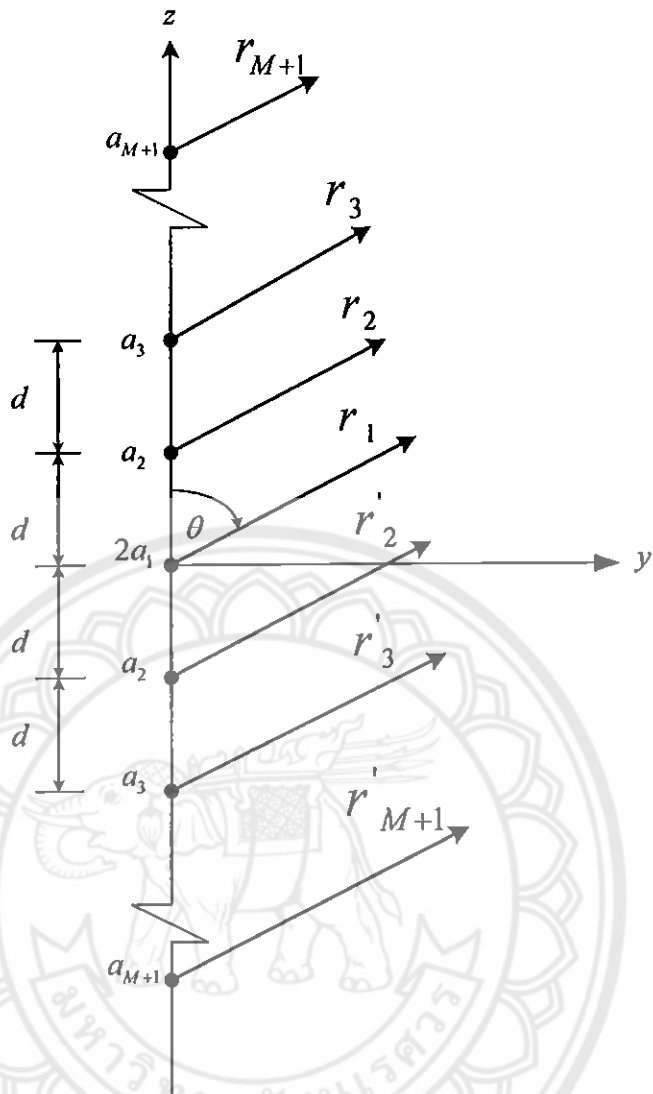
เมื่อ

$$u = \frac{\pi d}{\lambda} \cos \theta \quad (2.8\gamma)$$





รูปที่ 2.3 กลุ่มสาขอากาศไอโซทรอปิกแอมเพลจูดไม่คงรูป ที่มีอิเลเมนต์เป็นจำนวนคู่



รูปที่ 2.4 กลุ่มสายอากาศสำหรับปักแอนพลิวิตุ์ไมโครรูป ที่มีอิเลเมนต์เป็นจำนวนกี่

## 2.3 กลุ่มสายอากาศในโนเมียล (binomial array)

### 2.3.1 สัมประสิทธิ์การระดับ

J.S.Stone [2] ได้เสนอการหาสัมประสิทธิ์ระดับของกลุ่มสายอากาศแบบในโนเมียลโดยการกระจายอนุกรมในโนเมียลดังนี้

$$(1+x)^{m-1} = 1 + (m-1)x + \frac{(m-1)(m-2)}{2!}x^2 + \frac{(m-1)(m-2)(m-3)}{3!}x^3 + \dots \quad (2.9)$$

เราสามารถแสดงในรูปของ สามเหลี่ยมของปascal (Pascal's triangle) ได้ดังนี้

$m=1$	1							
$m=2$	1 1							
$m=3$	1 2 1							
$m=4$	1 3 3 1							
$m=5$	1	4	6	4	1			
$m=6$	1	5	10	10	5	1		(2.10)
$m=7$	1	6	15	20	15	6	1	
$m=8$	1	7	21	35	35	21	7	1
$m=9$	1	8	26	56	70	56	26	8 1
$m=10$	1	9	36	84	126	126	84	36 9 1

เมื่อ  $m$  แสดงถึงจำนวนอีลีเมนต์ของกลุ่มสาขอาກาศ และสัมประสิทธิ์ของการกระจายในสมการที่ (2.10) แทนกระแสรสัมพัทธ์ของอีลีเมนต์ จากสมการที่ (2.8ก), (2.8ก) และ (2.10) จะได้ สัมประสิทธิ์แยมพลิกของกลุ่มสาขอาກาศ เป็นดังนี้

1. สาขอาກาศที่มี 2 อีลีเมนต์ ( $2M = 2$ )

$$a_1 = 1$$

2. สาขอาກาศที่มี 3 อีลีเมนต์ ( $2M+1 = 3$ )

$$2a_1 = 2 \Rightarrow a_1 = 1 \quad a_2 = 1$$

3. สาขอาກาศที่มี 4 อีลีเมนต์ ( $2M = 4$ )

$$a_1 = 3 \quad a_2 = 1$$

4. สาขอาກาศที่มี 5 อีลีเมนต์ ( $2M+1 = 5$ )

$$2a_1 = 6 \Rightarrow a_1 = 3 \quad a_2 = 4 \quad a_3 = 1$$

เนื่องจากสัมประสิทธิ์ที่ได้ ถูกพิจารณาจากการกระจายอนุกรรนไปในเมียล ดังนั้นกลุ่มสาขอากาศนี้จึง เรียกว่า “กลุ่มสาขอากาศไปในเมียล”

## 2.4 กลุ่มสายอากาศคอล์ฟ-เชบีเชฟ (Dolph-Tschebyscheff array)

กลุ่มสายอากาศที่มีการใช้งานอย่างกว้างขวางอีกตัวหนึ่งก็คือ กลุ่มสายอากาศคอล์ฟ-เชบีเชฟ สายอากาศนี้ได้รับการเสนอขึ้นครั้งแรกโดยคอล์ฟ (Dolph) [3] วิธีนี้เป็นพื้นฐานการประมาณแบบรูปของกลุ่มสายอากาศโดยใช้多项式ในเมียลเชบีเชฟ ลำดับที่  $m$  กลุ่มสายอากาศคอล์ฟ-เชบีเชฟจะมีพื้นที่ต่ำมาก และมีคุณลักษณะที่อยู่ระหว่างกลุ่มสายอากาศคงรูปกับกลุ่มสายอากาศในโนเมียล

### 2.4.1 多项式ในเมียลเชบีเชฟ

พิจารณาสมการที่ (2.8ก) และ (2.8ข) เพื่อที่จะให้มีประสิทธิ์ของกลุ่มสายอากาศเป็นไปตาม多项式ในเมียลเชบีเชฟ จะเขียนพจน์ของโคไซน์ (cosine) ให้อยู่ในรูปความถี่มูลฐาน ดังนั้นสามารถกระจายอนุกรมโคไซน์ได้เป็น

$$\begin{aligned}
 m=0 \quad & \cos(mu) = 1 \\
 m=1 \quad & \cos(mu) = \cos u \\
 m=2 \quad & \cos(mu) = \cos(2u) = 2\cos^2 u - 1 \\
 m=3 \quad & \cos(mu) = \cos(3u) = 4\cos^3 u - 3\cos u \\
 m=4 \quad & \cos(mu) = \cos(4u) = 8\cos^4 u - 8\cos^2 u + 1 \\
 m=5 \quad & \cos(mu) = \cos(5u) = 16\cos^5 u - 20\cos^3 u + 5\cos u \\
 m=6 \quad & \cos(mu) = \cos(6u) = 32\cos^6 u - 48\cos^4 u + 18\cos^2 u - 1 \\
 m=7 \quad & \cos(mu) = \cos(7u) = 64\cos^7 u - 112\cos^5 u + 56\cos^3 u - 7\cos u \\
 m=8 \quad & \cos(mu) = \cos(8u) = 128\cos^8 u - 256\cos^6 u + 160\cos^4 u - 32\cos^2 u + 1 \\
 m=9 \quad & \cos(mu) = \cos(9u) = 256\cos^9 u - 576\cos^7 u + 432\cos^5 u - 120\cos^3 u + 9\cos u
 \end{aligned} \tag{2.11}$$

สมการที่ (2.11) หาได้โดยความสัมพันธ์ดังนี้

$$\begin{aligned}
 m=k \quad & \cos(ku) = \cos^k(u) - \binom{k}{2}\cos^{k-2}(u)\sin^2(u) + \binom{k}{4}\cos^{k-4}(u)\sin^4(u) - \dots \\
 & - \binom{k}{k-2}\cos^2(u)\sin^{k-2}(u) + \sin^k(u)
 \end{aligned} \tag{2.12}$$

$$\binom{k}{n} = \frac{k!}{n!(k-n)!}$$

และ多项式ในสมการที่ (2.11) ได้มาโดยใช้สูตรของ ออยเลอร์ (Euler's formula)

$$\left[ e^{ju} \right]^m = (\cos u + j \sin u)^m = e^{jmu} = \cos(mu) + j \sin(mu) \quad (2.13)$$

พร้อมกับอาศัยเอกลักษณ์ตรีโกณมิติ

$$\cos(2u) = 2\cos^2(u) - 1 \quad (2.14)$$

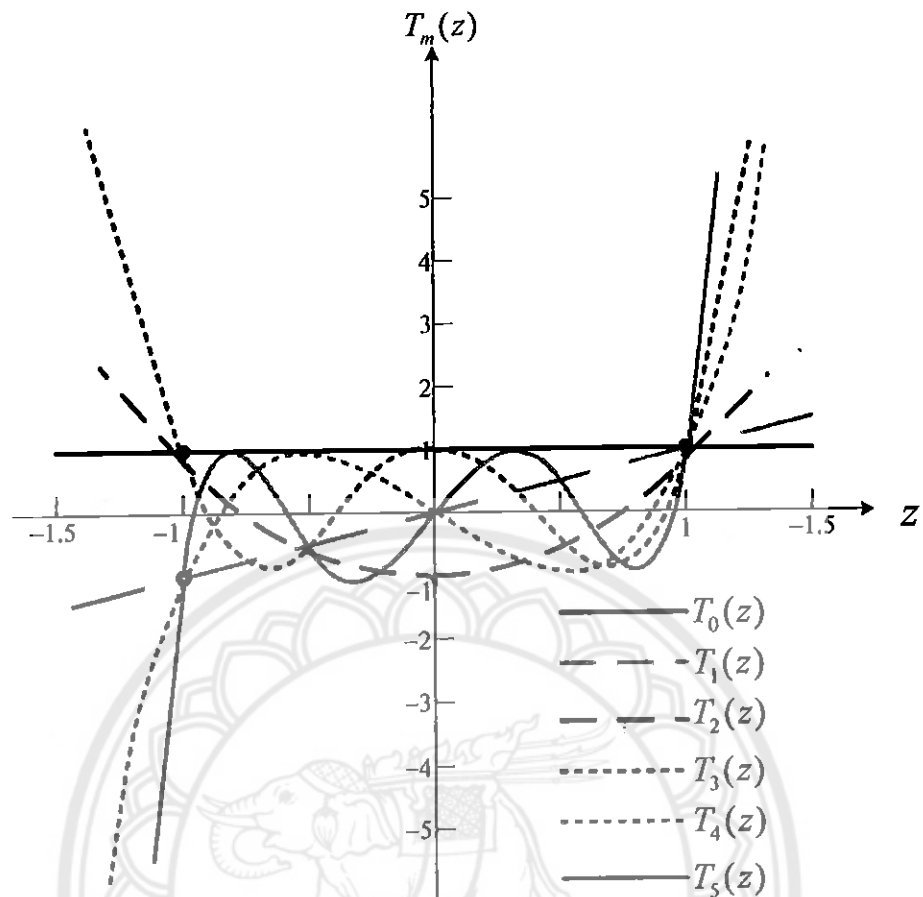
คอล์ฟได้เสนอโพลิโนเมียลเชิงเส้นที่ง่ายด้วย  $T_m(z)$  ได้ดังนี้

$$\begin{aligned} m=0 \quad T_0(z) &= 1 \\ m=1 \quad T_1(z) &= z \\ m=2 \quad T_2(z) &= 2z^2 - 1 \\ m=3 \quad T_3(z) &= 4z^3 - 3z \\ m=4 \quad T_4(z) &= 8z^4 - 8z^2 + 1 \\ m=5 \quad T_5(z) &= 16z^5 - 20z^3 + 5z \\ m=6 \quad T_6(z) &= 32z^6 - 48z^4 + 18z^2 - 1 \\ m=7 \quad T_7(z) &= 64z^7 - 112z^5 + 56z^3 - 7z \\ m=8 \quad T_8(z) &= 128z^8 - 256z^6 + 160z^4 - 32z^2 + 1 \\ m=9 \quad T_9(z) &= 256z^9 - 576z^7 + 432z^5 - 120z^3 + 9z \end{aligned} \quad (2.15)$$

คุณสมบัติของ โพลิโนเมียลเชิงพหุนามสมการที่ (2.15) ดังนี้

1. โพลิโนเมียลทั้งหมดที่กำลัง  $m$  ใดๆ จะผ่านที่จุด  $(1,1)$
2. ภายในช่วง  $-1 \leq z \leq +1$  โพลิโนเมียลจะมีค่าอยู่ภายใน  $-1$  ถึง  $1$  ซึ่งค่านากที่สุดและน้อยที่สุดมีค่าเท่ากับ  $1$  และ  $-1$  ตามลำดับ
3. โพลิโนเมียลที่อยู่ในช่วง  $|z| > 1$  จะมีค่าสูงมาก

จากคุณสมบัติของ โพลิโนเมียลเชิงพหุจะเป็นกราฟได้ดังรูปที่ 2.5



รูปที่ 2.5 โพลีโนเมียลเชบีเชฟลำดับที่ศูนย์ถึงห้า

แบบรูปการແเพ่พลังงานสามารถหาได้จากการบังคับให้ตัวประกอบกลุ่มสายอากาศในสมการ (2.8ก) และ (2.8ข) พร้อมด้วย (2.11) มีค่าเท่ากับโพลีโนเมียลเชบีเชฟในสมการ (2.15) โดยให้  $z = \cos(u)$ ,  $u = \pi d \cos \theta / \lambda$  เนื่องจากขนาดของฟังก์ชัน โคไซน์มีค่าไม่เกิน 1 (นั่นคือ ขนาดของ  $z$  ต้องไม่เกิน 1 ด้วย) จะนั้นแบบรูปการແเพ่พลังงานที่ได้จะสอดคล้องกับช่วง  $-1 \leq z \leq +1$  เท่านั้น ซึ่งในข้านี้จะเห็นว่าแบบรูปมีข้อดีของพูในระดับที่เท่าๆ กัน (มีค่าเป็น 1) และไม่มีพูหลักเกิดขึ้น

เพื่อที่จะให้เกิดพูหลักจำเป็นต้องขยายขอบเขตของค่า  $z$  ใหม่ ซึ่งทำได้โดยการกำหนดให้  $z$  มีค่าสูงสุดเป็น  $z_0$  และค่าต่ำสุดเป็น  $-z_0$  หรือ  $-z_0 \leq z \leq z_0$ ,  $z_0 > 1$  ที่ตำแหน่ง  $z = z_0$ ,  $T_m(z_0)$  จะมีค่าสูงสุด และมีค่ามากกว่า 1 ส่งผลให้เกิดพูหลักขึ้น โดยมีขนาดของยอดพูเท่ากับ  $T_m(z_0)$  ขนาดของยอดพูของมีค่าเท่ากับ 1

แบบรูปการແเพ่พลังงานก็สามารถหาได้ดังวิธีที่กล่าวมาแล้วนี้ การบังคับให้ตัวประกอบกลุ่มสายอากาศมีค่าเท่ากับโพลีโนเมียลเชบีเชฟ แต่ในกรณี  $-z_0 < z \leq z_0$ , การบังคับให้  $\cos(u) = z$  โดยที่  $u$  ยังคงเป็นค่าจริงไม่สามารถทำได้ จะนั้นจึงต้องนอร์มอลไลซ์  $z$  ดังนี้

$$\bar{z} = z/z_0$$

สมการก่อนหน้านี้จะให้  $-1 \leq \bar{z} \leq 1$  เมื่อ  $-z_0 \leq z \leq z_0$  จากนั้น จะให้พจน์โคไซน์ในตัวประกอบกคุณสายอากาศมีค่าเท่ากับรูปนอร์มอลไดซ์ หรือ

$$\cos(u) = \bar{z} = \frac{z}{z_0} \quad (2.16)$$

ระดับพูเข้าสู่สามารถหาได้จากการนำค่าของยอดพูลัก หารด้วย ค่าของยอดพูรอง หรือ

$$SLL(dB) = 20 \log \frac{T_m(z_0)}{1} \quad (2.17\alpha)$$

และในรูปไม่มีหน่วย

$$R_0 = 10^{SLL/20} \quad (2.17\beta)$$

#### 2.4.2 สัมประสิทธิ์กระแสต้นของกคุณสายอากาศดอลฟ์-เซบีเชฟ

ขั้นตอนการหาสัมประสิทธิ์กระแสต้นของกคุณสายอากาศดอลฟ์-เซบีเชฟมีดังนี้

1. เลือกใช้สมการหาค่าตัวประกอบกคุณสายอากาศโดยพิจารณาจากอีเลี่ยมต์ที่เป็นจำนวนคี่ หรือเป็นจำนวนคู่
2. กระจายตัวประกอบกคุณสายอากาศแทนค่าในแต่ละฟังก์ชันของ  $\cos(mu)$  โดยที่  $m = 0, 1, 2, \dots$  ( $m = 0, 1, 2, \dots$ ) โดยกระจายอนุกรมในสมการ (2.11)
3. หาก  $z_0$  ที่ทำให้ยอดของพูลักเท่ากับระดับพูเข้าสู่ที่ต้องการดังสมการต่อไปนี้

$$T_{N-1}(z_0) = R_0 \text{ (voltage ratio)} = \cosh[(N-1) \times \cosh^{-1}(z_0)] \quad (2.18\alpha)$$

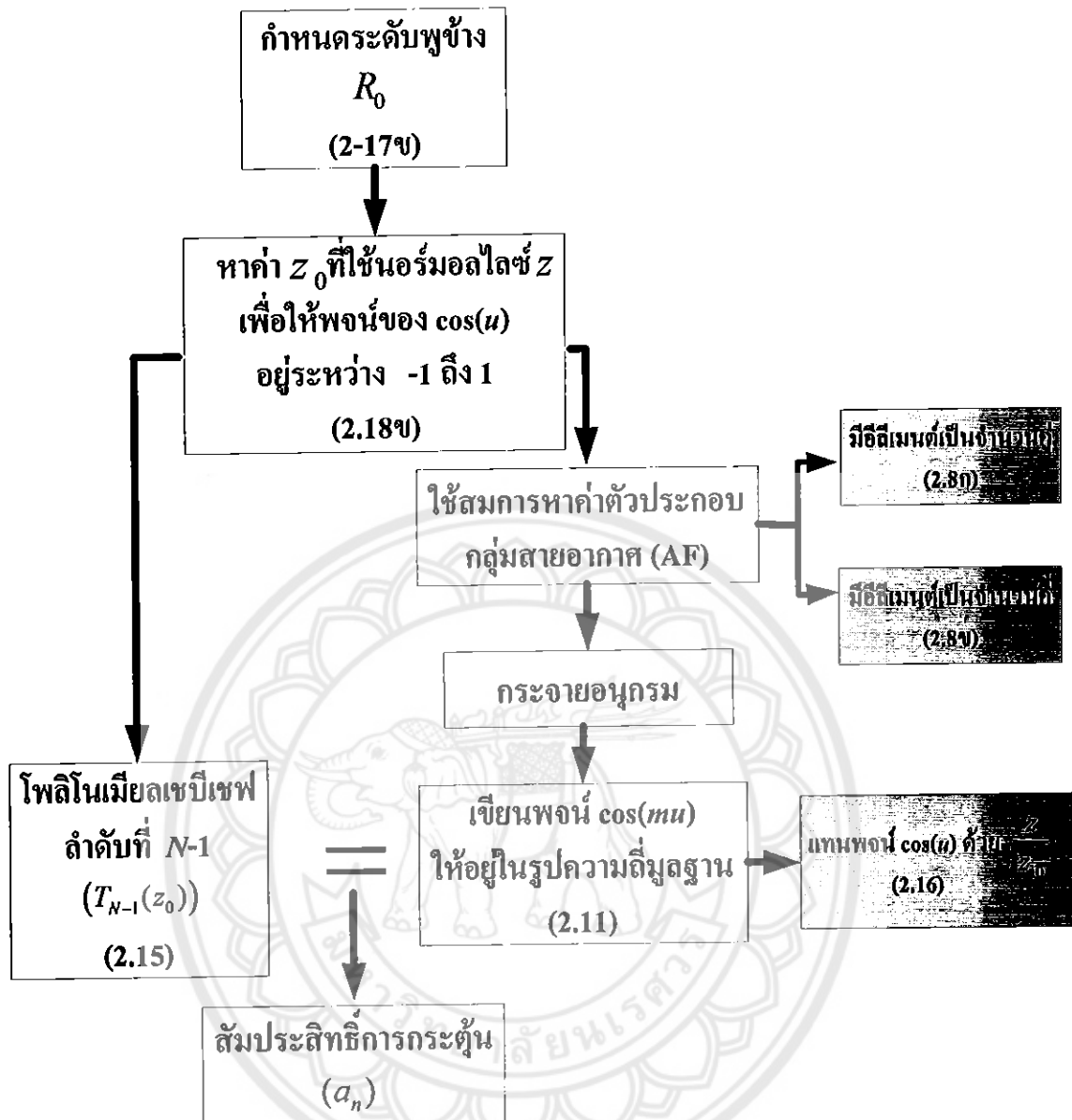
$$z_0 = \cosh\left[\frac{1}{N-1} \cosh^{-1}(R_0)\right] \quad (2.18\beta)$$

$N$  = จำนวนอีเลี่ยมต์

4. แทน  $\cos(u) = \frac{z}{z_0}$  ในตัวประกอบกคุณสายอากาศในขั้นตอนที่ 2

5. บังคับให้ตัวประกอบกคุณสายอากาศในขั้นตอนที่ 2 มีค่าเท่ากับ  $T_{N-1}(z)$  ในสมการ (2.15) และหาสัมประสิทธิ์กระแสต้นอีเลี่ยมต์ ในแต่ละโโพลิโนเมียล ของ  $z$

ขั้นตอนการหาสัมประสิทธิ์การกระแสต้นสามารถเขียนเป็นภาพได้ดังรูปที่ 2.6



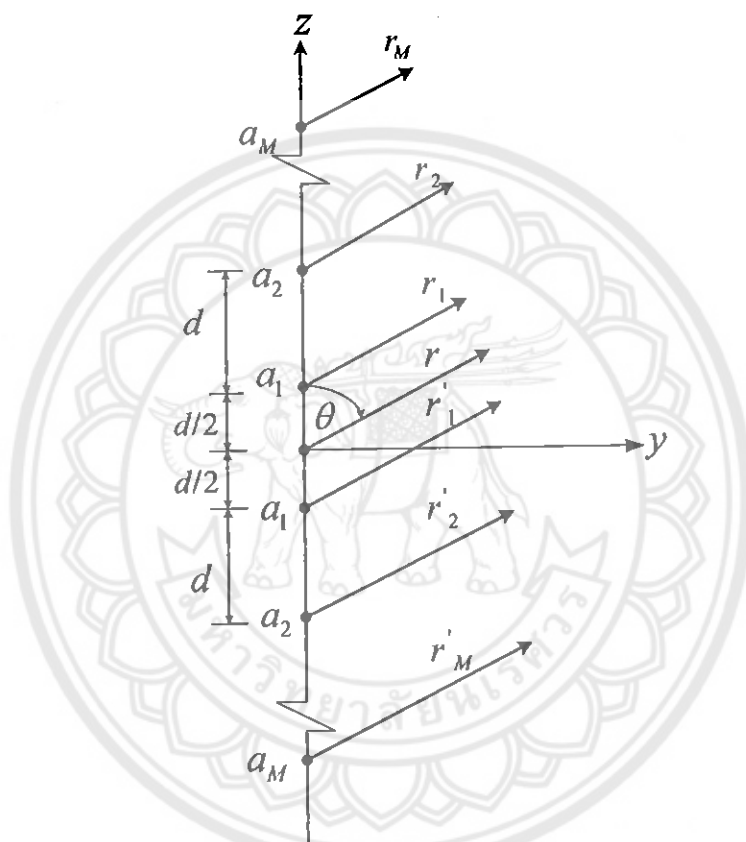
รูปที่ 2.6 ขั้นตอนการหาสัมประสิทธิ์กระตุ้นสำหรับกลุ่มสายอากาศคลอร์ฟ-เชิงฟีเชฟ

## บทที่ 3

### ผลการวิเคราะห์ก柱มลายอากาศ

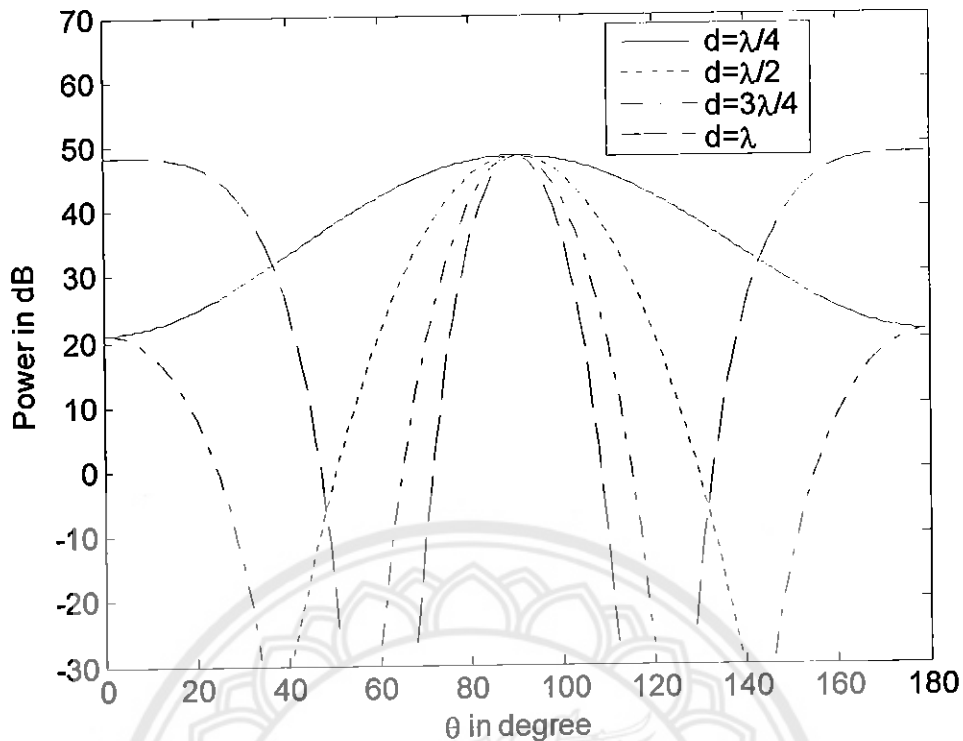
#### 3.1 ผลการวิเคราะห์ก柱มลายอากาศไปโนเมียล

พิจารณา ก柱มลายอากาศ ไอโซโทรปิกที่ประกอบด้วยสายอากาศ 10 อีลิเมนต์ซึ่งมีระยะห่างระหว่างอีลิเมนต์เท่ากับ  $d$  ดังแสดงในรูปที่ 3.1

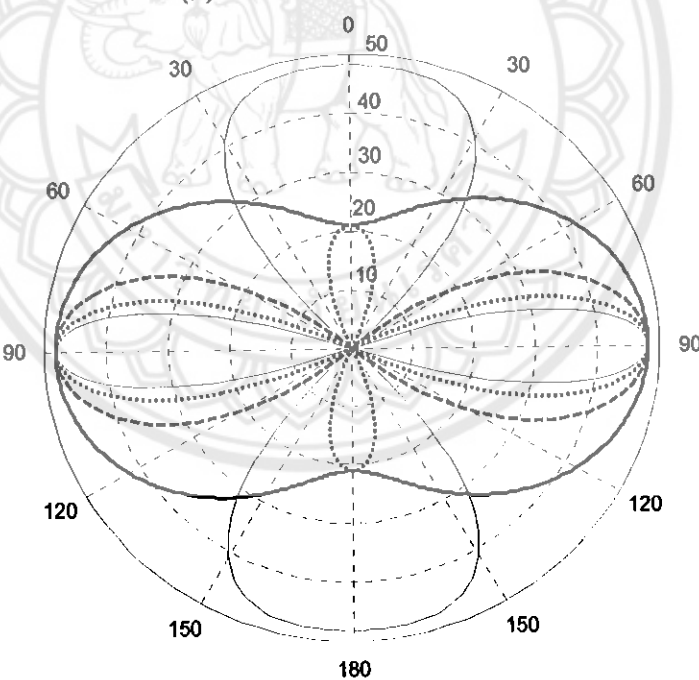


รูปที่ 3.1 ก柱มลายอากาศ ไอโซโทรปิกแอนเพลจูคไม่คงรูป ที่มีอีลิเมนต์เป็นจำนวนคู่

เนื่องจาก ก柱มลายอากาศ ที่จะพิจารณา นี้มีจำนวนอีลิเมนต์เป็นจำนวนคู่ ดังนั้นตัวประกอบก柱มลายอากาศสามารถวิเคราะห์ได้จากสมการ (2.8ก) และ (2.8ก) และสัมประสิทธิ์การกระตุ้น ( $a_n$ ) สามารถหาได้จากการกระจายอนุกรมในโนเมียลในรูปของสามเหลี่ยมปาสคาลดังสมการที่ (2.10) ซึ่ง เมื่อจำนวนอีลิเมนต์เท่ากับ 10 แล้วจะได้สัมประสิทธิ์การกระตุ้นก柱มลายอากาศดังนี้  $a_1 = 126$ ,  $a_2 = 84$ ,  $a_3 = 36$ ,  $a_4 = 9$  และ  $a_5 = 1$  เมื่อหาค่าตัวประกอบก柱มลายอากาศจากสมการ (2.8ก) และ (2.8ก) ด้วยการใช้โปรแกรม MATLAB ที่แสดงไว้ในภาคผนวก (ง) จะได้แบบรูปกำลังของตัวประกอบก柱มลายอากาศไปโนเมียลเมื่อระยะห่างระหว่างอีลิเมนต์เท่ากับ  $\lambda/4, \lambda/2, 3\lambda/4$  และ  $\lambda$  ดังรูปที่ 3.2



(ก) กราฟในระบบพิกัดคลาก



(ข) กราฟในระบบพิกัดเชิงข้าว

- $d = \lambda/4$
- - -  $d = \lambda/2$
- ....  $d = 3\lambda/4$
- $d = \lambda$

รูปที่ 3.2 แบบรูปกำลังของตัวประกอบกลุ่มสายอากาศในเมียล 10 อิลีเมนต์ ( $N = 10$ )  
ที่ระยะห่างระหว่างอิลีเมนต์เท่ากับ  $\lambda/4, \lambda/2, 3\lambda/4$  และ  $\lambda$

จากรูปที่ 3.2 จะเห็นได้ว่าที่ระยะห่างระหว่างอีลิเมนต์เท่ากับ  $\lambda/4, \lambda/2, 3\lambda/4$  และ  $\lambda$  แบบรูปกำลังของตัวประกอบกลุ่มสายอากาศไปในเมียลจะมีจุดยอดของพูหลักสูงเท่ากัน และที่ระยะห่างระหว่างอีลิเมนต์เท่ากับ  $\lambda/4, \lambda/2$  และ  $\lambda$  จะไม่มีพูข้างเกิดขึ้น ซึ่งที่ระยะห่างระหว่างอีลิเมนต์เท่ากับ  $\lambda$  จะมีพูหลักเกิดขึ้นสองพู ในขณะที่ระยะห่างระหว่างอีลิเมนต์เท่ากับ  $3\lambda/4$  จะมีพูข้างเกิดขึ้น

ความกว้างลำคลื่นครึ่งกำลัง (HPBW) ของกลุ่มสายอากาศไปในเมียล สามารถหาได้จากการพิจารณาแบบบูรณาการของตัวประกอบกลุ่มสายอากาศดังรูปที่ 3.2 ซึ่งการหาค่าความกว้างลำคลื่นครึ่งกำลังคือ การหามุมที่เกิดขึ้นในระหว่างตำแหน่งที่กำลังคลื่นลดลงเป็นครึ่งหนึ่งของกำลังสูงสุด (-3dB) และในข้อนี้คือมุมที่เกิดขึ้นระหว่างชุด -3dB ของการเพริ่งจากสูงสุดของตัวประกอบกลุ่มสายอากาศ ซึ่งเป็นไปตามสมการ (ข.1) ในภาคผนวก (ข) และวิเคราะห์โดยใช้โปรแกรม MATLAB ที่แสดงไว้ในภาคผนวก (ง) จะได้ดังตารางที่ 3.1

ตารางที่ 3.1 ความกว้างลำคลื่นครึ่งกำลังของกลุ่มสายอากาศไปในเมียล 10 อีลิเมนต์ โดยมีระยะห่างระหว่างอีลิเมนต์เท่ากับ  $d$

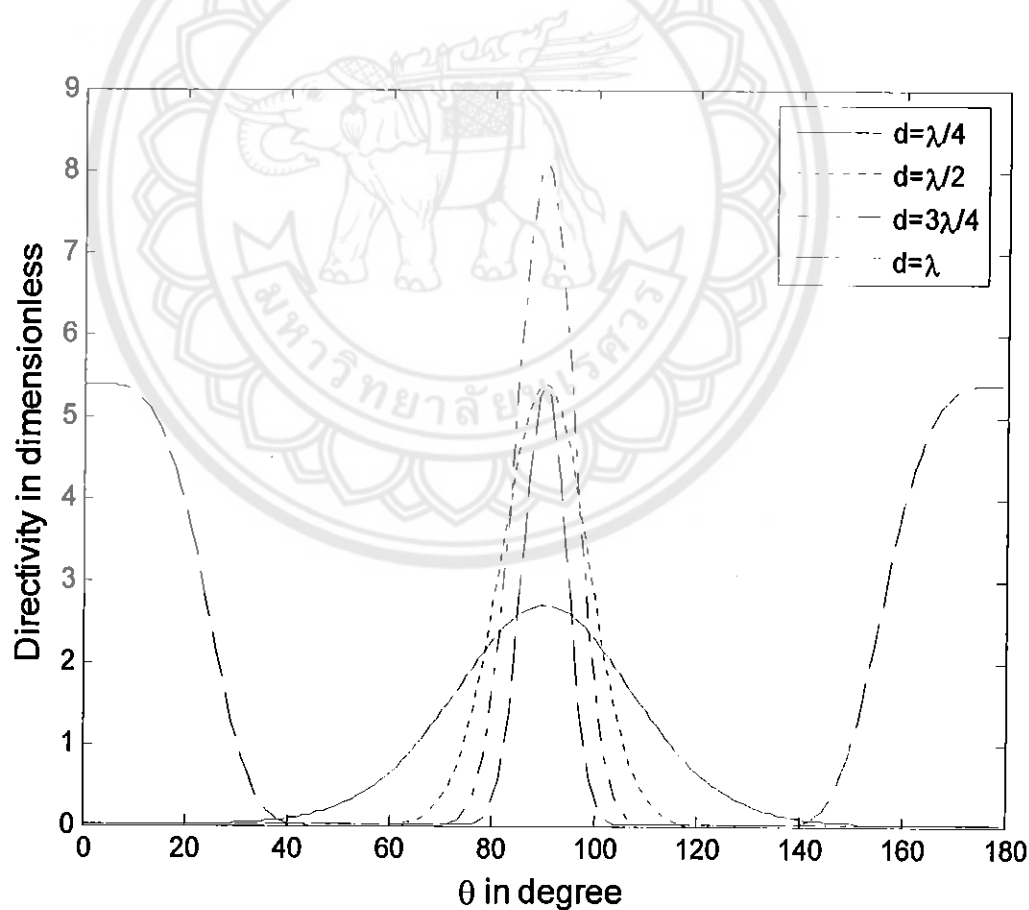
ระยะห่างระหว่างอีลิเมนต์ ( $d$ )	ความกว้างลำคลื่นครึ่งกำลัง (HPBW in degree)
$\lambda/4$	41.11
$3\lambda/8$	27.07
$\lambda/2$	20.22
$3\lambda/4$	13.43
$\lambda$	10.07
$5\lambda/4$	8.05
$3\lambda/2$	6.69
$7\lambda/4$	5.73
$2\lambda$	4.99

จากตารางที่ 3.1 จะเห็นได้ว่าเมื่อระยะห่างระหว่างอีลิเมนต์เพิ่มมากขึ้นความกว้างลำคลื่นของกลุ่มสายอากาศไปในเมียลจะมีค่าลดลงและผันกัน เมื่อเรียบร้อยที่จะนับค่าความกว้างลำคลื่นครึ่งกำลังระยะห่างระหว่างอีลิเมนต์เท่ากับ  $\lambda/2$  ที่วิเคราะห์ได้จากสมการ (ข.1) โดยใช้โปรแกรม MATLAB ดังตารางที่ 3.1 กับวิธีที่เสนอไว้โดย Ricardi [4] ตามสมการ (ข.2) จะเห็นว่าความกว้างลำคลื่นครึ่งกำลังที่ได้จะมีความสอดคล้องกันดังตารางที่ 3.2

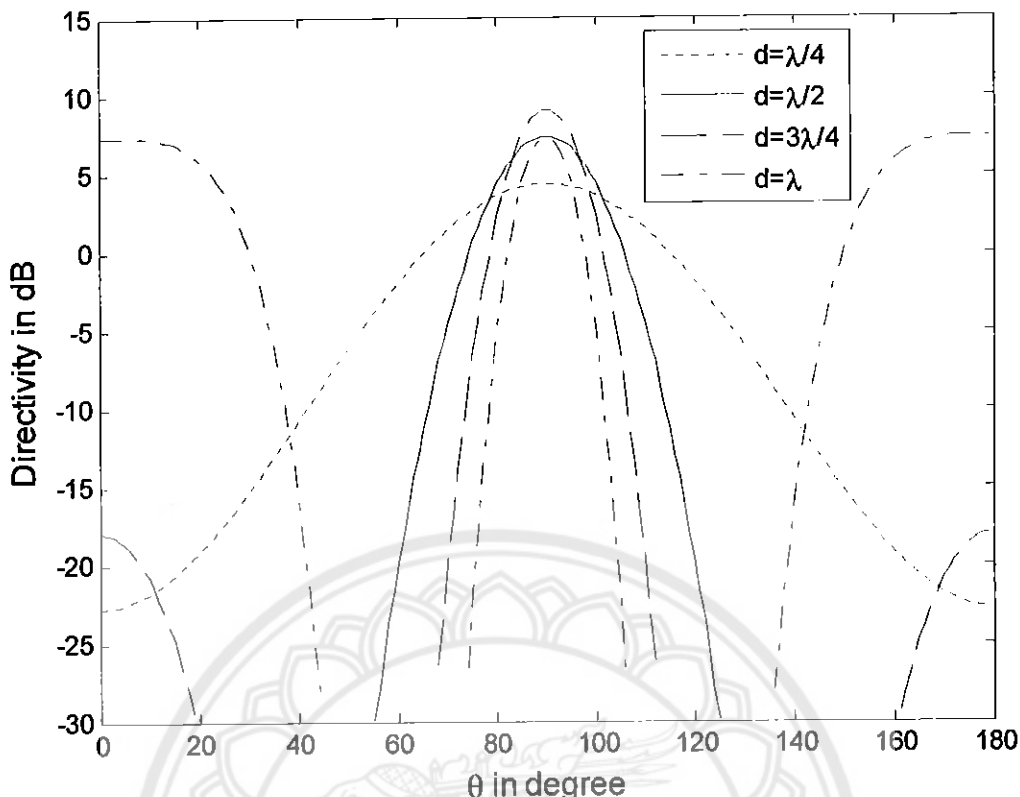
ตารางที่ 3.2 ความกว้างลำคลื่นครึ่งกำลังของกลุ่มสายอากาศในโนเมียล 10 อีลีเมนต์  
และมีระยะห่างระหว่างอีลีเมนต์เท่ากับ  $\lambda/2$

ความกว้างลำคลื่นครึ่งกำลังของกลุ่มสายอากาศในโนเมียล (องศา)	
วิธีของ Ricardi ตามสมการ (x.2)	วิธีที่ใช้ MATLAB หาจากสมการ (x.1)
20.23	20.22

สภาพเจาะจงทิศทางสามารถหาได้จากการพิจารณาตัวประกอบกลุ่มสายอากาศที่ได้ก่อนหน้านี้ และวิเคราะห์จากสมการ (ค.7) โดยใช้โปรแกรม MATLAB ที่แสดงในภาคผนวก (ก) แบบรูปสภาพเจาะจงทิศทางที่ได้ แสดงไว้ในรูปที่ 3.3 และสภาพเจาะจงทิศทางสูงสุดแสดงดังตารางที่ 3.3



(ก) สภาพเจาะจงทิศทางในรูปไม่น่าวาย



(ข) สภาพเจาะจงทิศทางในรูปเคซิเบล (dB)

รูปที่ 3.3 สภาพเจาะจงทิศทางสำหรับกลุ่มสาขอากาศในโนเมียล 10 อีลีเมนต์ ( $N = 10$ )  
ที่มีระยะห่างระหว่างอีลีเมนต์เท่ากับ  $\lambda/4, \lambda/2, 3\lambda/4$  และ  $\lambda$

จากรูปที่ 3.3 จะเห็นได้ว่าแบบรูปสภาพเจาะจงทิศทางของกลุ่มสาขอากาศในโนเมียล 10 อีลีเมนต์ ที่ระยะห่างระหว่างอีลีเมนต์เท่ากับ  $3\lambda/4$  จะมีจุดยอดพุ่งสุดและมีพูข้างเกิดขึ้นด้วย ส่วนที่ระยะห่างระหว่างอีลีเมนต์เท่ากับ  $\lambda/4$  จะมีจุดยอดพุ่งต่ำสุดและไม่มีพูข้างเกิดขึ้น และที่ระยะห่างระหว่างอีลีเมนต์ เท่ากับ  $\lambda/2$  กับ  $\lambda$  จะมีจุดยอดพุ่งเท่ากัน ซึ่งที่ระยะห่างระหว่างอีลีเมนต์เท่ากับ  $\lambda$  จะมีพูลักษณะเกิดขึ้นสองพูและไม่มีพูข้าง สภาพเจาะจงทิศทางสูงสุดของกลุ่มสาขอากาศในโนเมียล 10 อีลีเมนต์ แสดงได้ดังตารางที่ 3.3

ตารางที่ 3.3 สภาพเจาะจงทิศทางสูงสุดของกลุ่มสาขอากาศในโนเมียล 10 อีลีเมนต์ตามวิธีที่เสนอในสมการ (ค.7) โดยใช้โปรแกรม MATLAB ในภาคผนวก (ง)

ระยะห่างระหว่างอีลีเมนต์ ( $d$ )	สภาพเจาะจงทิศทางสูงสุด(dB)
$\lambda/4$	4.31
$3\lambda/8$	6.06
$\lambda/2$	7.32
$3\lambda/4$	9.07

ตารางที่ 3.3 (ต่อ) สภาพเจาะจงทิศทางสูงสุดของกลุ่มสายอากาศในโนเมียล 10 อีลีเมนต์ตามวิธีที่เสนอในสมการ (ค.7) โดยใช้โปรแกรม MATLAB ในภาคผนวก (ง)

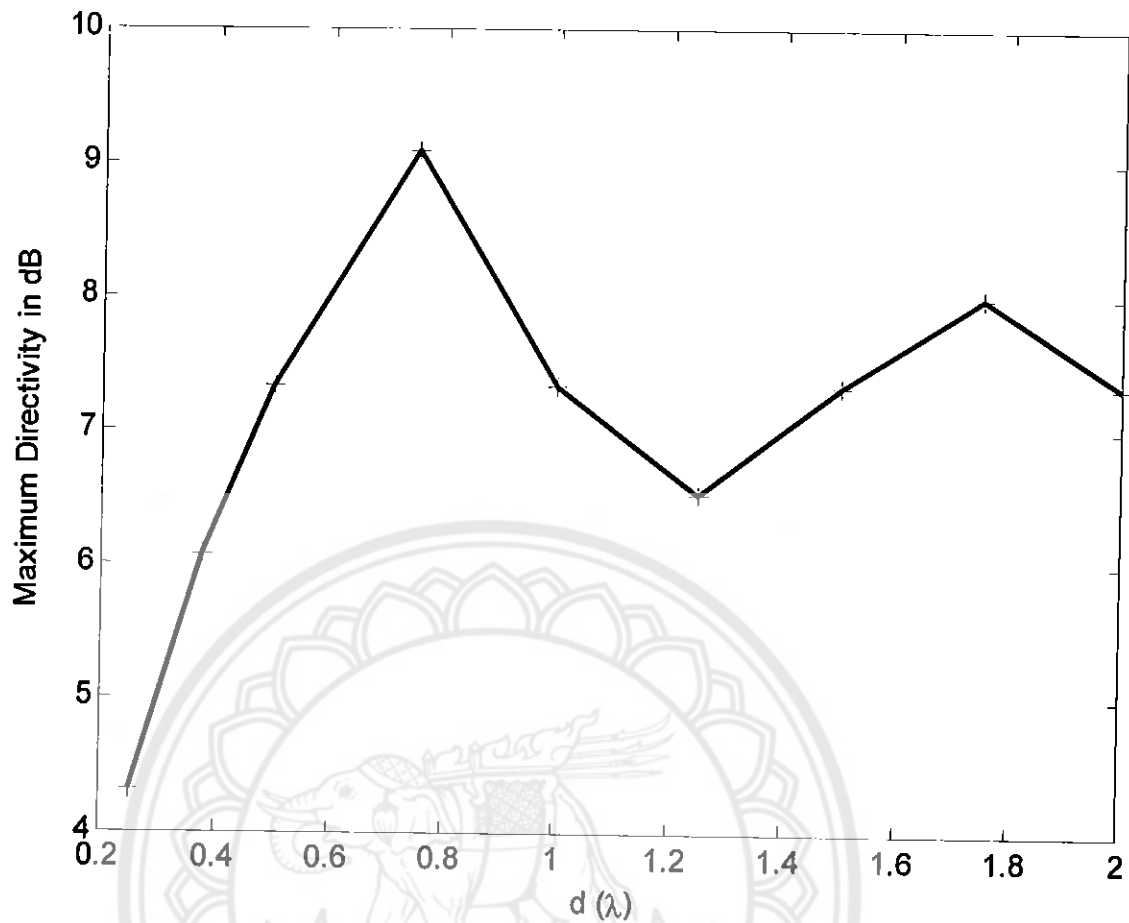
ระยะห่างระหว่างอีลีเมนต์ ( $d$ )	สภาพเจาะจงทิศทางสูงสุด(dB)
$\lambda$	7.32
$5\lambda/4$	6.53
$3\lambda/2$	7.32
$7\lambda/4$	7.98
$2\lambda$	7.32

เมื่อเปรียบเทียบสภาพเจาะจงทิศทางสูงสุดระหว่างระยะห่างอีลีเมนต์เท่ากับ  $\lambda/2$  ที่วิเคราะห์ได้จากสมการ (ค.7) โดยใช้โปรแกรม MATLAB ดังตารางที่ 3.3 กับวิธีที่เสนอไว้โดย Ricardi [4] ตามสมการ (ค.9) และ (ค.10) จะเห็นว่าความกว้างลำดันครึ่งกำลังที่ได้จะมีความสอดคล้องกันดังตารางที่ 3.4

ตารางที่ 3.4 สภาพเจาะจงทิศทางสูงสุดของกลุ่มสายอากาศในโนเมียล 10 อีลีเมนต์ และมีระยะห่างระหว่างอีลีเมนต์เท่ากับ  $\lambda/2$

สภาพเจาะจงทิศทางสูงสุด ของกลุ่มสายอากาศในโนเมียล (dB)		
วิธีของ Ricardi ตามสมการ (ค.9)	วิธีของ Ricardi ตามสมการ(ค.10)	วิธีที่เสนอตามสมการ (ค.7)โดยใช้โปรแกรม MATLAB
7.32	7.48	7.32

จากตารางที่ 3.3 สามารถเขียนกราฟของสภาพเจาะจงทิศทางสูงสุดของกลุ่มสายอากาศในโนเมียล 10 อีลีเมนต์ เทียบกับระยะห่างระหว่างอีลีเมนต์ ได้ดังรูปที่ 3.4



รูปที่ 3.4 สภาพเจาะจงทิศทางสูงสุด ( $D_{max}$ ) เทียบกับระยะห่างระหว่างอีลีเมนต์ สำหรับกลุ่มสาขอากาศในโนเมียล 10 อีลีเมนต์ ( $N=10$ )

จากรูปที่ 3.4 จะเห็นได้ว่าที่ระยะห่างระหว่างอีลีเมนต์ตั้งแต่  $0.25\lambda$  ขึ้นไปจนถึงระยะห่างระหว่างอีลีเมนต์เท่ากับ  $0.75\lambda$  สภาพเจาะจงทิศทางสูงสุดของกลุ่มสาขอากาศในโนเมียลจะมีค่าเพิ่มขึ้นตามลำดับ ที่ระยะห่างระหว่างอีลีเมนต์มากกว่า  $0.75\lambda$  จนถึง  $1.25\lambda$  สภาพเจาะจงทิศทางสูงสุดจะมีค่าลดลงตามลำดับ และสภาพเจาะจงทิศทางสูงสุดจะมีค่าเพิ่มขึ้นอีกเล็กน้อยที่ระยะห่างระหว่างอีลีเมนต์มากกว่า  $1.25\lambda$  จนถึง  $1.75\lambda$  จากนั้นจะลดลงอีกที่ระยะห่างระหว่างอีลีเมนต์มากกว่า  $1.75\lambda$  ซึ่งระยะห่างระหว่างอีลีเมนต์ตั้งแต่  $0.5\lambda$  และเพิ่มขึ้นทุกๆ  $0.5\lambda$  มีสภาพเจาะจงทิศทางเท่ากันคือ  $7.32\text{ dB}$  เมื่อพิจารณาร่วมกันระหว่างความกว้างลำคลื่นครึ่งกำลัง สภาพเจาะจงทิศทางสูงสุด และการปรากฏของพุ่งข้างของกลุ่มสาขอากาศในโนเมียล 10 อีลีเมนต์จะแสดงได้ดังตารางที่ 3.5

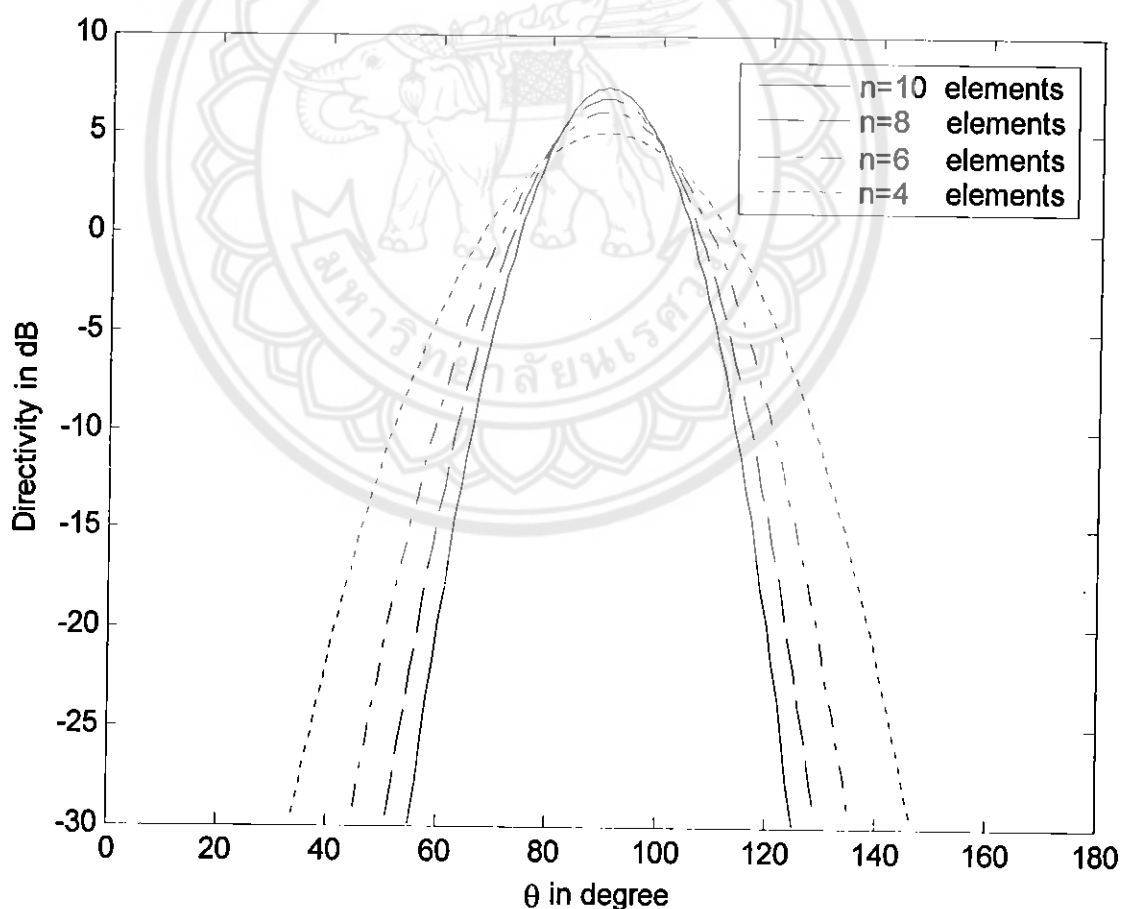
ตารางที่ 3.5 ความกว้างลำดิ่นครึ่งกำลังและสภาพเจาะจงทิศทางสูงสุดของกลุ่มสายอากาศ  
ใบโน้มียลตานวิธีที่เสนอในสมการ (x.1) และ (ค.7) โดยใช้โปรแกรม MATLAB

ระยะห่างระหว่าง อีลิเมนต์ ( $d$ )	ความกว้างลำดิ่น ครึ่งกำลัง (HPBW in degree)	สภาพเจาะจงทิศทาง สูงสุด (dB)	การปรากម្មของพูและ ระดับของพูข้าง (SLL in dB)
$\lambda/4$	41.11	4.31	มีพูหลักพูเดียว และไม่มีพูข้าง
$3\lambda/8$	27.07	6.06	มีพูหลักพูเดียว และไม่มีพูข้าง
$\lambda/2$	20.22	7.32	มีพูหลักพูเดียว และไม่มีพูข้าง
$3\lambda/4$	13.43	9.07	มีพูหลักพูเดียว และมีพูข้าง $SLL = 27$
$\lambda$	10.07	7.32	มีพูหลักสามพู และไม่มีพูข้าง
$5\lambda/8$	8.05	6.53	มีพูหลักสามพู และไม่มีพูข้าง
$3\lambda/2$	6.69	7.32	มีพูหลักสามพู และไม่มีพูข้าง
$7\lambda/4$	5.73	7.98	มีพูหลักสามพู และไม่มีพูข้าง
$2\lambda$	4.99	7.32	มีพูหลักห้าพู และไม่มีพูข้าง

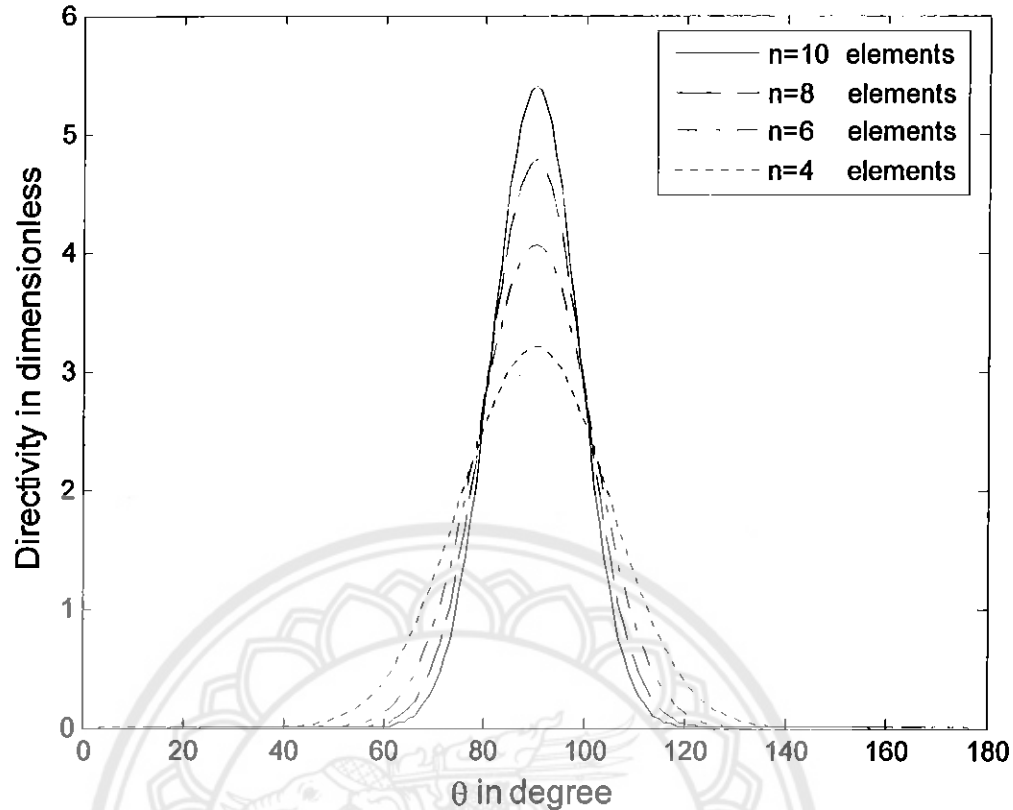
จากตารางที่ 3.5 พิจารณาช่วงระยะห่างระหว่างอีลิเมนต์เท่ากับ  $\lambda/4$  จนถึง  $3\lambda/4$  จะเห็นได้ว่าความ  
กว้างลำดิ่นครึ่งกำลังของกลุ่มสายอากาศใบโน้มียลจะมีค่าลดลงตามลำดับ และสภาพเจาะจงทิศทาง  
สูงสุดก็มีค่าเพิ่มนี้ขึ้นตามลำดับด้วยเห็นได้ การปรากម្មของพูลดลงงานในช่วงนี้จะมีพูหลักเพียงพูเดียวและ  
ไม่มีพูข้าง ยกเว้นที่ระยะห่างระหว่างอีลิเมนต์  $3\lambda/4$  จะมีพูข้างเกิดขึ้นซึ่งวัดระดับพูข้าง (SLL) ได้  
เท่ากับ 27 dB และเมื่อพิจารณาช่วงระยะห่างระหว่างอีลิเมนต์ที่มากกว่า  $3\lambda/4$  ถึง  $5\lambda/4$  ในช่วงนี้ความ  
กว้างลำดิ่นครึ่งกำลังมีค่าลดลงตามลำดับและสภาพเจาะจงทิศทางสูงสุดก็มีค่าลดลงด้วยเห็นได้

การป্রากฏของพุพลังงานในช่วงนี้จะมีพุหลักเกิดขึ้นสามพุและไม่มีพุข้างเกิดขึ้น พิจารณาช่วงระยะห่างระหว่างอีลีเมนต์ที่มากกว่า  $5\lambda/4$  จนถึง  $7\lambda/4$  ในช่วงนี้ความกว้างลำคลื่นครึ่งกำลังจะมีค่าลดลงตามลำดับ แต่สภาพเฉพาะจังทิศทางสูงสุดจะมีค่าเพิ่มมากขึ้น การป্রากฏของพุพลังงานในช่วงนี้จะมีพุหลักเกิดขึ้นสามพุและไม่มีพุข้างเกิดขึ้น ส่วนช่วงระยะห่างระหว่างอีลีเมนต์ที่มากกว่า  $7\lambda/4$  จนถึง  $2\lambda$  ช่วงนี้ความกว้างลำคลื่นครึ่งกำลังจะมีค่าลดลงและสภาพเฉพาะจังทิศทางที่มีค่าลดลงอีกเล็กน้อย การป্রากฏของพุพลังงานในช่วงนี้จะมีพุหลักเกิดขึ้นห้าพุและไม่มีพุข้างเกิดขึ้น ระยะห่างระหว่างอีลีเมนต์ตั้งแต่  $\lambda/2$  และเพิ่มขึ้นทุกๆ  $\lambda/2$  มีสภาพเฉพาะจังทิศทางเท่ากันคือ 7.32 dB ถ้าต้องการกลุ่มสายอากาศที่ส่งสัญญาณได้ไกลและมีทิศทางที่แม่นยำ กลุ่มสายอากาศนั้นควรมีสภาพเฉพาะจังทิศทางสูง ความกว้างลำคลื่นครึ่งกำลังน้อย มีพุหลักเพียงพุเดียว และไม่มีพุข้างเกิดขึ้น จากตารางที่ 3.5 เห็นได้ว่า ระยะห่างระหว่างอีลีเมนต์ที่เหมาะสมกับการใช้งานในลักษณะนี้คือ  $\lambda/2$  และ  $3\lambda/4$

เมื่อทำการเปลี่ยนจำนวนอีลีเมนต์ของกลุ่มสายอากาศไปในเมียบล จะได้แบบรูปสภาพเฉพาะจังทิศทางดังรูปที่ 3.5



(ก) สภาพเฉพาะจังทิศทางในรูปเคชิเบล (dB)



(ข) สภาพเจาะจงทิศทางในรูปไข่เมื่อนวясь

รูปที่ 3.5 สภาพเจาะจงทิศทางสำหรับกลุ่มสายอากาศในโนเมียล ที่มีระยะห่างระหว่างอีลีเมนต์เท่ากับ  $\lambda/2$  และมีจำนวนอีลีเมนต์ ( $N$ ) เป็น 4, 6, 8 และ 10 อีลีเมนต์

รูปที่ 3.5 แสดงให้เห็นว่า เมื่อจำนวนอีลีเมนต์ของสายอากาศที่นำมาจัดเรียงกันมีจำนวนเพิ่มมากขึ้นจะทำให้สภาพเจาะจงทิศทางมีค่าสูงขึ้นด้วย

### 3.2 ผลการวิเคราะห์กลุ่มสายอากาศดอลฟ์-เซบีเชฟ

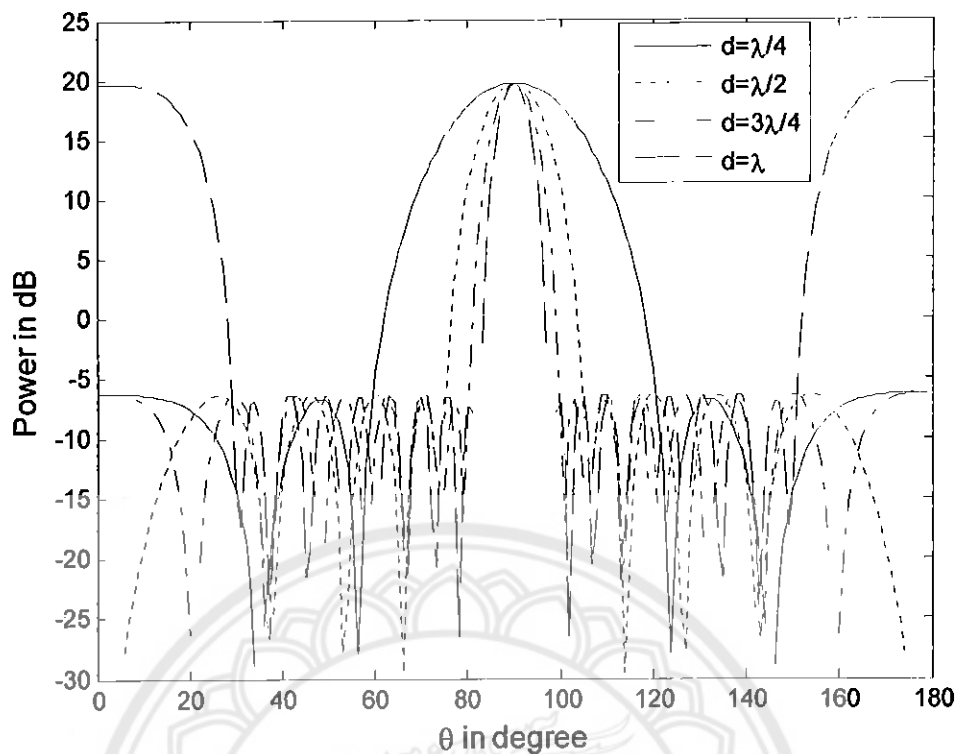
พิจารณากลุ่มสายอากาศโดยใช้ทร้อปิกที่ประกอบด้วยสายอากาศ 10 อีลีเมนต์ซึ่งมีระยะห่างระหว่างอีลีเมนต์เท่ากับ  $d$  และมีจำนวนอีลีเมนต์เป็นจำนวนคู่ ดังรูปที่ 3.1 ในการวิเคราะห์หนึ่งกำหนดให้ อัตราผู้ลดต่อพูรองเป็น 26 dB ดังนั้นตัวประกอบนกลุ่มสายอากาศสามารถหาได้โดยใช้สมการที่ (2.8ก) และ (2.8ก) จากนั้นกระบวนการอนุกรมของสมการ (2.8ก) และสมการ (2.11) ทำการหาค่าของ  $z_0$  จาก สมการ (2.18ข) แทนค่า  $z_0$  ลงในสมการ  $\cos(u) = z/z_0$  และให้สมการนี้เท่ากับตัวประกอบนกลุ่มสายอากาศในสมการ (2.8ก) ที่กระจายอนุกรมแล้ว หลังจากนั้นแทนสมการของ  $\cos(u) = z/z_0$  ด้วย  $T_9(z)$  จะได้สัมประสิทธิ์การระดับของกลุ่มสายอากาศดอลฟ์-เซบีเชฟดังนี้  $a_1 = 2.798$ ,  $a_2 = 2.496$ ,  $a_3 = 1.974$ ,  $a_4 = 1.357$  และ  $a_5 = 1$  และสามารถใช้โปรแกรม MATLAB ที่แสดงไว้ในภาคผนวก (จ) หาค่าตัวประกอบนกลุ่มสายอากาศ จะได้แบบรูปกำลังของกลุ่มสายอากาศดอลฟ์-เซบีเชฟดังรูปที่ 3.6

14947913

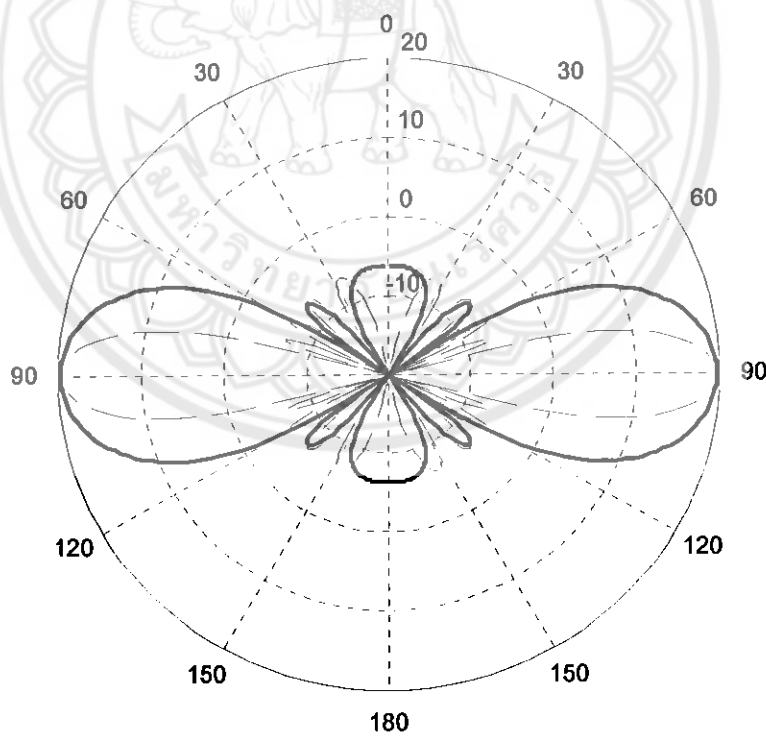
1/S.

N 23/77

2550



(ก) กราฟในระบบพิกัดฉาก



(ข) กราฟในระบบพิกัดเชิงข้าม

—  $d = \lambda/4$   
- - -  $d = \lambda/2$

รูปที่ 3.6 แบบรูปกำลังของตัวประกอนกลุ่มสายอากาศสำหรับกลุ่มสายอากาศคอล์ฟ-เซบีเชฟ

10 อีลิเมนต์ ( $N = 10$ ) ที่มีระยะห่างระหว่างอีลิเมนต์ ( $d$ ) เท่ากับ  $\lambda/4$ ,  $\lambda/2$ ,  $3\lambda/4$  และ  $\lambda$

จากรูปที่ 3.6 (ก) จะเห็นได้ว่าที่ระยะห่างระหว่างอีลีเมนต์เท่ากับ  $\lambda/4, \lambda/2, 3\lambda/4$  และ  $\lambda$  แบบรูปกำลังของตัวประกอนกลุ่มสายอากาศคอล์ฟ-เซนเซฟจะมีจุดยอดของพุหลักสูงเท่ากัน และมีความสูงของพุข้างใกล้เคียงกันทำให้มีระดับพุข้าง (SLL) เท่ากันคือ 26 dB ที่ระยะห่างระหว่างอีลีเมนต์เท่ากับ  $\lambda$  จะมีพุหลักเกิดขึ้นสองพุ

ความกว้างลำคลื่นของกลุ่มสายอากาศคอล์ฟ-เซนเซฟ พิจารณาจากค่า  $-3\text{dB}$  ของการแผ่กระจายสูงสุดของพุหลัก ดังสมการ (ข.1) เมื่อใช้โปรแกรม MATLAB ในภาคผนวก (ง) หากความกว้างลำคลื่นครึ่งกำลังได้ดังตารางที่ 3.6 หรือหากความกว้างลำคลื่นครึ่งกำลังด้วยวิธีของ Elliott[5] ดังสมการ (ข.6) เป็นการนำความกว้างลำคลื่นของกลุ่มสายอากาศแทนความกว้างคงรูปซึ่งหาได้จากสมการ (ข.5) ไปคูณกับตัวประกอนส่วนกว้างลำคลื่น (ร) ที่ได้จากสมการ (ข.4) หรือพิจารณาจากรูป (ข.2) จะได้ความกว้างลำคลื่นที่ระยะห่างระหว่างอีลีเมนต์เท่ากับ  $\lambda/2$  ดังตารางที่ 3.7

ตารางที่ 3.6 ความกว้างลำคลื่นครึ่งกำลังของกลุ่มสายอากาศคอล์ฟ-เซนเซฟ 10 อีลีเมนต์

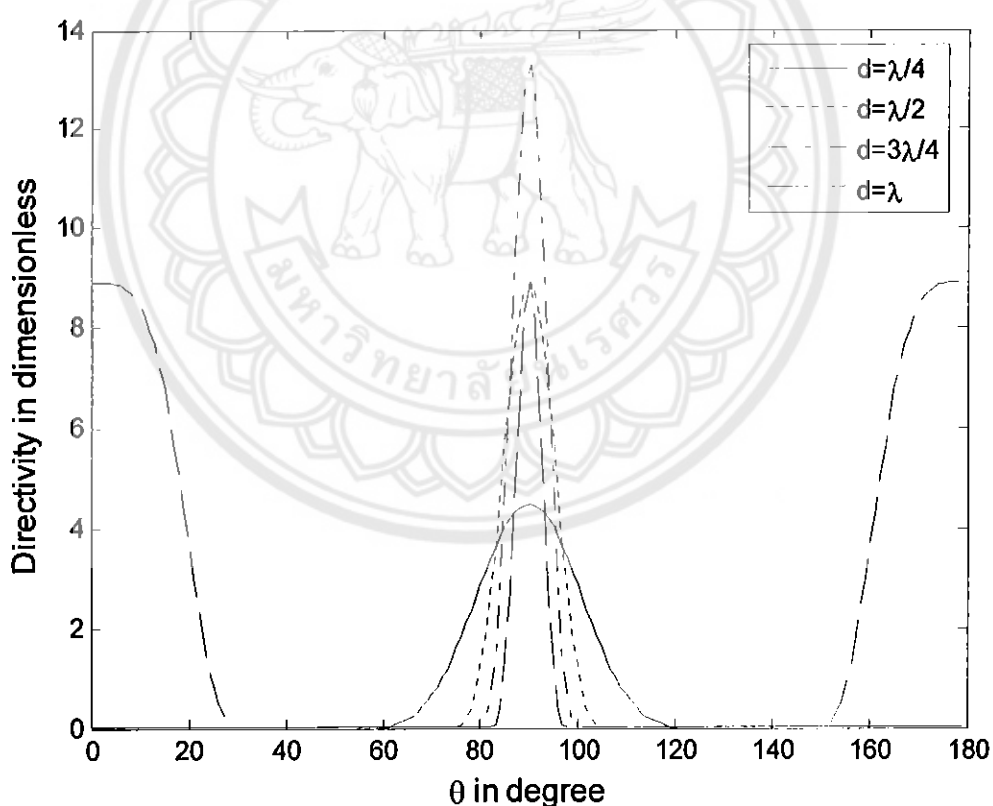
ระยะห่างระหว่างอีลีเมนต์ ( $d$ )	ความกว้างลำคลื่นครึ่งกำลัง (HPBW in degree)
$\lambda/4$	24.84
$3\lambda/8$	16.48
$\lambda/2$	12.33
$3\lambda/4$	8.21
$\lambda$	6.16
$5\lambda/4$	4.88
$3\lambda/2$	4.10
$7\lambda/4$	3.45
$2\lambda$	3.00

จากตารางที่ 3.6 จะเห็นได้ว่าเมื่อระยะห่างระหว่างอีลีเมนต์เพิ่มมากขึ้นความกว้างลำคลื่นครึ่งกำลังของกลุ่มสายอากาศคอล์ฟ-เซนเซฟจะมีค่าลดลงเปรียบผันกัน เมื่อเปรียบเทียบความกว้างลำคลื่นครึ่งกำลังระยะห่างระหว่างอีลีเมนต์เท่ากับ  $\lambda/2$  ที่วิเคราะห์ได้จากสมการ (ข.1) โดยใช้โปรแกรม MATLAB ดังตารางที่ 3.6 กับวิธีที่เสนอไว้โดย Elliott[5] ตามสมการ (ข.6) จะเห็นได้ว่าสภาพเฉพาะเจาะจงที่ค้างที่ได้จะมีความสอดคล้องกันดังตารางที่ 3.7

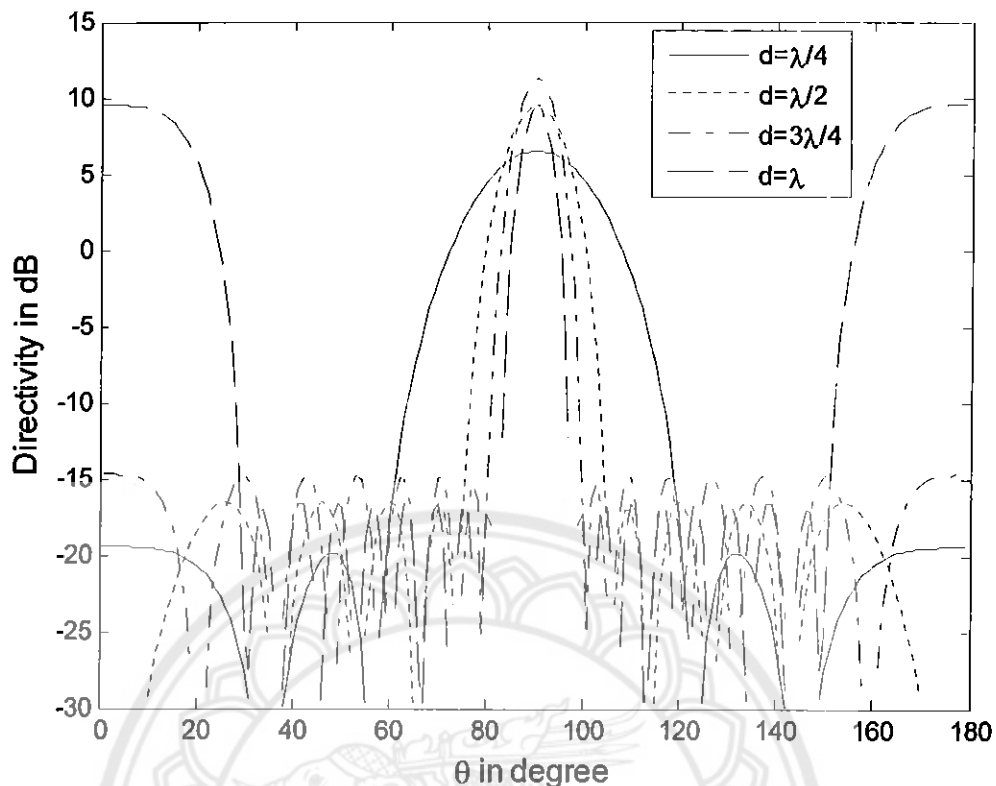
ตารางที่ 3.7 ความกว้างลำคลื่นครึ่งกำลังของกลุ่มสายอากาศ ดอล์ฟ-เชบีเชฟ 10 อิเลเมนต์ ที่มีระยะห่างระหว่างอิเลเมนต์เท่ากับ  $\lambda/2$

ความกว้างลำคลื่นครึ่งกำลังของกลุ่มสายอากาศ ดอล์ฟ-เชบีเชฟ (องศา)	
วิธีของ Elliott ตามสมการ (ข.6)	วิธีที่เสนอตามสมการ (ข.1) โดยใช้โปรแกรม MATLAB
10.97	12.33

สภาพเฉพาะจังที่ศักยภาพสูงสุดของกลุ่มสายอากาศดอล์ฟ-เชบีเชฟสามารถหาได้จากสมการ (ค.11) หรือหาได้จากสมการ (ค.7) โดยใช้โปรแกรม MATLAB ที่แสดงในภาคผนวก (ง) เมื่ออัตราพูลักต่อพูร่องเท่ากับ 26 dB แบบรูปสภาพเฉพาะจังที่ศักยภาพที่ได้แสดงไว้ดังรูปที่ 3.7



(ก) สภาพเฉพาะจังที่ศักยภาพในรูปไม่มีหน่วย



(ข) สภาพเจาะจงทิศทางในรูปเคชีเบล (dB)

รูปที่ 3.7 สภาพเจาะจงทิศทางสำหรับกอุ่นสายอากาศ คอล์ฟ-เชบีเชฟ 10 อีลีเมนต์ ( $N = 10$ )  
และระยะห่างระหว่างอีลีเมนต์เท่ากับ  $\lambda/4, \lambda/2, 3\lambda/4$  และ  $\lambda$

จากรูปที่ 3.7 จะเห็นได้ว่าแบบรูปสภาพเจาะจงทิศทางของกอุ่นสายอากาศคอล์ฟ-เชบีเชฟ 10 อีลีเมนต์ที่ระยะห่างระหว่างอีลีเมนต์เท่ากับ  $3\lambda/4$  จะมีจุดยอดของพุหลักสูงสุด และมีพูข้างที่สูงเกิดขึ้นด้วย ส่วนที่ระยะห่างระหว่างอีลีเมนต์เท่ากับ  $\lambda/4$  จะมีจุดยอดของพุหลักต่ำสุดและมีพูข้างที่ต่ำด้วย และที่ระยะห่างระหว่างอีลีเมนต์เท่ากับ  $\lambda/2$  กับ  $\lambda$  จะมีจุดยอดของพุหลักสูงเท่ากัน ซึ่งที่ระยะห่างระหว่างอีลีเมนต์เท่ากับ  $\lambda$  จะมีพูหลักเกิดขึ้นสองพู สภาพเจาะจงทิศทางสูงสุดของกอุ่นสายอากาศ คอล์ฟ-เชบีเชฟ 10 อีลีเมนต์แสดงได้ดังตารางที่ 3.8

ตารางที่ 3.8 สภาพเจาะจงทิศทางสูงสุดของกอุ่นสายอากาศคอล์ฟ-เชบีเชฟ ตามวิธีที่เสนอ  
ในสมการ (ค.7) โดยใช้โปรแกรม MATLAB ที่แสดงไว้ในภาคผนวก (ง)

ระยะห่างระหว่างอีลีเมนต์ ( $d$ )	สภาพเจาะจงทิศทางสูงสุด (dB)
$\lambda/4$	6.52
$3\lambda/8$	8.27
$\lambda/2$	9.50
$3\lambda/4$	11.24

ตารางที่ 3.8 (ต่อ) สภาพเจาะจงทิศทางสูงสุดของกลุ่มสายอากาศคอล์ฟ-เชบีเชฟ ตามวิธีที่เสนอ  
ในสมการ (ค.7) โดยใช้โปรแกรม MATLAB ที่แสดงไว้ในภาคผนวก (4)

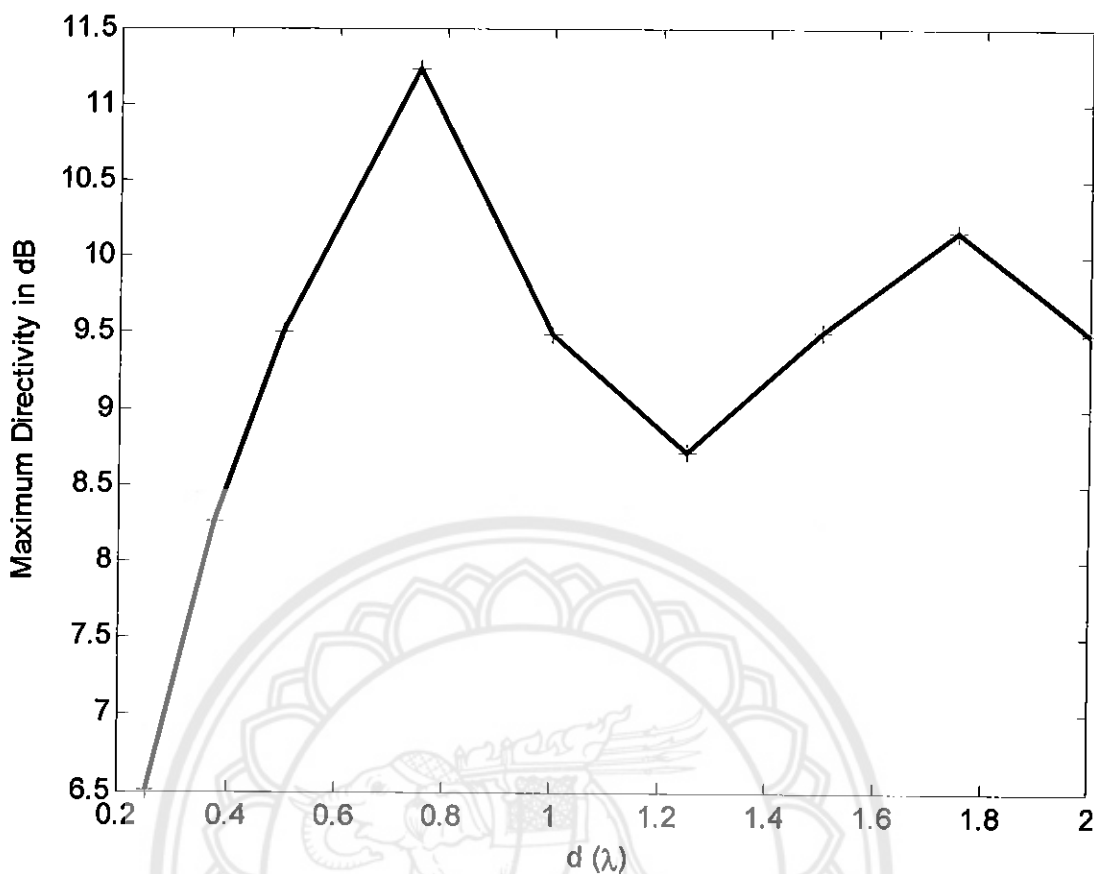
ระยะห่างระหว่างอีลีเมนต์ (d)	สภาพเจาะจงทิศทางสูงสุด (dB)
$\lambda$	9.50
$5\lambda/4$	8.72
$3\lambda/2$	9.50
$7\lambda/4$	10.17
$2\lambda$	9.50

เมื่อเปรียบเทียบสภาพเจาะจงทิศทางสูงสุดระหว่างระยะห่างอีลีเมนต์เท่ากับ  $\lambda/2$  ที่วิเคราะห์ได้จาก  
สมการ (ค.7) โดยใช้โปรแกรม MATLAB ดังตารางที่ 3.8 กับวิธีที่เสนอไว้โดย Elliott [5] ตามสมการ  
(ค.11) จะเห็นได้ว่าสภาพเจาะจงทิศทางที่ได้จะมีความสอดคล้องกันดังตารางที่ 3.9

ตารางที่ 3.9 สภาพเจาะจงทิศทางสูงสุดของกลุ่มสายอากาศ คอล์ฟ- เชบีเชฟ 10 อีลีเมนต์  
ที่มีระยะห่างระหว่างอีลีเมนต์เท่ากับ  $\lambda/2$

สภาพเจาะจงทิศทางสูงสุด ของกลุ่มสายอากาศ คอล์ฟ- เชบีเชฟ (dB)	
วิธีของ Elliott ตามสมการ (ค.11)	วิธีที่เสนอตามสมการ (ค.7) โดย ใช้โปรแกรม MATLAB
9.63	9.50

จากตารางที่ 3.9 สามารถเขียนกราฟของสภาพเจาะจงทิศทางสูงสุดของกลุ่มสายอากาศคอล์ฟ- เชบีเชฟ  
เทียบกับระยะห่างระหว่างอีลีเมนต์ ดังรูปที่ 3.8



รูปที่ 3.8 สภาพเฉพาะของทิศทางสูงสุดเทียบกับระยะห่างระหว่างอีลีเมนต์สำหรับกลุ่มสายอากาศ  
ดอล์ฟ-เซบีเชฟ 10 อีลีเมนต์ ( $N=10$ )

จากรูปที่ 3.8 จะเห็นได้ว่า ระยะห่างระหว่างอีลีเมนต์ตั้งแต่  $0.25\lambda$  ขึ้นไปจนถึงระยะห่างระหว่างอีลีเมนต์เท่ากับ  $0.75\lambda$  สภาพเฉพาะของทิศทางสูงสุดของกลุ่มสายอากาศดอล์ฟ-เซบีเชฟจะมีค่าเพิ่มขึ้นตามลำดับ ที่ระยะห่างระหว่างอีลีเมนต์มากกว่า  $0.75\lambda$  จนถึง  $1.25\lambda$  สภาพเฉพาะของทิศทางสูงสุด มีค่าลดลงตามลำดับ และมีค่าเพิ่มขึ้นอีกเล็กน้อยที่ระยะห่างระหว่างอีลีเมนต์มากกว่า  $1.25\lambda$  จนถึง  $1.75\lambda$  จากนั้นจะลดลงอีกที่ระยะห่างระหว่างอีลีเมนต์มากกว่า  $1.75\lambda$  ซึ่งระยะห่างระหว่างอีลีเมนต์ตั้งแต่  $0.5\lambda$  และเพิ่มขึ้นทุกๆ  $0.5\lambda$  มีสภาพเฉพาะของทิศทางเท่ากันคือ  $9.50\text{ dB}$

เมื่อพิจารณาร่วมกันระหว่างความกว้างลำคลื่นครึ่งกำลัง สภาพเฉพาะของทิศทางสูงสุด และการประกูของพูข้างของกลุ่มสายอากาศดอล์ฟ-เซบีเชฟ 10 อีลีเมนต์จะแสดงได้ดังตารางที่ 3.10

ตารางที่ 3.10 ความกว้างลำคลื่นครึ่งกำลัง ( HPBW ) และสภาพเจาะจงทิศทางสูงสุดของกลุ่มสายอากาศ คอร์ฟ- เชบีเชฟ ตามวิธีที่เสนอในสมการ(ข.1) และ (ค.7) โดยใช้โปรแกรม MATLAB ที่แสดงไว้ในภาคผนวก (ง) เมื่อกำหนดรัดบับพูข้างเท่ากับ 26 dB

ระยะห่างระหว่าง อีเลิเมนต์ ( $d$ )	ความกว้างลำคลื่น ครึ่งกำลัง(องศา)	สภาพเจาะจงทิศทางสูงสุด (dB)	การป্রากฏของพูและระดับของพูข้าง SLL (dB)
$\lambda/4$	24.84	6.52	มีพูหลักหนึ่งพูและมีการป্রากฏของพูข้าง $SLL = 26$
$3\lambda/8$	16.48	8.27	มีพูหลักหนึ่งพูและมีการป্রากฏของพูข้าง $SLL = 26$
$\lambda/2$	12.33	9.50	มีพูหลักหนึ่งพูและมีการป্রากฏของพูข้าง $SLL = 26$
$3\lambda/4$	8.21	11.24	มีพูหลักหนึ่งพูและมีการป্রากฏของพูข้าง $SLL = 26$
$\lambda$	6.16	9.50	มีพูหลักสามพูและมีการป্রากฏของพูข้าง $SLL = 26$
$5\lambda/4$	4.88	8.72	มีพูหลักสามพูและมีการป্রากฏของพูข้าง $SLL = 26$
$3\lambda/2$	4.10	9.50	มีพูหลักสามพูและมีการป্রากฏของพูข้าง $SLL = 26$
$7\lambda/4$	3.45	10.17	มีพูหลักสามพูและมีการป্রากฏของพูข้าง $SLL = 26$
$2\lambda$	3.00	9.50	มีพูหลักห้าพูและมีการป্রากฏของพูข้าง $SLL = 26$

จากตารางที่ 3.10 ที่ระยะห่างระหว่างอีเลิเมนต์ต่างกันระดับพูข้าง (SLL) มีค่าเท่ากันคือ 26 dB พิจารณา ช่วงระยะห่างระหว่างอีเลิเมนต์เท่ากับ  $\lambda/4$  ถึง  $3\lambda/4$  จะเห็นได้ว่าความกว้างลำคลื่นครึ่งกำลังของกลุ่มสายอากาศในไม่ยัลจะมีค่าลดลงตามลำดับ และสภาพเจาะจงทิศทางสูงสุดก็มีค่าเพิ่มขึ้นตามลำดับด้วย เช่นกัน การป্রากฏของพูหลังงานในช่วงนี้จะมีพูหลักเพียงพูเดียวและมีพูข้างเกิดขึ้น และเมื่อพิจารณา ช่วงระยะห่างระหว่างอีเลิเมนต์ที่มากกว่า  $3\lambda/4$  ถึง  $5\lambda/4$  ในช่วงนี้ความกว้างลำคลื่นครึ่งกำลังจะมีค่า ลดลงตามลำดับ และสภาพเจาะจงทิศทางสูงสุดก็มีค่าลดลงด้วยเช่นกัน การป্রากฏของพูหลังงาน

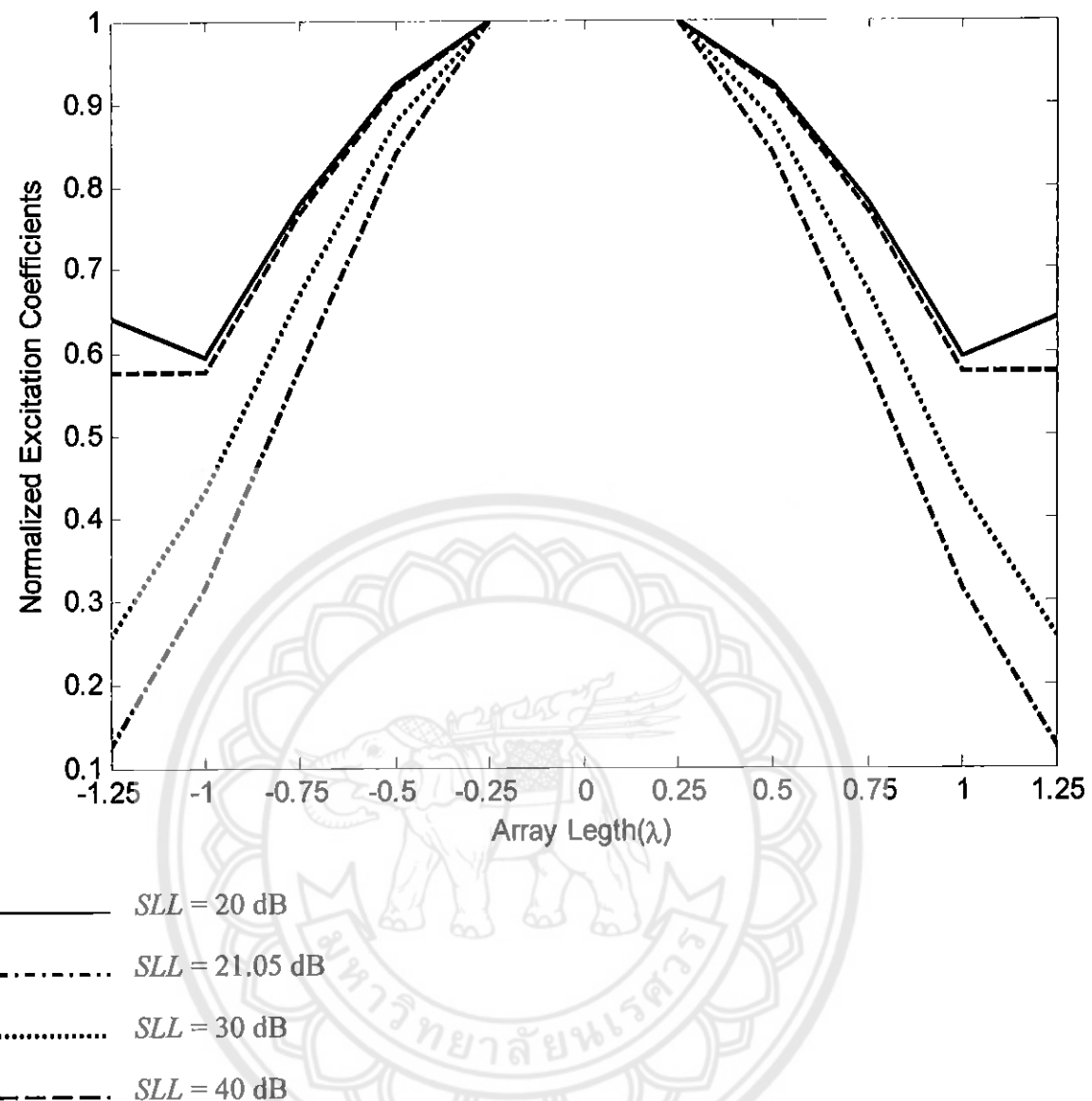
ในช่วงนี้จะมีพูหลักเกิดขึ้นสามพูและมีพูข้างเกิดขึ้น พิจารณาช่วงระยะห่างระหว่างอีลิเมนต์ที่มากกว่า  $5\lambda/4$  จนถึง  $7\lambda/4$  ในช่วงนี้ความกว้างลำดับคู่นี้ครึ่งกำลังจะมีค่าลดลงตามลำดับ แต่สภาพเจาะจงทิศทางสูงสุดจะมีค่าเพิ่มมากขึ้น การประยุกษาของพูพลังงานในช่วงนี้จะมีพูหลักเกิดขึ้นสามพูและมีพูข้างเกิดขึ้น ส่วนช่วงระยะห่างระหว่างอีลิเมนต์ที่มากกว่า  $7\lambda/4$  จนถึง  $2\lambda$  ช่วงนี้ความกว้างลำดับคู่นี้ครึ่งกำลังจะมีค่าลดลงและสภาพเจาะจงทิศทางที่มีค่าลดลงอีกเล็กน้อย การประยุกษาของพูพลังงานในช่วงนี้จะมีพูหลักเกิดขึ้นห้าพูและมีพูข้างเกิดขึ้น ซึ่งระยะห่างระหว่างอีลิเมนต์ตั้งแต่  $\lambda/2$  และเพิ่มขึ้นทุกๆ  $\lambda/2$  มีสภาพเจาะจงทิศทางเท่ากันคือ  $9.50 \text{ dB}$  ถ้าต้องการกลุ่มสายอากาศที่ส่งสัญญาณໄດ້ໄກลและมีทิศทางที่แม่นยำ กลุ่มสายอากาศนั้นมีสภาพเจาะจงทิศทางสูง ความกว้างลำดับคู่นี้ครึ่งกำลังน้อย มีพูหลักเพียงพูเดียว และมีพูข้างเกิดขึ้นน้อยที่สุด จากตารางที่ 3.10 เห็นได้ว่าระยะห่างระหว่างอีลิเมนต์ที่เหมาะสมกับการใช้งานในลักษณะนี้คือ  $\lambda/2$  และ  $3\lambda/4$

เมื่อกำหนดระดับพูข้างให้กับกลุ่มสายอากาศคลอส์ฟ-เซบีเชฟ การแผ่กระจายแอนพลิวิคระหว่างอีลิเมนต์ของกลุ่มสายอากาศนี้ความสัมพันธ์กับระดับพูข้างดังแสดงในตารางที่ 3.11

ตารางที่ 3.11 สมการประสิทธิ์การกระตุ้นของกลุ่มสายอากาศคลอส์ฟ-เซบีเชฟ 10 อีลิเมนต์ ในรูปอนอร์นอลไลซ์ ที่ได้จากการพิจารณาแอนพลิวิคที่อยู่ตรงกลางอีลิเมนต์เมื่อระดับพูข้างเท่ากับ 20, 21.05, 30 และ 40 dB โดยใช้โปรแกรม MATLAB ที่แสดงไว้ในภาคผนวก (ج)

ระดับพูข้าง (dB)	สมการประสิทธิ์การกระตุ้น ( $a_n$ )				
	$a_1$	$a_2$	$a_3$	$a_4$	$a_5$
20	1	0.921	0.777	0.594	0.641
21.05	1	0.916	0.765	0.574	0.576
30	1	0.878	0.669	0.429	0.257
40	1	0.839	0.580	0.315	0.125

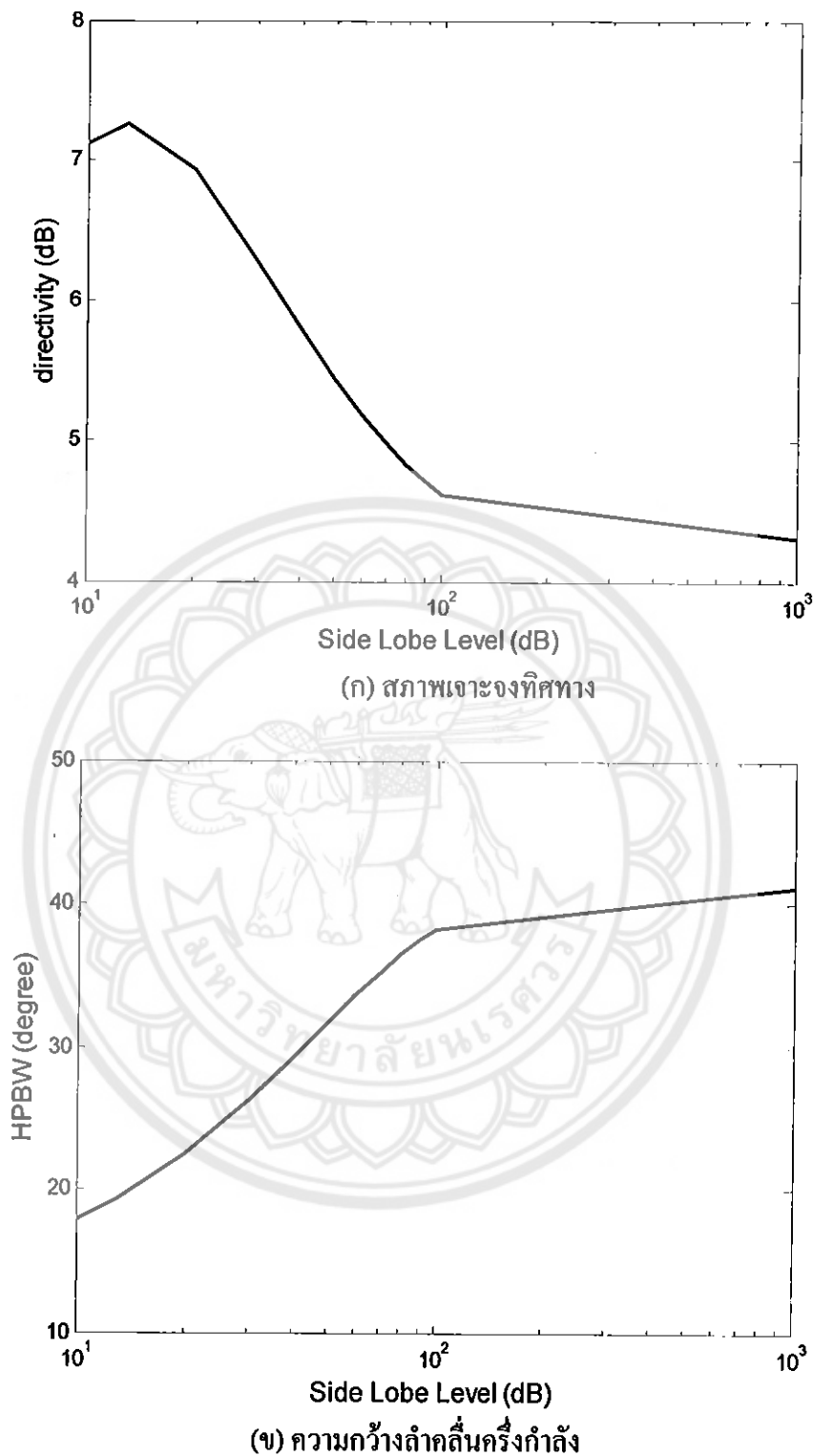
จากตารางที่ 3.11 จะสามารถนำไปเขียนกราฟได้ดังรูปที่ 3.9



รูปที่ 3.9 การแผ่กระจายแอนพลิจูด ที่ระดับพูข้างต่างกัน สำหรับกุญแจสายอากาศคอลฟ์-เชบีเชฟ 10 อิลีเมนต์ ( $N=10$ ) และ  $d=\lambda/4$

จากรูปที่ 3.9 เห็นได้ว่าที่ระดับพูข้างต่างกัน 20 dB และ 21.05 dB การแผ่กระจายของแอนพลิจูด การกระตุ้นนิมการลดลงจากกุญแจนี้กางอิลีเมนต์ไปข้างบนค้านข้างไม่สม่ำเสมอ กัน และที่ระดับพูข้างมากกว่า 21.05 dB ขึ้นไปการแผ่กระจายของแอนพลิจูดการกระตุ้นจากกุญแจนี้กางอิลีเมนต์ไปข้างบนค้านข้างจะลดลงอย่างราบเรียบและสม่ำเสมอ

ในการวิเคราะห์กุญแจสายอากาศเส้นตรงแอนพลิจูดไม่คงรูป จะพิจารณาร่วมกันระหว่างความกว้างลำคลื่นครึ่งกำลังและสภาพเจาะจงทิศทางเพื่อหาค่าที่เหมาะสมที่สุด ดังรูปที่ 3.10

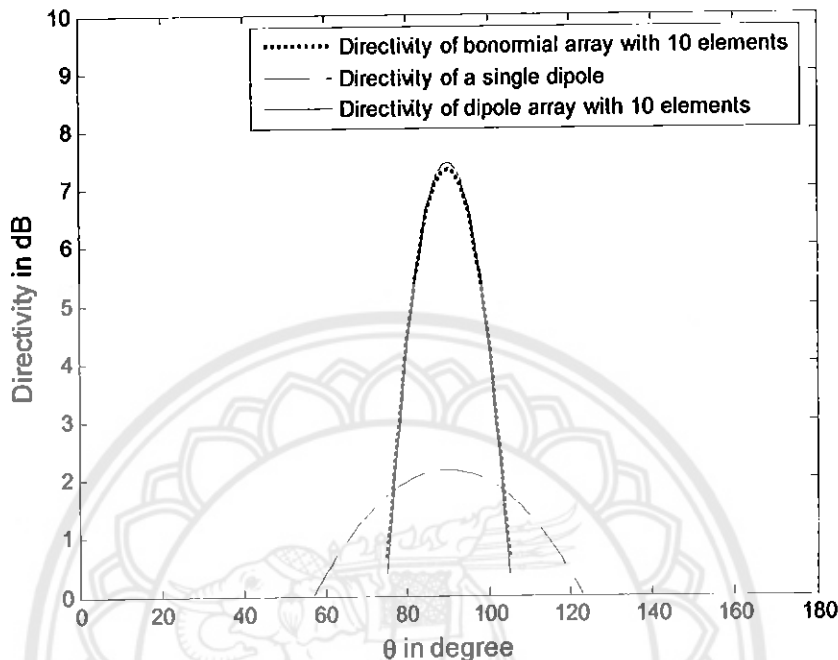


รูปที่ 3.10 สภาพเจาะจงทิศทางและความกว้างลำคลื่นครึ่งกำลังเทียบกับระดับพูข้างสำหรับกุญแจอากาศอคตอฟ-เซนีเชฟ 10 อีลี เมนต์ ( $N = 10$ ) และ  $d = \lambda/4$

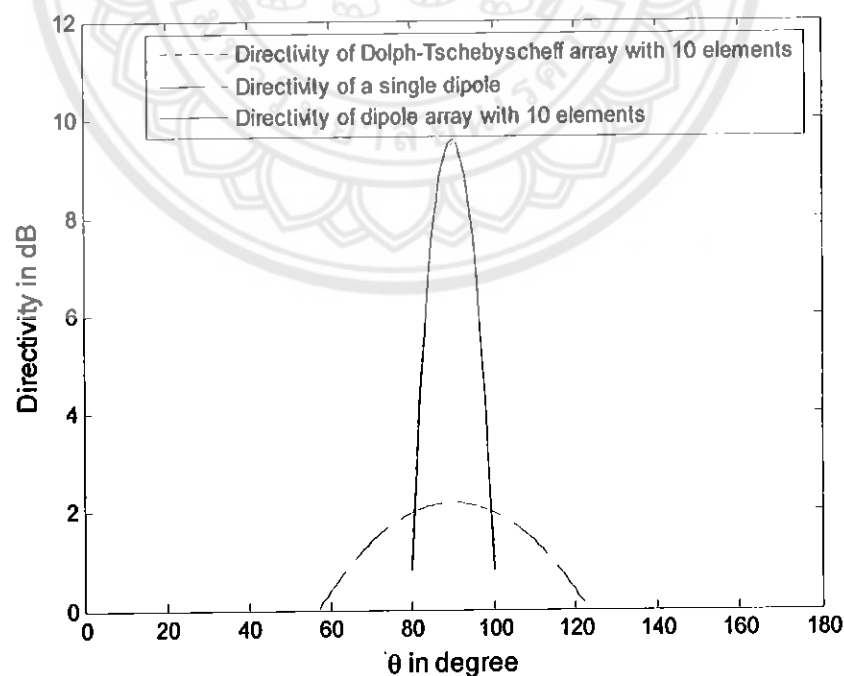
จากรูป 3.10 เมื่อระดับพูข้างคลื่นอย่างสภาพเจาะจงทิศทางจะมีค่าเพิ่มขึ้นและความกว้างลำคลื่นครึ่งกำลังมีค่าลดลง ดังรูปที่ 3.10(ก) และรูป 3.10(ข) ตามลำดับ ซึ่งเป็นลักษณะที่ต้องการในการใช้งานเพื่อให้ส่งสัญญาณได้ระยะทางที่ไกล

### 3.3 การนำสายอากาศขั้วคู่ (Dipole) มาจัดเรียงกันเป็นกลุ่มสายอากาศ

เมื่อนำสายอากาศขั้วคู่ 10 อิลีเมนต์ มาจัดเรียงกันเป็นกลุ่มสายอากาศสภาพเจาะจงที่ศักยภาพสามารถหาได้จากสมการ (ค.18) โดยใช้โปรแกรม MATLAB ในภาคผนวก (ง) แสดงได้ดังรูปที่ 3.12



(ก) สายอากาศขั้วคู่ที่ถูกจัดเรียงกันเป็นกลุ่มสายอากาศไปโน้มेखล



(ข) สายอากาศขั้วคู่ที่ถูกจัดเรียงกันเป็นกลุ่มสายอากาศคอล์ฟ-เชบีเชฟ

รูปที่ 3.11 สภาพเจาะจงที่ศักยภาพของกลุ่มสายอากาศที่ได้จากการจัดเรียงกันของสายอากาศขั้วคู่ 10 อิลีเมนต์ ระยะห่างระหว่างอิลีเมนต์เท่ากับ  $\lambda/2$

จากรูปที่ 3.11 เมื่อนำสายอากาศข้ามจุดเรียงกันเป็นกลุ่มสายอากาศในโนเมียล 10 อิลีเมนต์ โดยมีระยะห่างระหว่างอิลีเมนต์เท่ากับ  $\lambda/2$  จะทำให้สเปกตรัมทิศทางสูงสุดมีค่าเพิ่มขึ้นจาก 2.15 dB เป็น 7.45 dB สำหรับกรณีนำสายอากาศข้ามจุดเรียงกันเป็นกลุ่มสายอากาศดอล์ฟ-เซบีเชฟจะได้สเปกตรัมทิศทางสูงสุดเป็น 9.56 dB

### 3.4 เปรียบเทียบคุณลักษณะของกลุ่มสายอากาศในโนเมียล กลุ่มสายอากาศดอล์ฟ-เซบีเชฟ และกลุ่มสายอากาศคงรูป

เมื่อเปรียบเทียบคุณลักษณะต่างๆ ของกลุ่มสายอากาศในโนเมียล กลุ่มสายอากาศดอล์ฟ-เซบีเชฟ และกลุ่มสายอากาศคงรูป โดยกลุ่มสายอากาศแต่ละชนิดมีการจัดเรียงกัน 10 อิลีเมนต์ ที่ระยะห่างระหว่างอิลีเมนต์เท่ากับ  $\lambda/2$  แสดงได้ดังตารางที่ 3.12

ตารางที่ 3.12 เปรียบเทียบคุณลักษณะของกลุ่มสายอากาศในโนเมียล กลุ่มสายอากาศดอล์ฟ-เซบีเชฟ และกลุ่มสายอากาศคงรูป 10 อิลีเมนต์ ระยะห่างระหว่างอิลีเมนต์เท่ากับ  $\lambda/2$

ชนิดของกลุ่ม สายอากาศ	คุณลักษณะของกลุ่มสายอากาศ			
	สเปกตรัมทิศทางสูงสุด $D_{max}$ (dB)	ความกว้างลำกลีน ครึ่งกำลัง HPBW (องศา)	ระดับพูข้าง SLL (dB)	แอนพลิจูดการ กระตุ้นอิลีเมนต์
ในโนเมียล	7.32	20.22	∞	อัตราส่วนของขนาด กระแสสูงสุดต่อ กระแสต่ำสุดในอิลี เมนต์มีค่าสูง (100:0.79)
ดอล์ฟ-เซบีเชฟ	9.50	12.33	26	อัตราส่วนของขนาด กระแสสูงสุดต่อกระแสต่ำสูดในอิลีเมนต์ มีค่าต่ำกว่ากลุ่มสายอากาศในโนเมียล (100:35.74)
คงรูป	10	10.20	13	ขนาดกระแสแต่ละ อิลีเมนต์เท่ากัน (100:100)

## บทที่ 4

### สรุปผลการวิเคราะห์และข้อเสนอแนะ

#### 4.1 สรุปผลการวิเคราะห์

จากการวิเคราะห์ก่อรุ่นสายอากาศเส้นตรงระบบห่างครูปและแอมพลิจูดไม่กรูปได้แก่ ก่อรุ่นสายอากาศในโนเมียลและก่อรุ่นสายอากาศดอล์ฟ-เซบีเชฟพบว่าในสายอากาศแบบในโนเมียลแอมพลิจูดการกระตุนถูกพิจารณาจากการกระจายอนุกรมในโนเมียล คุณลักษณะของก่อรุ่นสายอากาศนิดนี้มีสภาพเฉพาะจังทิศทางต่ำและมีความกว้างลำคลื่นครึ่งกำลัง (HPBW) ที่กว้างเมื่อเทียบกับก่อรุ่นสายอากาศดอล์ฟ-เซบีเชฟ อัตราส่วนของขนาดกระแสสูงสุดต่อกระแสต่ำสุดในอีลีเมนต์มีค่าสูงทำให้ควบคุมระดับแอมพลิจูดได้มากนัก แต่ข้อดีของก่อรุ่นสายอากาศในโนเมียลคือโดยทั่วไปแล้วจะไม่มีพูข้างเกิดขึ้น (Side lobe = -∞) สำหรับกรณีก่อรุ่นสายอากาศจากอากาศดอล์ฟ-เซบีเชฟ แอมพลิจูดการกระตุนจะถูกพิจารณาจากโพลิโนเมียลเซบีเชฟโดยวิธีของดอล์ฟซิงสามารถกำหนดระดับพูข้าง (SLL) ได้ตามความต้องการ ก่อรุ่นสายอากาศนิดนี้มีสภาพเฉพาะจังทิศทางสูง และมีความกว้างลำคลื่นครึ่งกำลัง (HPBW) แคบกว่าก่อรุ่นสายอากาศในโนเมียล แต่ข้อเสียคือมีการปรากฏของพูข้าง อัตราส่วนของขนาดกระแสสูงสุดต่อกระแสต่ำสุดในอีลีเมนต์มีค่าต่ำทำให้จำกัดต่อการควบคุมระดับของแอมพลิจูดและการวิเคราะห์พบว่าก่อรุ่นสายอากาศดอล์ฟ-เซบีเชฟ มีคุณลักษณะอยู่ระหว่างก่อรุ่นสายอากาศคงรูปกับก่อรุ่นสายอากาศในโนเมียล

#### 4.2 ข้อเสนอแนะ

เนื่องจากการวิเคราะห์ก่อรุ่นสายอากาศในโครงงานนี้เป็นเพียงการวิเคราะห์ทางคณิตศาสตร์ ซึ่งเป็นการจำลองทางทฤษฎีเท่านั้น ในการใช้งานจริงอาจมีปัจจัยภายนอกเข้ามาเกี่ยวข้อง เช่น ภูมิอากาศ สภาพแวดล้อมและปัจจัยอื่นๆ ที่อาจทำให้ผลการวิเคราะห์ที่มีความคลาดเคลื่อนไปบ้าง หากต้องการที่จะให้ข้อมูลเกี่ยวกับสมรรถนะของปฎิบัติงาน ได้ไกด์เกี่ยวกับความจริงมากที่สุด ก็สามารถทำได้โดยการวัดและทดสอบใน實驗室

## เอกสารอ้างอิง

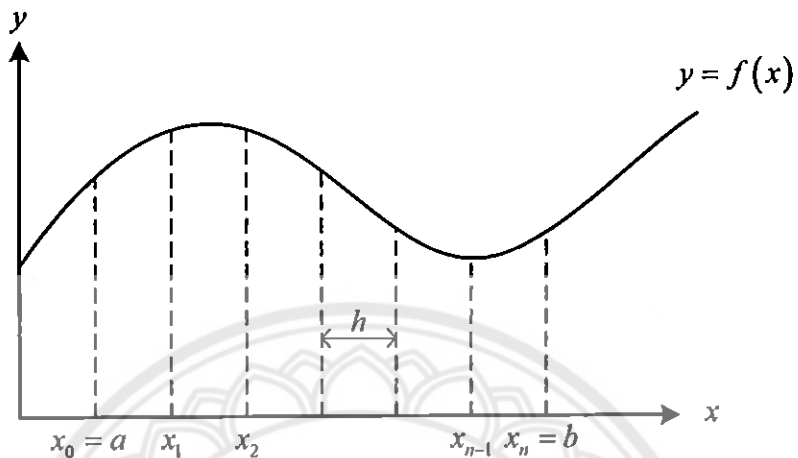
- [1] Constantine A. Balanis. **Antenna Theory Analysis and Design.** 2<sup>nd</sup> Ed .,United States of America : John Wiley & Sons , Inc.1997.
- [2] J. S. Stone, United States Patents No. 1,643,323 and No. 1,715,433.
- [3] C. L. Dolph, "A Current Distribution for broadside Array Which Optimizes the Relationship Between Beamwidth and Side-Lobe Level," Proc.IRE and Waves and Electrons,June 1946
- [4] L. J. Ricardi, "Radiation Properties of the Binomial Array," Microwave Journal,Vol. 15, No. 12, December 1972, pp. 20-21.
- [5] R. S. Elliott, "Beamwidth and Directivity of Large Scanning Arrays," First of Two Parts,The microwave Journal,December 1963 , pp. 53-60
- [6] ผู้รับสอน ไวยาพัฒน์ ภารวิเคราะห์สายอาชีว. พิมพ์ครั้งที่1. กรุงเทพมหานคร : สำนักพิมพ์แห่งจุฬาลงกรณ์มหาวิทยาลัย. 2547.





## ภาคผนวก (ก)

### การอินทิเกรตเชิงตัวเลขโดยใช้กฎสี่เหลี่ยมคางหมู



รูปที่ ก.1 การแบ่งช่วงของการอินทิเกรตแบบสี่เหลี่ยมคางหมู

จากข้อ ก.1 ค่าอินทิเกรต  $f(x)$  ในช่วง  $a \leq x \leq b$  หาได้โดยการแบ่งพื้นที่การอินทิเกรตทั้งหมดออกเป็น  $n$  ช่วงเริ่มต้นแต่ ช่วง  $x_0 \leq x \leq x_1, x_1 \leq x \leq x_2, \dots, x_{n-1} \leq x \leq x_n$  สามารถเขียนได้ดังสมการ (ก.1)

$$\int_a^b f(x) dx = \int_{x_0}^{x_1} f(x) dx + \int_x^{x_2} f(x) dx + \dots + \int_{x_{n-1}}^{x_n} f(x) dx \quad (\text{ก.1})$$

จากนั้นประมาณค่าวิญญาณที่ต้องการให้บวกกันและหาค่าผลรวมของพื้นที่สี่เหลี่ยมบ่ายในช่วง  $a$  ถึง  $b$  ได้ดังสมการ (ก.2)

$$\begin{aligned} \int_a^b f(x) dx &= \int_{x_0}^{x_1} f(x) dx + \int_x^{x_2} f(x) dx + \dots + \int_{x_{n-1}}^{x_n} f(x) dx \\ &= \frac{h}{2} [(f(x_0) + f(x_1)) + (f(x_1) + f(x_2)) + \dots + (f(x_{n-1}) + f(x_n))] \end{aligned} \quad (\text{ก.2})$$

$$h = \frac{b-a}{n} \quad (\text{ก.3})$$

เมื่อ  $n$  เป็นจำนวนเต็ม ใช้แทนจำนวนช่วงที่แบ่ง

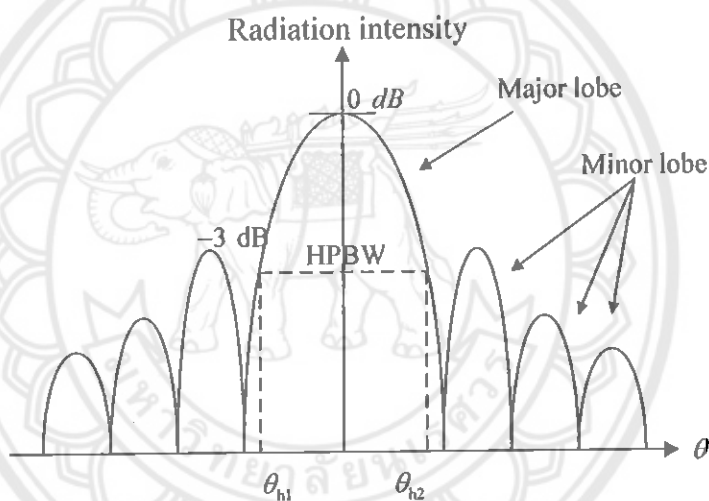
## ภาคผนวก (ข)

### ความกว้างลำคลื่นเครื่องกำลัง

ความกว้างลำคลื่นเป็นค่าที่มีผลต่อการพิจารณาความสามารถในการกำหนดรายละเอียดการตรวจวัดข้อมูลในการสำรวจข้อมูลจากกระยะไกล หรือพื้นที่ครอบคลุมของลำสัญญาณในการให้บริการ การสื่อสารผ่านดาวเทียม เป็นต้น [6] ความกว้างลำคลื่นสามารถหาได้ทางวิธีดังนี้

#### ข.1 การหาค่าความกว้างลำคลื่นเครื่องกำลัง จากแบบรูปการแผ่นลังงานของสายอากาศ

ความกว้างลำคลื่นเครื่องกำลังสามารถพิจารณาได้จากขนาดเชิงมุมของพูหลักษ์ที่วัดตรงช่วงระหว่างตำแหน่งที่กำลังกลืนคลื่นเป็นครึ่งหนึ่งของกำลังสูงสุด (-3dB) ดังรูปที่ ข.1



รูปที่ ข.1 แบบรูปการแผ่นลังงานของสายอากาศในระบบพิกัดฉาก

เมื่อกำหนดให้มุมที่เกิดขึ้นระหว่างตำแหน่งที่กำลังกลืนคลื่นเป็นครึ่งหนึ่งของกำลังสูงสุดเป็น  $\theta_{h1}$  และ  $\theta_{h2}$  จะสามารถหาความกว้างลำคลื่นเครื่องกำลังได้ดังนี้

$$HPBW = \theta_{h2} - \theta_{h1} \quad (\text{ข.1})$$

## ข.2 ความกว้างลำคลื่นครึ่งกำลังของกลุ่มสายอากาศในโนเมียลโดยวิธีของ Ricardi [4]

Ricardi ได้เสนอสูตรการหาความกว้างลำคลื่นครึ่งกำลังของกลุ่มสายอากาศในโนเมียลที่ระบุห่างระหว่างอีลีเมนต์เท่ากับ  $\lambda/2$  ไว้ดังนี้

$$HPBW(d = \lambda/2) = \frac{1.06}{\sqrt{N-1}} = \frac{1.06}{\sqrt{2L/\lambda}} = \frac{0.75}{\sqrt{L/\lambda}} \quad (\text{ข.2})$$

เมื่อ

$N$  คือ จำนวนอีลีเมนต์

$L$  คือ ความยาวสายอากาศ

## ข.3 ความกว้างลำคลื่นครึ่งกำลังของกลุ่มสายอากาศ ดอล์ฟ-เซบีเชฟโดยวิธีของ Elliott [5]

Elliott ได้เสนอวิธีหาความกว้างลำคลื่นครึ่งกำลังของกลุ่มสายอากาศดอล์ฟ-เซบีเชฟ โดยหาจาก การพิจารณาตัวประกอบส่วนกว้างลำคลื่น ซึ่งมีขั้นตอนดังนี้

- 1.เปลี่ยนรูประดับพูข้างจากเดซิเบลเป็นอัตราแรงดัน (voltage ratio) ดังนี้

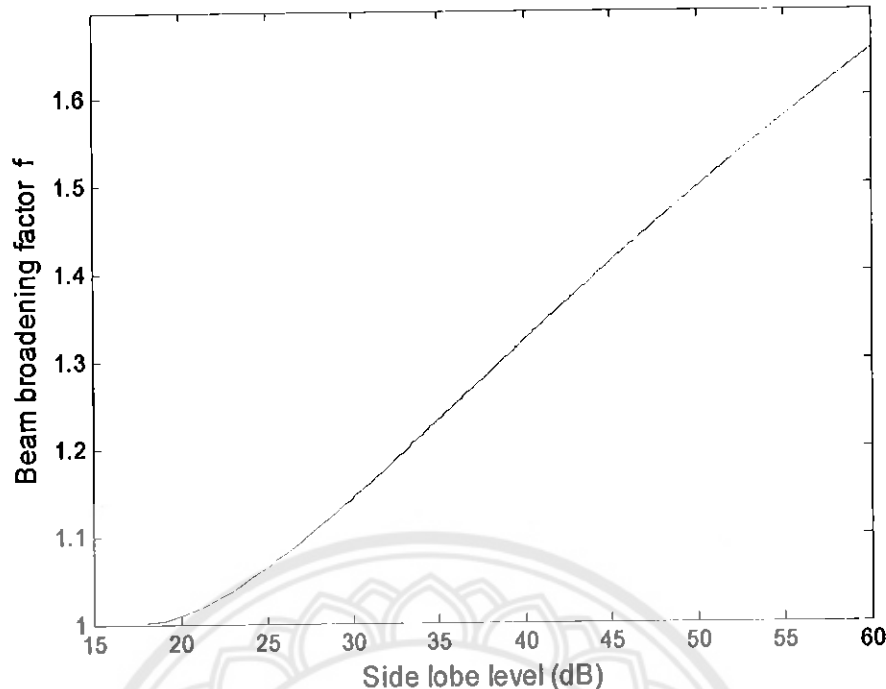
$$R_0(Voltage\ Ratio) = [R_0(VR)] = 10^{R_0(dB)/20} \quad (\text{ข.3})$$

$R_0$  คือ อัตราแรงดันของพูหลักต่อพูข้าง

2. หาตัวประกอบส่วนความกว้างลำคลื่น( beam broadening factor ( $f$ ) ) ซึ่งประมาณได้จากวิธีของ Elliott ดังนี้

$$f = 1 + 0.636 \left\{ \frac{2}{R_0} \cosh \left[ \sqrt{\left( \cosh^{-1} R_0 \right)^2 - \pi^2} \right] \right\}^2 \quad (\text{ข.4})$$

หรือหาได้จากการพิจารณาราฟในรูปที่ ข.2 เมื่อทราบค่า  $R_0$



รูปที่ 4.2 ตัวประกอบส่วนกว้างลำคลื่นของกลุ่มสาขอากาศดอล์ฟ- เชบีเชฟ

### 3. คำนวณหาความกว้างลำคลื่นของกลุ่มสาขอากาศรูป โดยสมการดังนี้

$$\Theta_h = \cos^{-1} \left[ \cos \theta_0 - 0.443 \frac{\lambda}{(L+d)} \right] - \cos^{-1} \left[ \cos \theta_0 + 0.443 \frac{\lambda}{(L+d)} \right] \quad (4.5)$$

เมื่อ  $L$  คือ ความยาวของกลุ่มสาขอากาศ

$\theta_0$  คือ มุมที่มีความเบี้ยวของการแผ่พลังงานสูงสุด

### 4. หากความกว้างลำคลื่นครึ่งกำลังของ กลุ่มสาขอากาศ ดอล์ฟ- เชบีเชฟ โดยฐานความกว้างลำคลื่นครึ่งกำลังของกลุ่มสาขอากาศรูปในขั้นตอนที่ 3 ด้วย ตัวประกอบส่วนกว้างลำคลื่น ( $f$ ) ที่ได้จากขั้นตอนที่ 2. สามารถเขียนได้ดังนี้

$$HPBW_{DCA} = \Theta_h \times f \quad (4.6)$$

## ภาคผนวก (ค)

### สภาพเจาะจงทิศทาง

สภาพเจาะจงทิศทางเป็นค่าที่ปัจบุณอกความสามารถใช้ทิศทางของสายอากาศ ซึ่ง  
สภาพเจาะจงทิศทางสูงสุดสามารถหาได้จากวิธีดังต่อไปนี้

#### ค.1 สภาพเจาะจงทิศทางสูงสุดที่ได้จากแบบรูปการแผ่พลังงานของสายอากาศ

$$D = \frac{U(\theta, \phi)}{U_0} = \frac{4\pi U(\theta, \phi)}{P_{rad}} \quad (\text{ค.1})$$

$$D_{\max} = \frac{U(\theta, \phi)_{\max}}{U_0} = \frac{U(\theta, \phi)_{\max}}{U_0} = \frac{4\pi U(\theta, \phi)_{\max}}{P_{rad}} \quad (\text{ค.2})$$

เมื่อ

$D$	คือ สภาพเจาะจงทิศทาง (dimensionless)
$D_{\max}$	คือ สภาพเจาะจงทิศทางสูงสุด (dimensionless)
$U$	คือ ความเข้มของการแผ่รังสี (W / unit solid angle)
$U_{\max}$	คือ ความเข้มของการแผ่รังสีสูงสุด (W / unit solid angle)
$U_0$	คือ ความเข้มของการแผ่รังสีของแหล่งกำเนิด ไอโซทรอนิก (W / unit solid angle)
$P_{rad}$	คือ การแผ่กระจายกำลังคลื่นทั้งหมด (W)

เมื่อ

$$P_{rad} = \int_{\phi=0}^{2\pi} \int_{\theta=0}^{\pi} U(\theta, \phi) \sin \theta d\theta d\phi \quad (\text{ค.3})$$

และ

$$U(\theta, \phi) = [(AF)_n]^2 \quad (\text{ค.4})$$

จะได้

$$U(\theta, \phi)_{\max} = [(AF)_n]_{\max}^2 \quad (\text{ค.5})$$

ดังนั้น

$$D_{\max} = \frac{4\pi U(\theta, \phi)_{\max}}{P_{rad}} = \frac{4\pi [(AF)_n]^2_{\max}}{\int_{\phi=0}^{2\pi} \int_{\theta=0}^{\pi} U(\theta, \phi) \sin \theta d\theta d\phi} = \frac{4\pi [(AF)_n]^2_{\max}}{2\pi \int_{\theta=0}^{\pi} [(AF)_n]^2 \sin \theta d\theta} \quad (\text{k.6})$$

จะได้สมการสภาพเจาะจงทิศทางสูงสุดเป็น

$$D_{\max} = \frac{2 [(AF)_n]^2_{\max}}{\int_{\theta=0}^{\pi} [(AF)_n]^2 \sin \theta d\theta} \quad (\text{k.7})$$

จากพจน์ของ  $\int_{\theta=0}^{\pi} [(AF)_n]^2 \sin \theta d\theta$  เมื่อเทียบกับสมการ (k.2) เราจะให้

$$f(x_n) = [(AF)_n]^2 \sin \theta$$

ค่าของเบต้าการอินทริเกรตต่างและบันเป็น  $a = 0$  และ  $b = \pi$  ตามลำดับ เมื่อแบ่งสี่เหลี่ยมคงทุมออกเป็น 180 ช่วง จะได้ค่า  $h$  ในสมการ (k.3) เป็น  $h = \frac{\pi}{180}$  ดังนั้นพจน์  $\int_{\theta=0}^{\pi} [(AF)_n]^2 \sin \theta d\theta$  สามารถหาค่าได้โดยใช้การอินทริเกรตค่วยพื้นที่สี่เหลี่ยมคงทุมแบบหลายช่วงดังรูป (ก.1)

## ค.2 สภาพเจาะจงทิศทางสูงสุดสำหรับกลุ่มสายอากาศในโนเมียลโดยวิธีของ Ricardi [4]

Ricardi ได้เสนอสูตรการหาสภาพเจาะจงทิศทางสูงสุดของกลุ่มสายอากาศในโนเมียล ที่ระบะห่างระหว่างอีเมนต์เท่ากับ  $\lambda/2$  ไว้ดังนี้

$$D_{\max} = \frac{2}{\int_0^{\pi} \left[ \cos \left[ \frac{\pi}{2} \cos \theta \right] \right]^{2(n-1)} \sin \theta d\theta} \quad (\text{k.8})$$

$$D_{\max} = \frac{(2N-2)(2N-4)...2}{(2N-3)(2N-5)...1} \quad (\text{k.9})$$

$$D_{\max} = 1.17\sqrt{N} = 1.77\sqrt{1+2L/\lambda} \quad (\text{k.10})$$

$N$  คือ จำนวนอีเมนต์

$L$  คือ ความยาวสายอากาศ

**ค.3 สภาพเฉพาะของทิศทางสูงสุดสำหรับกลุ่มสายอากาศ ดอล์ฟ-เชบีเชฟโดยวิธีของ Elliott[5]**  
**Elliott ได้เสนอวิธีทางสภาพเฉพาะของทิศทางของกลุ่มสายอากาศดอล์ฟ-เชบีเชฟไว้ดังนี้**

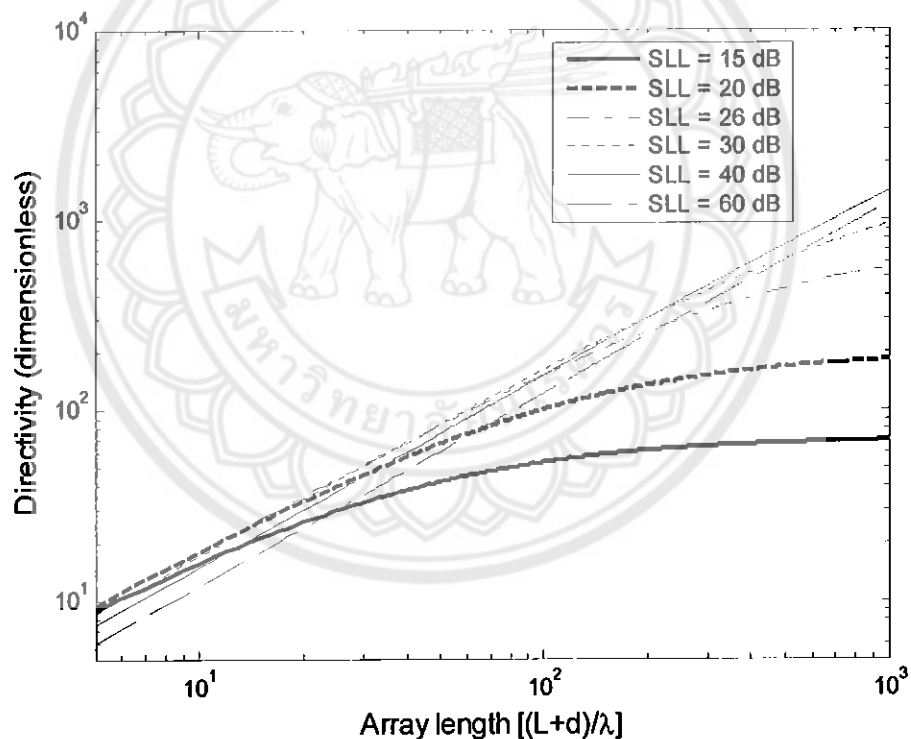
$$D_{\max} = \frac{2R_0^2}{1 + (R_0^2 - 1)f \frac{\lambda}{(L+d)}} \quad (\text{ค.11})$$

$f$  คือ ตัวประกอบส่วนกว้างลำก้าน(Beam Broadening Factor) หากจากสมการ (ข.4)

$R_0$  คือ ระดับพูเข้า (อัตราแรงดันของพูหลักต่อพูเข้าในรูปไม่มีหน่วย)

$L+d$  คือ ความยาวสายอากาศ ( $N \times d$ )

เมื่อกำหนดความยาวของสายอากาศหรือกำหนดจำนวนจานวนอีกmenต์ของกลุ่มสายอากาศ สภาพเฉพาะของทิศทางของกลุ่มสายอากาศดอล์ฟ-เชบีเชฟจะสามารถหาได้โดยพิจารณาจากรูป ค.1



รูปที่ ค.1 สภาพเฉพาะของทิศทางของ กลุ่มสายอากาศดอล์ฟ- เชบีเชฟเทียบกับความยาวสายอากาศ

#### ค.4 สภาพเจาะจงทิศทางสำหรับสายอากาศขั้วคู่

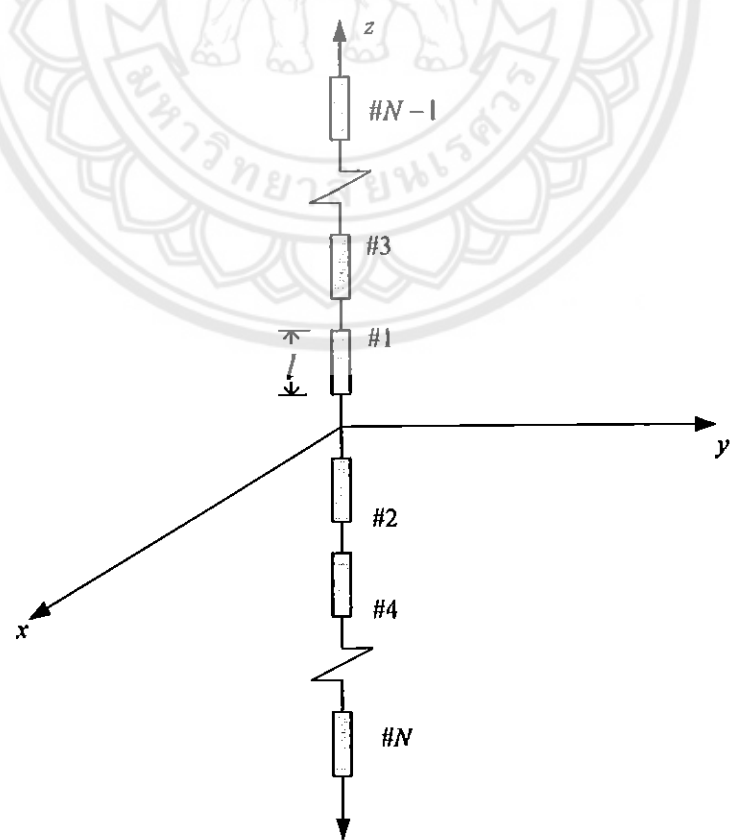
สภาพเจาะจงทิศทางของสายอากาศขั้วคู่สามารถพิจารณาจากส่วนไฟฟ้าของสายอากาศ ซึ่งมาจากสมการดังนี้[1]

$$E_\theta = j\eta \frac{I_0 e^{-jkr}}{2\pi r} \left[ \frac{\cos\left(\frac{kl}{2}\cos\theta\right) - \cos\left(\frac{kl}{2}\right)}{\sin\theta} \right] \quad (\text{ค.12})$$

ที่ตำแหน่งของสายอากาศขั้วคู่ครึ่งความยาวคลื่น ( $l = \frac{\lambda}{2}$ ) จะได้ส่วนไฟฟ้าดังนี้

$$E_\theta = j\eta \frac{I_0 e^{-jkr}}{2\pi r} \left[ \frac{\cos\left(\frac{\pi}{2}\cos\theta\right)}{\sin\theta} \right] \quad (\text{ค.13})$$

เมื่อนำสายอากาศขั้วคู่มาเรียงกันเป็นกลุ่มสายอากาศได้ดังรูป ค.2



รูปที่ ค.2 การจัดเรียงสายอากาศขั้วคู่เป็นกลุ่มสายอากาศ

จากข้อ **ค.2** เมื่อนำสาขอาอากาศขึ้นมาจัดเรียงกันเป็นกลุ่มสาขอาอากาศจะได้สมการของสนามไฟฟ้าดังนี้

$$E_\theta = j\eta \frac{I_0 e^{-jkr}}{2\pi r} \left[ \frac{\cos\left(\frac{\pi}{2}\cos\theta\right)}{\sin\theta} \right] [AF] \quad (\text{ค.14})$$

จากสมการ (ค.14) พจน์ของตัวประกอบกลุ่มสาขอาอากาศ ( $AF$ ) จะขึ้นอยู่กับชนิดของกลุ่มสาขอาอากาศ

ความเข้มการแผ่กระจายเคลื่อนที่ ( $W_{av}$ ) สามารถหาได้จากสมการ (ค.15) ดังนี้

$$W_{av} = \frac{1}{2\eta} |E_\theta|^2 = \eta \frac{|I_0|^2}{8\pi^2 r^2} \left[ \frac{\cos\left(\frac{\pi}{2}\cos\theta\right)}{\sin\theta} \right]^2 [AF]^2 \quad (\text{ค.15})$$

เมื่อ

$$U = r^2 W_{av} = \eta \frac{|I_0|^2}{8\pi^2} \left[ \frac{\cos\left(\frac{\pi}{2}\cos\theta\right)}{\sin\theta} \right]^2 [AF]^2 \quad (\text{ค.16})$$

และ

$$P_{rad} = \int_{\phi=0}^{2\pi} \int_{\theta=0}^{\pi} U \sin\theta d\theta d\phi = 2\pi \frac{\eta |I_0|^2}{8\pi^2} \int_0^{\pi} \left[ \frac{\cos\left(\frac{\pi}{2}\cos\theta\right)}{\sin\theta} \right]^2 [AF]^2 d\theta \quad (\text{ค.17})$$

ดังนั้นส่วนของทิศทางของสาขอาอากาศขึ้นมาที่เป็นไปตามสมการ (ค.18) ดังนี้

$$D = \frac{4\pi U}{P_{rad}} = \frac{2 \left[ \frac{\cos\left(\frac{\pi}{2}\cos\theta\right)}{\sin\theta} \right]^2 [AF]^2}{\int_0^{\pi} \left[ \frac{\cos\left(\frac{\pi}{2}\cos\theta\right)}{\sin\theta} \right]^2 [AF]^2 \sin\theta d\theta} \quad (\text{ค.18})$$

## ภาคผนวก (ง)

### โปรแกรมวิเคราะห์กุญแจสายอากาศ

#### โปรแกรมหาค่า ตัวประกอบกุญแจสายอากาศในโนเมียล

เมื่อจำนวนอีเลเมนต์เป็นคู่ จะสามารถหาตัวประกอบกุญแจสายอากาศ (Array Factor) ได้จากสมการ (2.8ก) และ (2.8ก) ค่าสัมประสิทธิ์การกระดับหน้าได้จากสมการ (2.10) ซึ่งเขียนโปรแกรมได้ดังนี้

```
function array_bi(lambda)%Function array_bi vary by lambda.  
an=[126;84;36;9;1];%Excitation coefficients for 10-element binomial array.  
m=5;%number of isotropic 10 element.  
  
%Find an*cos[(2n-1)u].  
for j=1:180  
    step=pi/180;  
    th=(j-1)*step;  
    for n=1:m  
        temp1=(pi*lambda)*cos(th);  
        temp2=(2*n-1)*temp1;  
        temp3=cos(temp2);  
        temp4=an(n,1)*temp3;  
        temp5(n,1)=temp4;  
    end  
    AF(j,1)=sum(temp5);%Array factor.  
    theta(j,1)=th*180/pi;%Theta in degree.  
end  
AF_log=20*log10(abs(AF));%Array factor for x-y plane plot in dB.  
for j=1:180  
    if AF_log(j,1)>=[-30]  
        a_log(j,1)=AF_log(j,1);  
    else  
        a_log(j,1)=inf;  
    end  
end  
AF1_log=(20*log10(abs(AF))舍不得);%Array factor for polar plot in dB.  
for j=1:180  
    if AF1_log(j,1)>=[0]  
        a1_log(j,1)=AF1_log(j,1);  
    else  
        a1_log(j,1)=0;  
    end  
end  
th1=theta*pi/180;%Find th1 in radians.  
  
%The part of plot graph.  
figure(1)
```

```

plot(theta,a_log,'k-')%Plot in x-y plane.
xlabel('theta in degree')
ylabel('Power in dB')
figure(2)
polar(theta,a1_log,'k-')%Plot in polar.
%%%%%%%%%%%%%%%

```

## โปรแกรมหาค่า ตัวประกอบกลุ่มสายอากาศดอล์ฟ-เซบีเชฟ

เมื่อจำนวนอิเลเมนต์เป็นคู่ ตัวประกอบกกลุ่มสายอากาศดอล์ฟ-เซบีเชฟสามารถหาได้จาก  
สมการ (2.8ก) และ (2.8ข) ซึ่งสัมประสิทธิ์การกระตุ้นของกกลุ่มสายอากาศดอล์ฟ-เซบีเชฟขึ้นอยู่กับ  
ระดับพูซ้าง (SLL) ซึ่งเขียนโปรแกรมได้ดังนี้

```

function array_dolp(sll,l)%Function array_dolp vary by side lobe level(sll) and l.
SLL_di=(10^((sll)/20));%The side lobe level in dB translate to dimensionless.
Z0=cosh((1/9)*acosh(SLL_di));%Find Z0.

%Find excitation coefficients.
a5=Z0^9;
a4=(-576.*((Z0^7))+(576*(a5)))./64;
a3=((432.*((Z0)^5)-(432*a5)+(112*a4))./16;
a2=(((-120.*((Z0)^3)+(120*(a5))-(56*(a4))+(20*(a3)))./4;
a1=((9*((Z0))-(9*(a5))+(7*(a4))-(5.*(a3))+(3.*(a2)));
a5_normal=a5/a5;
a4_normal=a4/a5;
a3_normal=a3/a5;
a2_normal=a2/a5;
a1_normal=a1/a5;
an=[a1_normal;a2_normal;a3_normal;a4_normal;a5_normal];
an1=an;
[m,c]=size(an1);
for j=1:180
    step=pi/180;
    th=(j-1)*step;
    for n=1:m
        temp1=(pi*l)*cos(th);
        temp2=(2*n-1)*temp1;
        temp3=cos(temp2);
        temp4=an1(n,1)*temp3;
        temp5(n,1)=temp4;
    end
    AF(j,1)=sum(temp5);%Array factor.
    theta(j,1)=th*180/pi; %Theta indegree.
end
AF_log=20*log10(abs(AF));%Array factor for x-y plot in dB.
for j=1:180
    if AF_log(j,1)>=[-30]
        a_log(j,1)=AF_log(j,1);
    end
end

```

```

    else
        a_log(j,1)=inf;
    end
end
AF1_log=20+(20*log10(abs(AF)));%Array factor for polar plot in dB.
for j=1:180
    if AF1_log(j,1)>=[0]
        a1_log(j,1)=AF1_log(j,1);
    else
        a1_log(j,1)=0;
    end
end
th1=theta*pi/180;%Theta for polar plot.

%The part of plot graph.
figure(1)
plot(theta,a_log,'k-')%Plot in x-y plane.
xlabel('theta in degree')
ylabel('Power in dB')
figure(2)
polar(th1,a1_log,'k-')%Plot in polar.
%%%%%%%

```

### โปรแกรมหาค่าความกว้างลำคลื่นครึ่งกำลัง (HPBW) ของกลุ่มสายอากาศในโน้มeyer

ค่าความกว้างลำคลื่นครึ่งกำลัง ( HPBW ) ก็คือมุมที่เกิดขึ้นในระหว่างตำแหน่งที่กำลังคลื่นลดลงเป็นครึ่งหนึ่งของกำลังสูงสุด (-3dB) หรือมีค่าเป็น 0.707 ของการแผ่กระจายขนาดสนามสูงสุด และในข้อนี้จะใช้มุมที่เกิดขึ้นระหว่าง 0.707 ของขนาดตัวประกอบกลุ่มสายอากาศ (AF) ดังนั้นจะต้องหาค่าของตัวประกอบกลุ่มสายอากาศก่อนแล้วนำค่าที่ได้ไปคูณกับค่า 0.707 ซึ่งสัมประสิทธิ์การกระจายตัวจะได้จากการกระจายอนุกรมใบโน้มeyerดังสมการ (2.10) ซึ่งสามารถเขียนโปรแกรมหาค่าต่อไปนี้ได้ดังนี้

```

function hbi(lambda) %Function hbi vary by lambda.
an=[126;84;36;9;1];%Excitation coefficients for 10-element binomial array .
m=5;%number of isotropic 10 element.

% Find an*cos[(2n-1)u]
for j=1:180
    step=pi/180;
    th=(j-1)*step;
    for n=1:m
        temp1=(lambda*pi)*cos(th);
        temp2=(2*n-1)*temp1;
        temp3=cos(temp2);
        temp4=an(n,1)*temp3;
        temp5(n,1)=temp4;
    end

```

```

AF(j,1)=sum(temp5);%Array factor .
theta(j,1)=th*180/pi; %Theta in degree.
end
AF_log=20*log10(abs(AF));%Array factor in dB

%Find the HPBW
AF_HPBW=max(AF).*0.707;%-3 dB beamwith.
for j=1:180
    if AF(j,1)==max(AF)
        theta_AFmax=theta(j,1);
    end
end
for j=1:180
    if (AF(j,1))<AF_HPBW
        if theta(j,1)<theta_AFmax
            theta11=theta(j,1);
            theta12=theta(j+1,1);
            af11=AF(j,1);
            af12=AF(j+1,1);
        end
        end
    end
    for j=1:180
        if (AF(j,1))<AF_HPBW
            if theta(j,1)>theta_AFmax
                theta22=theta(j-1,1);
                theta21=theta(j,1);
                af22=AF(j-1,1);
                af21=AF(j,1);
                break
            end
        end
    end
    zeta1=theta11+(((AF_HPBW-af11)/(af12-af11))*(theta12-theta11));
    zeta2=theta21+(((AF_HPBW-af21)/(af22-af21))*(theta22-theta21));
    HPBW=zeta2-zeta1%Half power beamwidth of binomial array.
%%%%%%%%%%%%%

```

## โปรแกรมหาค่าความกว้างของลำคลื่นครึ่งกำลัง ( HPBW ) ของกลุ่มสายอากาศดอฟเฟอร์เบี๊ยฟ

การหาค่าความกว้างของลำคลื่นครึ่งกำลัง ( HPBW ) ของกลุ่มสายอากาศดอฟเฟอร์เบี๊ยฟ มีวิธีหาคล้ายกับกลุ่มสายอากาศในโน้มือลแต่ค่าสัมประสิทธิ์การกระจายตัวของกลุ่มสายอากาศดอฟเฟอร์เบี๊ยฟจะขึ้นอยู่กับระดับพูช้าง ( SLL ) ด้วย ซึ่งสามารถเขียนโปรแกรมได้ดังนี้

```

function hdolp(sll,l)%Function hdolp vary by sll and l
SLL_di=(10^((sll)/20));%Find SLL in dimensionless.
Z0=cosh((1/9)*acosh(SLL_di));%Find Z0

```

```

%Find excitation coefficients.
a5=Z0^9;
a4=(( -576.* (Z0^7))+(576*(a5)))./64;
a3=((432.* (Z0)^5)-(432*a5)+(112*a4))./16;
a2=(( -120.* (Z0)^3)+(120*(a5))-(56*(a4))+(20*(a3)))./4;
a1=((9*(Z0))-(9*(a5))+(7*(a4))-(5.*(a3))+(3.*(a2)));
a5_normal=a5/a5;
a4_normal=a4/a5;
a3_normal=a3/a5;
a2_normal=a2/a5;
a1_normal=a1/a5;

an=[a1_normal;a2_normal;a3_normal;a4_normal;a5_normal];%Excitation
coefficients
an1=an;
[m,c]=size(an1);

% Find an*cos[(2n-1)u]
for j=1:180
    step=pi/180;
    th=(j-1)*step;
    for n=1:m
        temp1=(pi*n)*cos(th);
        temp2=(2*n-1)*temp1;
        temp3=cos(temp2);
        temp4=an1(n,1)*temp3;
        temp5(n,1)=temp4;
    end
    AF(j,1)=sum(temp5);%Array factor.
    theta(j,1)=th*180/pi; %Theta in degree.
end
AF_log=20*log10(abs(AF));%Find array factor in dB

%find the HPBW.
AF_HPBW=max(AF).*0.707;
for j=1:180
    if AF(j,1)==max(AF)
        theta_AFmax=theta(j,1);
    end
end
for j=1:180
    if AF(j,1)<AF_HPBW
        if theta(j,1)<theta_AFmax
            theta11=theta(j,1);
            theta12=theta(j+1,1);
            af11=AF(j,1);
            af12=AF(j+1,1);
        end
    end
end

```

```

for j=1:180
    if AF(j,1)<AF_HPBW
        if theta(j,1)>theta_AFmax
            theta22=theta(j-1,1);
            theta21=theta(j,1);
            af22=AF(j-1,1);
            af21=AF(j,1);
            break
        end
    end
end
zeta1=theta11+(((AF_HPBW-af11)/(af12-af11))*(theta12-theta11));
zeta2=theta21+(((AF_HPBW-af21)/(af22-af21))*(theta22-theta21));
HPBW=zeta2-zeta1%Half power beamwidth of Dolp-Tschebyscheff array.
%%%%%%%%%%%%%%%

```

โปรแกรมหาสภาพเฉพาะจังทิศทางสูงสุด ( $D_{\max}$ ) ของกลุ่มสายอากาศในโน้มียต  
สภาพเฉพาะจังทิศทางสูงสุด ของกลุ่มสายอากาศในโน้มียตสามารถหาได้จากสมการ (ค.7) ซึ่งเขียน  
โปรแกรมได้ดังนี้

```

function direc_bi(lambda) %Function direc_bi vary by lambda.
an=[126;84;36;9;1];%Excitation coefficients for 10-element binomial array .
m=5;%number of isotropic 10 element
% Find an*cos[(2n-1)u]
for j=1:180
    step=pi/180;
    th=(j-1)*step;
    for n=1:m
        temp1=(pi*lambda)*cos(th);
        temp2=(2*n-1)*temp1;
        temp3=cos(temp2);
        temp4=an(n,1)*temp3;
        temp5(n,1)=temp4;
    end
    AF(j,1)=sum(temp5);%Array factor.
    theta(j,1)=th*180/pi; %Theta in degree.
end
AF_POWER2=abs(AF).^2;
for j=1:179
    i=j+1;
    sin_zeta(j,1)=sin(j*pi/180);
    af_POWER2(j,1)=AF_POWER2(j,1)+AF_POWER2(i,1);
end
af=0.5*af_POWER2.*sin_zeta.*pi/180;
a=sum(af);

%Find the maximum directivity(Dmax)

```

```

D=(AF_POWER2)*2/a;
D_log=10*log10(abs(D));
for j=1:180
    if (D_log(j,1)>=-30)
        D_dB(j,1)=D_log(j,1);
    else
        D_dB(j,1)=-inf;
    end
end
Dmax=max(D);
Dmax_dB=10*log10(Dmax)%Maximum directivity in dB.

%The part of plot graph .
plot(theta,D_dB,'k-')
xlabel('theta in degree')
ylabel('Directivity in dB')

%%%%%%%%%%%%%%%

```

โปรแกรมหาสภาพเจาะจงทิศทางสูงสุด ( $D_{\max}$ ) ของกลุ่มสายอากาศ คอล์ฟ-เซนีเฟฟ  
สภาพเจาะจงทิศทางสูงสุดของกลุ่มสายอากาศคอล์ฟ-เซนีเฟฟหาได้จากสมการ (ค.11) และ<sup>1</sup>  
สัมประสิทธิ์การกระตุ้นของกลุ่มสายอากาศคอล์ฟ-เซนีเฟฟจะขึ้นอยู่กับระดับพูน้ำ (SLL) ซึ่ง  
สามารถเขียนโปรแกรมได้ดังนี้

```

function direc_dolp(sll,l)%Function direc_dolp vary by sll and l
    SLL_di=(10^((sll)/20));%Find SLL in dimensionless
    Z0=cosh((1/9)*acosh(SLL_di));%Find Z0
    a5=Z0^9;
    a4=(-576.*((Z0^7))+(576*(a5)))./64;
    a3=((432.*((Z0)^5)-(432*a5)+(112*a4))./16;
    a2=(((-120.*((Z0)^3)+(120*(a5))-(56*(a4))+(20*(a3)))./4;
    a1=((9*((Z0))-(9*(a5))+(7*(a4))-(5.*(a3))+(3.*(a2)));
    a5_normal=a5/a5;
    a4_normal=a4/a5;
    a3_normal=a3/a5;
    a2_normal=a2/a5;
    a1_normal=a1/a5;
    an=[a1_normal;a2_normal;a3_normal;a4_normal;a5_normal];%Excitation
coefficients
    an1=an;
    [m,c]=size(an1);

% Find an*cos[(2n-1)u]
for j=1:180
    step=pi/180;
    th=(j-1)*step;
    for n=1:m

```

```

temp1=(pi*l)*cos(th);
temp2=(2*n-1)*temp1;
temp3=cos(temp2);
temp4=an1(n,1)*temp3;
temp5(n,1)=temp4;
end

AF1(j,1)=sum(temp5);%Array factor.
theta(j,1)=th*180/pi; %Theta in degree.
end
AF_POWER2=abs(AF1).^2;
for j=1:179
    i=j+1;
    sin_zeta(j,1)=sin(j*pi/180);
    af_POWER2(j,1)=AF_POWER2(j,1)+AF_POWER2(i,1);
end
af=0.5*af_POWER2.*sin_zeta.*pi/180;
a=sum(af);
D=(AF_POWER2)^2/a;
D_log=(10*log10(abs(D)));
for j=1:180
    if (D_log(j,1)>=-30)
        D_dB(j,1)=D_log(j,1);
    else
        D_dB(j,1)=-inf;
    end
end
Dmax=max(D)
Dmax_dB=10*log10(Dmax) %Maximum directivity in dB.

%The part of plot graph.
plot(theta,D_dB,'k')
xlabel('theta in degree')
ylabel('Directivity in dB')
%%%%%%%%%%%%%%%

```

โปรแกรมหาสภาพเจาะจงทิศทางของสายอากาศขั้วคู่ที่นำมาจัดเรียงกันแบบไม่โน้มีดล เมื่อนำสายอากาศขั้วคู่ 10 อิเล็มเม้นต์มาจัดเรียงกันเป็นกลุ่มสายอากาศในโน้มีดล สภาพเจาะจงทิศทางสามารถหาได้จากสมการ (ค.20) โดยเขียนโปรแกรมได้ดังนี้

```

clear all
close all
clc
an=[126;84;36;9;1];%excitation coefficients.
m=5;%even number of isotropic element.
for j=1:180
    step=pi/180;
    th(j,1)=(j-1)*step;

```

```

if th(j,1)==0
    E(j,1)=0;
else
    E(j,1)=((cos((pi/2)*cos(th(j,1))))./sin(th(j,1))).^2;
end
end
for j=1:180
    step=pi/180;
    th=(j-1)*step;
    for n=1:m
        temp1=(pi/2)*cos(th);
        temp2=(2*n-1)*temp1;
        temp3=cos(temp2);
        temp4=an(n,1)*temp3;
        temp5(n,1)=temp4;
    end
    AF(j,1)=sum(temp5);%Array factor.
    theta(j,1)=th*180/pi; %Theta in degree.
end

%Find the directivity of AF.
AF_dB=20*log10(AF);
for j=1:180
    if AF_dB(j,1)<0
        AF_dB(j,1)=inf;
    end
end
AF_POWER2=abs(AF).^2;
u_AF=AF_POWER2;
u_Esingle=E;
u_Etotal=E.*AF_POWER2;
%Find to the directivity of AF.
for j=1:179
    i=j+1;
    sin_zeta(j,1)=sin(j*pi/180);
    U_AF(j,1)=u_AF(j,1)+u_AF(i,1);
end
P_rad=0.5*U_AF.*sin_zeta.*pi/180;
P=sum(P_rad);
D_AF=u_AF.^2/P;
D_AF_dB=10*log10(D_AF);
for j=1:180
    if D_AF_dB(j,1)<0
        D_AF_dB(j,1)=inf;
    end
end

%Find the directivity of E single element.
for j=1:179
    i=j+1;

```

```

sin_zeta(j,1)=sin(j*pi/180);
U_Esingle(j,1)=u_Esingle(j,1)+u_Esingle(i,1);
end
P_rad=0.5*U_Esingle.*sin_zeta.*pi/180;
P=sum(P_rad);
D_Esingle=u_Esingle*2/P;
D_Esingle_dB=10*log10(D_Esingle);
for j=1:180
    if D_Esingle_dB(j,1)<0
        D_Esingle_dB(j,1)=inf;
    end
end
for j=1:179
    i=j+1;
    sin_zeta(j,1)=sin(j*pi/180);
    U_Etotal(j,1)=u_Etotal(j,1)+u_Etotal(i,1);
end
P_rad=0.5*U_Etotal.*sin_zeta.*pi/180;
P=sum(P_rad);
D_Etotal=u_Etotal*2/P;
D_Etotal_dB=10*log10(D_Etotal);
for j=1:180
    if D_Etotal_dB(j,1)<0
        D_Etotal_dB(j,1)=inf;
    end
end
Dmax_AF=max(D_AF);
Dmax_AF_dB=10*log10(Dmax_AF)
Dmax_Esingle=max(D_Esingle);
Dmax_Esingle_dB=10*log10(Dmax_Esingle)
Dmax_Etotal=max(D_Etotal);
Dmax_Etotal_dB=10*log10(Dmax_Etotal) %Maximum directivity of array dipole
with 10 element.

%The part of plot graph.
plot(theta,D_AF_dB,'k:',theta,D_Esingle_dB,'k--',theta,D_Etotal_dB,'k-')
xlabel('theta in degree')
ylabel('Directivity in dB')
legend('Directivity of bonomial Array with 10 element','Directivity of Single
Dipole','Directivity of Array with 10 Dipole')

%%%%%%%%%%%%%%%

```

## โปรแกรมหาสภาพเจาะจงทิศทางของสายอากาศขั้วคู่ที่นำมาจัดเรียงกันแบบคลอส์ฟ-เซบีเชฟ

เมื่อนำสายอากาศขั้วคู่ 10 อิลิเมนต์มาจัดเรียงกันเป็นกลุ่มสายอากาศคลอส์ฟ-เซบีเชฟ สภาพเจาะจงทิศทางสามารถหาได้จากสมการ (ค.20) เมื่อมองกันกับกลุ่มสายอากาศในโโนเมี๊ยด แต่สัมประสิทธิ์การกระตุนจะต่างกัน โดยเห็นได้ดังนี้

```

clear all
close all
clc
an=[2.798;2.496;1.974;1.357;1];%excitation coefficints
m=5;%even number of isotropic element.
for j=1:180
    step=pi/180;
    th(j,1)=(j-1)*step;

    if th(j,1)==0
        E(j,1)=0;
    else
        E(j,1)=((cos((pi/2)*cos(th(j,1))))./sin(th(j,1))).^2;
    end
end
for j=1:180
    step=pi/180;
    th=(j-1)*step;
    for n=1:m
        temp1=(pi/2)*cos(th);
        temp2=(2*n-1)*temp1;
        temp3=cos(temp2);
        temp4=an(n,1)*temp3;
        temp5(n,1)=temp4;
    end
    AF(j,1)=sum(temp5);%Array factor.
    theta(j,1)=th*180/pi;%Theta in degree.
end

%Find of the maximum directivity(Dmax)
AF_dB=20*log10(AF);
for j=1:180
    if AF_dB(j,1)<0
        AF_dB(j,1)=inf;
    end
end
AF_POWER2=abs(AF).^2;
u_AF=AF_POWER2;
u_Esingle=E;
u_Etotal=E.*AF_POWER2;

```

```

%Find the directivity of AF.
for j=1:179
    i=j+1;
    sin_zeta(j,1)=sin(j*pi/180);
    U_AF(j,1)=u_AF(j,1)+u_AF(i,1);
end
P_rad=0.5*U_AF.*sin_zeta.*pi/180;
P=sum(P_rad);
D_AF=u_AF*2/P;
D_AF_dB=10*log10(D_AF);
for j=1:180
    if D_AF_dB(j,1)<0
        D_AF_dB(j,1)=inf;

    end
end

%Find the directivity of E single element.
for j=1:179
    i=j+1;
    sin_zeta(j,1)=sin(j*pi/180);
    U_Esingle(j,1)=u_Esingle(j,1)+u_Esingle(i,1);
end
P_rad=0.5*U_Esingle.*sin_zeta.*pi/180;
P=sum(P_rad);
D_Esingle=u_Esingle*2/P;
D_Esingle_dB=10*log10(D_Esingle);
for j=1:180
    if D_Esingle_dB(j,1)<0
        D_Esingle_dB(j,1)=inf;
    end
end

%Find the directivity of array dipole with 10 element..
for j=1:179
    i=j+1;
    sin_zeta(j,1)=sin(j*pi/180);
    U_Etotal(j,1)=u_Etotal(j,1)+u_Etotal(i,1);
end
P_rad=0.5*U_Etotal.*sin_zeta.*pi/180;
P=sum(P_rad);
D_Etotal=u_Etotal*2/P;
D_Etotal_dB=10*log10(D_Etotal);
for j=1:180
    if D_Etotal_dB(j,1)<0
        D_Etotal_dB(j,1)=inf;
    end
end
Dmax_AF=max(D_AF);
Dmax_AF_dB=10*log10(Dmax_AF)

```

```

Dmax_Esingle=max(D_Esingle);
Dmax_Esingle_dB=10*log10(Dmax_Esingle) %Maximum directivity of E single
%element.

Dmax_Etotal=max(D_Etotal);
Dmax_Etotal_dB=10*log10(Dmax_Etotal) %Directivity of array dipole with 10-
element.

%The part of plot graph.
plot(theta,D_AF_dB,'k:',theta,D_Esingle_dB,'k--',theta,D_Etotal_dB,'k-')
xlabel('theta in degree')
ylabel('Directivity in dB')
legend('Directivity of Dolph-Tschebyscheff Array with 10 element','Directivity of
Single Dipole','Directivity of Array with 10 Dipole')
%%%%%%%%%%%%%%%

```

โปรแกรมหาสัมประสิทธิ์การกระจายของกลุ่มสายอากาศ ดอลฟ์-เซบีเชฟ 10 อีลิเมนต์  
สัมประสิทธิ์การกระจายของกลุ่มสายอากาศดอลฟ์-เซบีเชฟวิเคราะห์ได้ตามขั้นตอนในหัวข้อที่ 3.2  
ซึ่งเป็นโปรแกรมได้ดังนี้

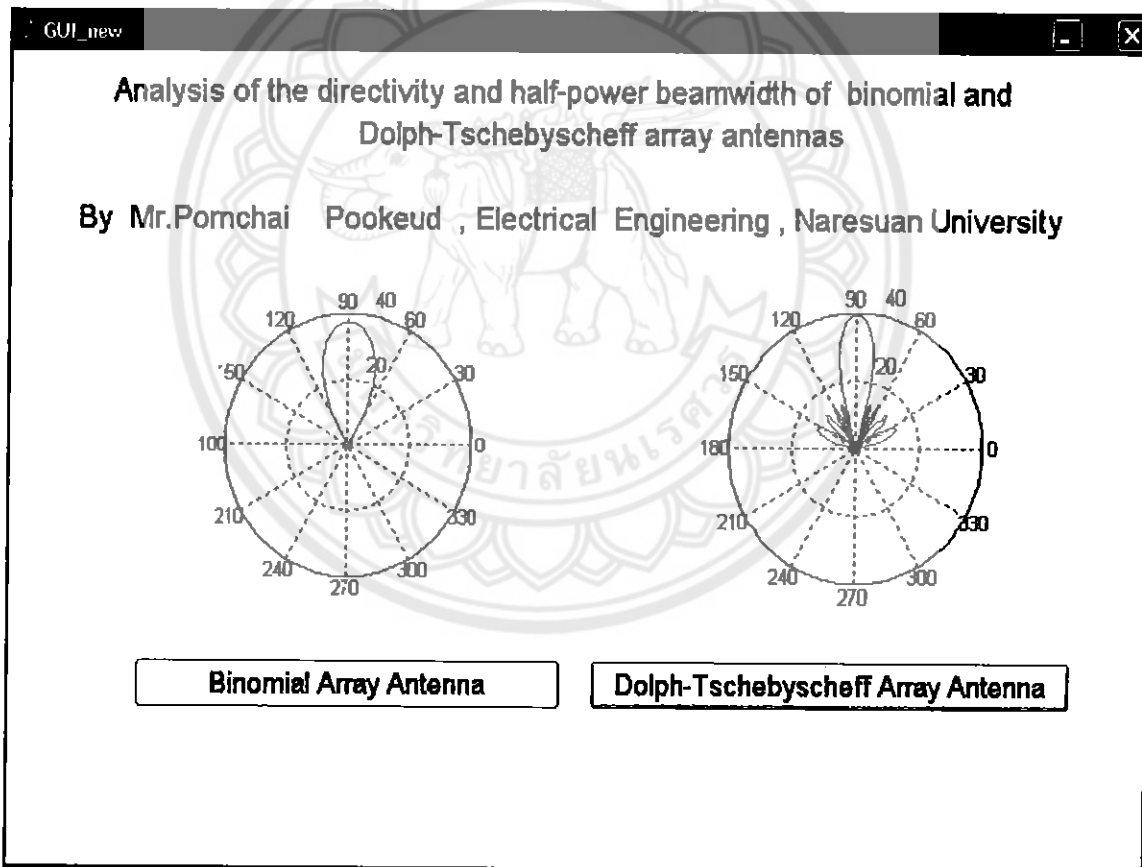
```

function find_an(SLL_dB)%Function find_an vary by side lobe level (SLL_dB).
    SLL_di=(10^((SLL_dB)/20));%Find SLL in dimensionless.
    Z0=cosh((1/9)*acosh(SLL_di));%Find Z0
    a5=Z0^9;
    a4=(-576*(Z0^7))+(576*(a5))/64;
    a3=((432*(Z0)^5)-(432*a5)+(112*a4))/16;
    a2=((120*(Z0)^3)+(120*(a5))-(56*(a4))+(20*(a3)))/4;
    a1=((9*(Z0))-(9*(a5))+(7*(a4))-(5*(a3))+(3*(a2)));
    %Find an in normalized.
    a5_normal=a5/a5;
    a4_normal=a4/a5;
    a3_normal=a3/a5;
    a2_normal=a2/a5;
    a1_normal=a1/a5;
    %Excitation coefficients in normalized.
    an_side=[a1_normal;a2_normal;a3_normal;a4_normal;a5_normal]

```

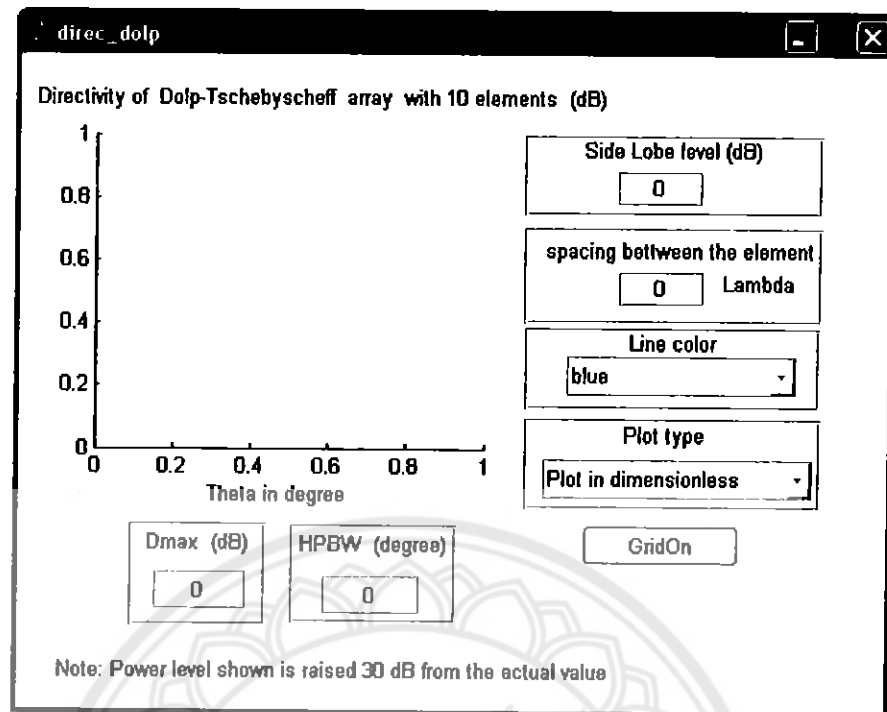
## ภาคผนวก (จ) การเชื่อมต่อกับผู้ใช้ทางกราฟฟิก (Graphic User Interfaces (GUI))

การเชื่อมต่อ กับผู้ใช้ทางกราฟฟิก (GUI) เป็นการเชื่อมต่อ กันระหว่างผู้ใช้และคอมพิวเตอร์ โดย คอมพิวเตอร์ ได้รับ การ ใช้งาน เมื่อ ผู้ใช้ป้อนข้อมูล ผ่านทาง เค็บบอร์ด เม้าส์ อย่าง ใดอย่างหนึ่ง ให้ กับ คอมพิวเตอร์ และ คอมพิวเตอร์ จะแสดง ตัวอักษร และ กราฟฟิก ต่างๆ บน จอภาพ รูปที่ จ.1 แสดง หน้าต่าง หลัก ของ โปรแกรม วิเคราะห์ สภาพ เจาะ จง ทิศทาง และ ความ กว้าง ลำดับ ลีน ครั้ง กำลัง ของ กลุ่ม สาย อากาศ ใน ใน เมีย ล กับ กลุ่ม สาย อากาศ คลอส์ฟ- เชบี เชฟ โดย ใช้ GUI



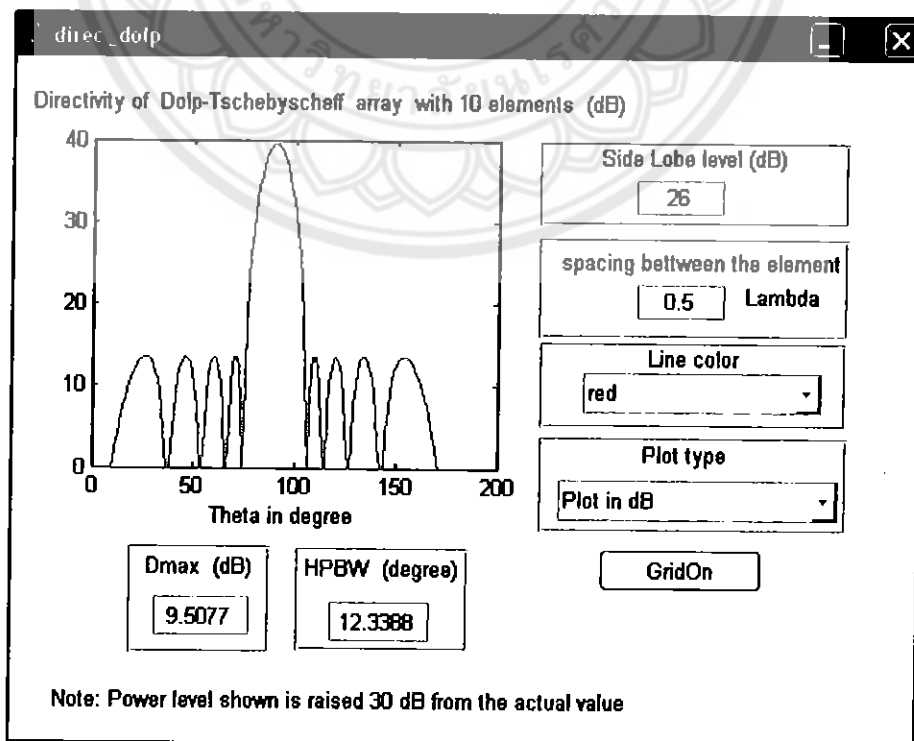
รูปที่ จ.1 หน้าต่างหลัก ของ โปรแกรม วิเคราะห์ แบบ รูป สถาปัตย์ ทาง ทิศทาง ของ กลุ่ม สาย อากาศ ใน ใน เมีย ล และ กลุ่ม สาย อากาศ คลอส์ฟ- เชบี เชฟ โดย ใช้ GUI

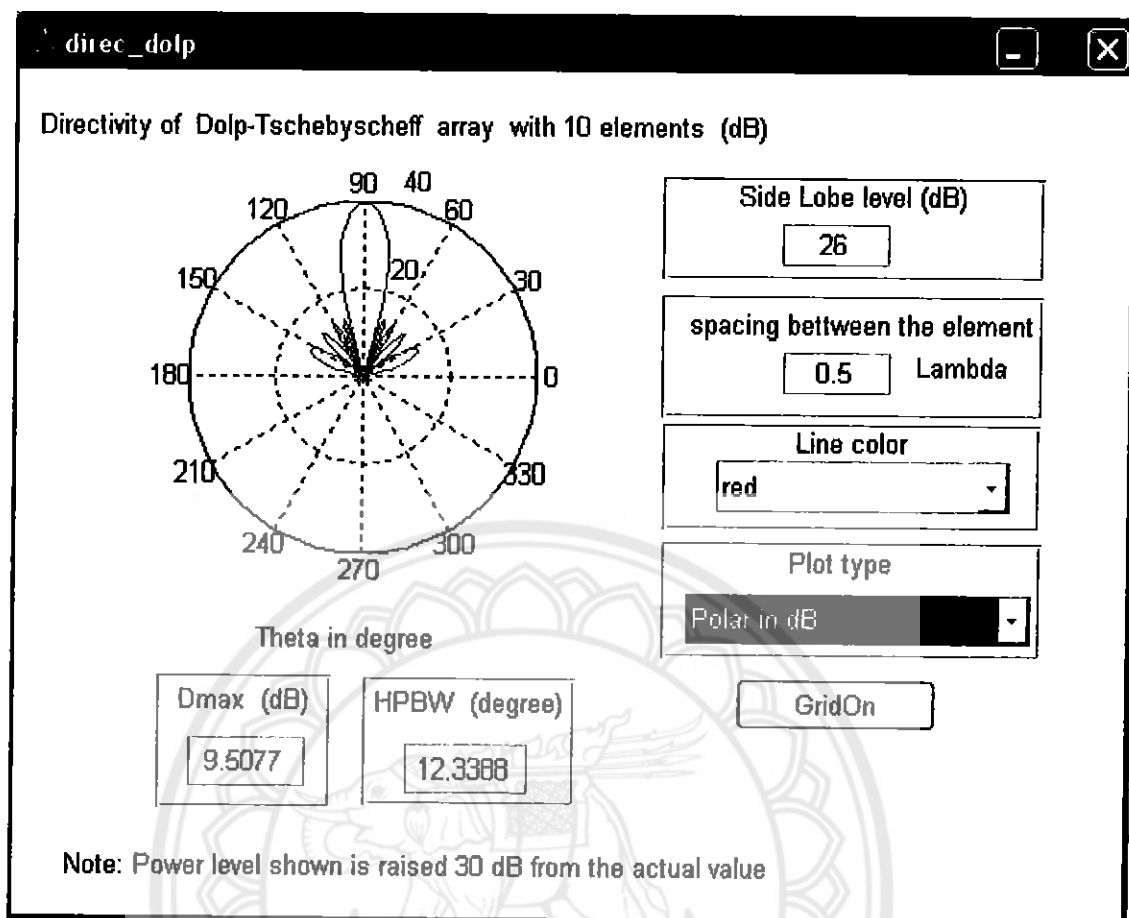
เมื่อนำมาส์คลิกเลือกที่ กกลุ่ม สาย อากาศ คลอส์ฟ- เชบี เชฟ จะ ปรากฏ หน้า จอ ดัง รูป จ.2



รูปที่ จ.2 หน้าต่างโปรแกรมวิเคราะห์แบบรูปสเปกตรัมเจาะจงที่ศักยภาพของกลุ่มสายอากาศดอล์ฟ-เชบีเชฟ โดยใช้ GUI

จากรูป จ.2 เมื่อกำหนดระดับพูนข้าง (SLL) และระยะห่างระหว่างอีลีเมนต์ จะแสดงได้ดังรูป จ.3





#### ข. กราฟในระบบพิกัดเชิงข้อ

รูปที่ จ.3 แบบรูปสภาระเจาะจงทิศทางของกลุ่มสาขอาකัตอล์ฟ-เชบีเชฟ 10 อิลีเมนต์ กำหนดระดับผู้  
ข้างเท่ากับ 26 dB ระยะห่างระหว่างอิลีเมนต์เท่ากับ  $\lambda/2$  ( $0.5\lambda$ ) โดยใช้ GUI

ในการอ่านค่าตัวเลขที่กำกับในเส้นกราฟรูปที่ จ.3(ก) และ รูปที่ จ.3(ข) จะต้องลดค่าหัวเดบลงมา 30 dB จึงจะได้ค่าที่แท้จริง เมื่อจากน้ำดองสภาระเจาะจงทิศทางในรูป dB บางส่วนมีค่าเป็นลบทำให้ไม่สามารถดูกราฟในระบบพิกัดเชิงข้อได้ จึงได้ทำการบวกเพิ่มน้ำดองสภาระเจาะจงทิศทางไปอีก 30 dB เพื่อขยับขนาดที่มีค่าติดลบให้เป็นค่าวาก รูปที่ จ.1 , จ.2 และ จ.3 แสดงให้เห็นว่าการวิเคราะห์กลุ่มสาขอาකัต์โดยการสร้างการเขียนต่อ กับผู้ใช้งานกราฟพิกช์มนันน์ การเปลี่ยนแปลงตัวแปรต่างๆเพียงแค่เปลี่ยนแปลงค่าในหน้าต่าง GUI โดยไม่จำเป็นต้องเข้าไปแก้ไขในตัวโปรแกรมหลัก ทำให้การวิเคราะห์กลุ่มสาขอาකัต์มีความสะดวกและรวดเร็วขึ้น

## ประวัติผู้เขียนโครงการ



ชื่อ นายพรชัย พุกอุด  
ภูมิลำเนา 31 หมู่ 3 ต. บางโกลน อ. นครไทย จ. พิมพ์โลก 65120  
ประวัติการศึกษา

- จบระดับมัธยมศึกษาจากโรงเรียนบางโกลนวิทยา จังหวัดพิมพ์โลก
- ปัจจุบันกำลังศึกษาในระดับปริญญาตรี

สาขาวิชาศึกกรรมไฟฟ้า คณะศึกกรรมศาสตร์ มหาวิทยาลัยนเรศวร

E-mail : [p\\_pookeud@hotmail.com](mailto:p_pookeud@hotmail.com)

